

DSP: Chapter 4

Sampling of Continuous-Time Signals

فصل 4 : نمونه برداری از سیگنال های زمان پیوسته
۴-۱

زمان پیوسته $x_c(t)$
 زمان گسسته $x[n] = x_c(nT)$; $-\infty < n < \infty$
 (نمونه برداری)

فاصله نمونه برداری
 T

فراخس نمونه برداری
 $f_s = \frac{1}{T}$

$\Omega_s = \frac{2\pi}{T}$ $\frac{\text{radians}}{\text{sec}}$



Figure 1 Block diagram representation of an ideal continuous-to-discrete-time (C/D) converter.

بیان ریاضی: حوزه زمان:

قطار نمونه برداری T
 $s(t) = \sum_{n=-\infty}^{+\infty} \delta(t - nT)$

$$x_s(t) = x_c(t) s(t) = x_c(t) \sum_{n=-\infty}^{+\infty} \delta(t - nT) = \sum_{n=-\infty}^{+\infty} x_c(nT) \delta(t - nT)$$

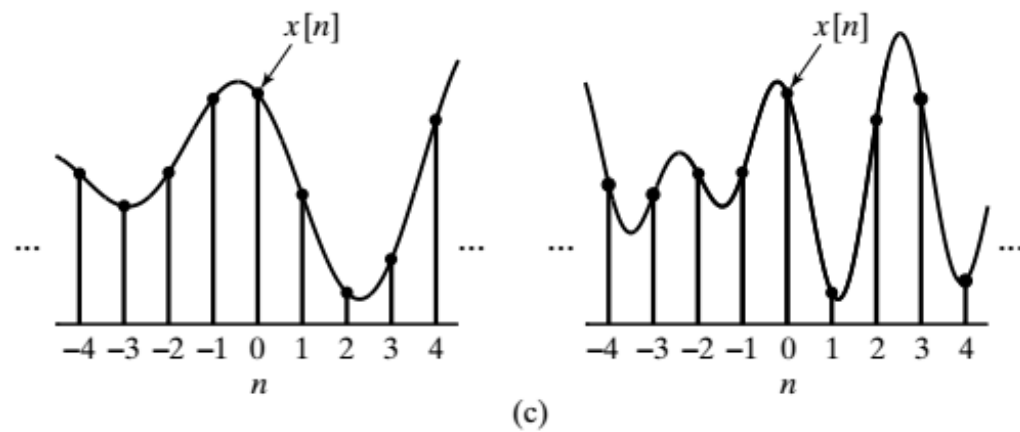
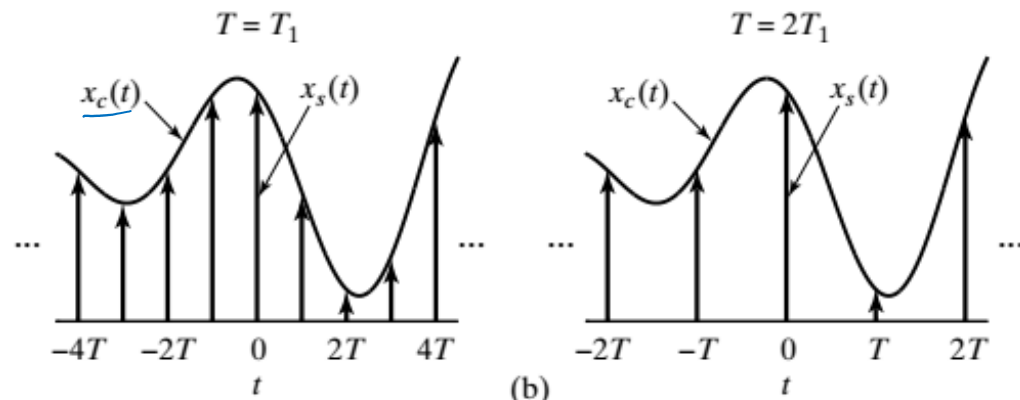
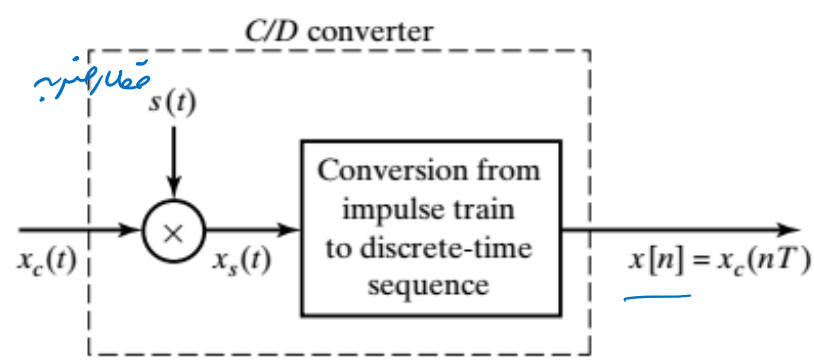


Figure 2 Sampling with a periodic impulse train, followed by conversion to a discrete-time sequence. (a) Overall system. (b) $x_s(t)$ for two sampling rates. (c) The output sequence for the two different sampling rates.

$$s(t) \xrightarrow{F} S(j\Omega)$$

زبان پیوسته: Ω

نمایش حوزه فرکانس نمونه برداری:

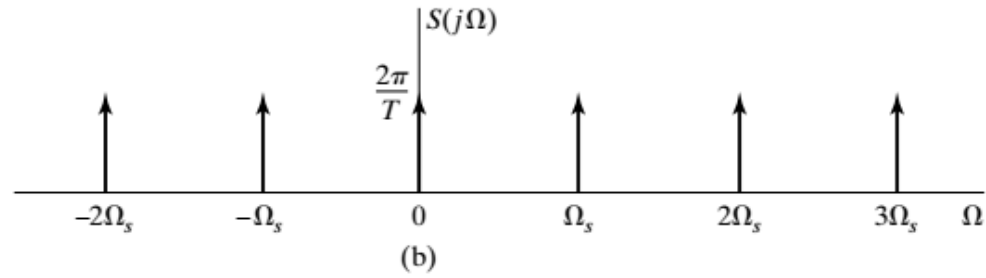
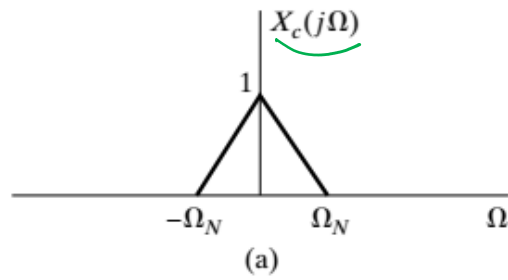
$$S(j\Omega) = \frac{2\pi}{T} \sum_{k=-\infty}^{+\infty} \delta(\Omega - k\Omega_s) \quad \Omega_s = \frac{2\pi}{T}$$

تبدیل فوری تبدیل $x_c(t)$

$$X_s(j\Omega) = \frac{1}{2\pi} X_c(j\Omega) * S(j\Omega)$$

$$\rightarrow X_s(j\Omega) = \frac{1}{T} \sum_{k=-\infty}^{+\infty} X_c(j(\Omega - k\Omega_s))$$

$$\left\{ \begin{array}{l} X_c(j\Omega) \\ X_c(j(\Omega + \Omega_s)) \\ X_c(j(\Omega + 2\Omega_s)) \\ \vdots \end{array} \right.$$



شرک نمونه برداری

$$\Omega_s - \Omega_N \geq \Omega_N \rightarrow \boxed{\Omega_s \geq 2\Omega_N}$$

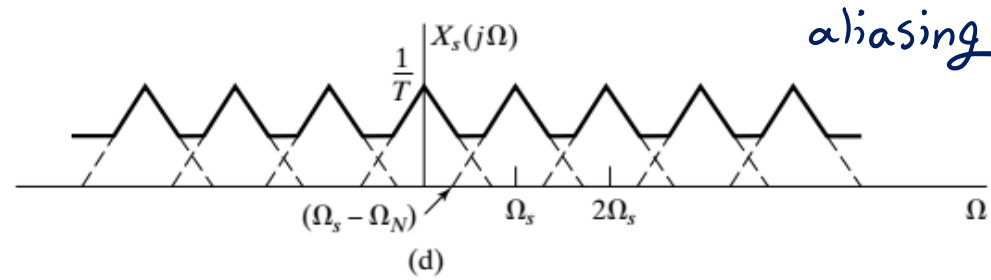
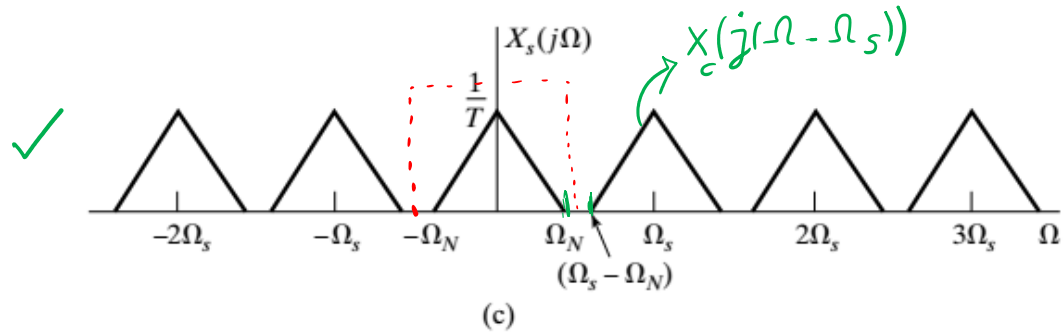


Figure 3 Frequency-domain representation of sampling in the time domain. (a) Spectrum of the original signal. (b) Fourier transform of the sampling function. (c) Fourier transform of the sampled signal with $\Omega_s > 2\Omega_N$. (d) Fourier transform of the sampled signal with $\Omega_s < 2\Omega_N$.

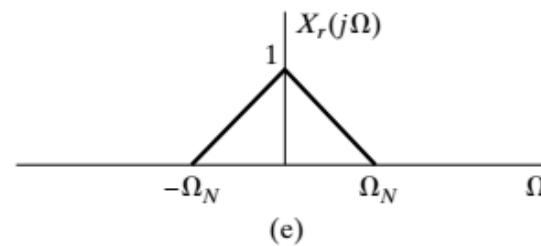
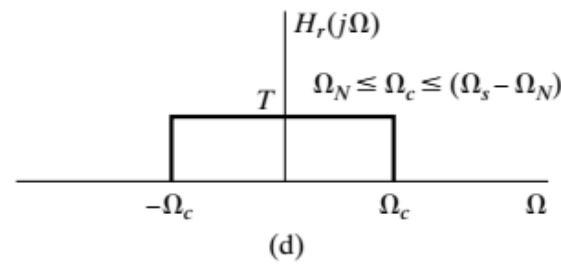
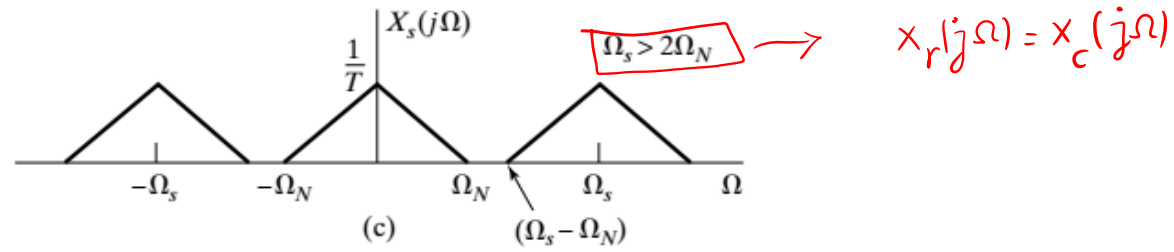
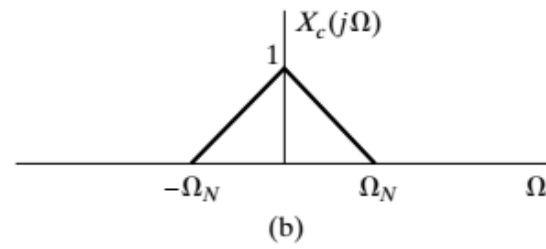
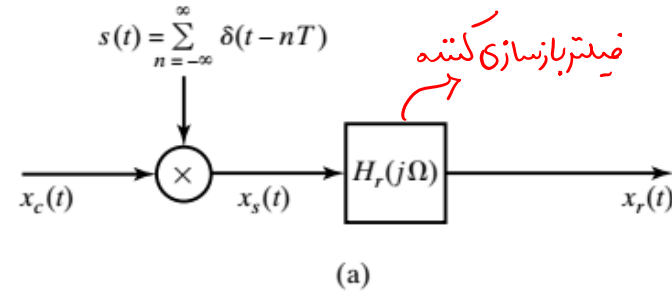
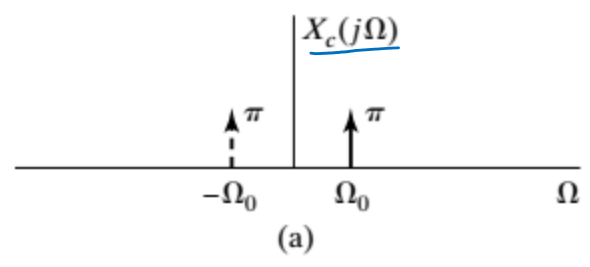
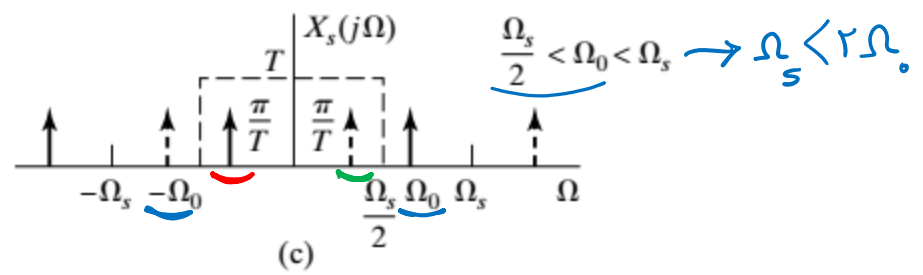
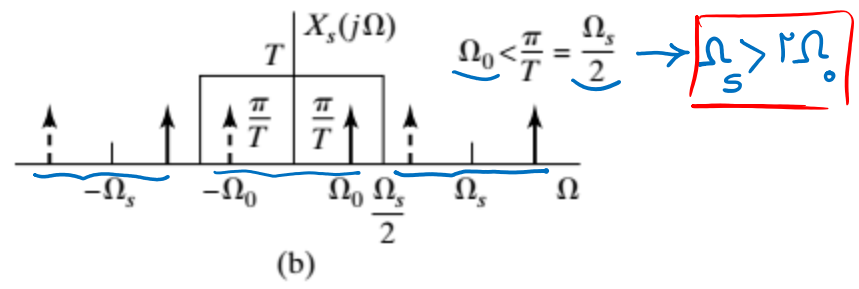


Figure 4 Exact recovery of a continuous-time signal from its samples using an ideal lowpass filter.

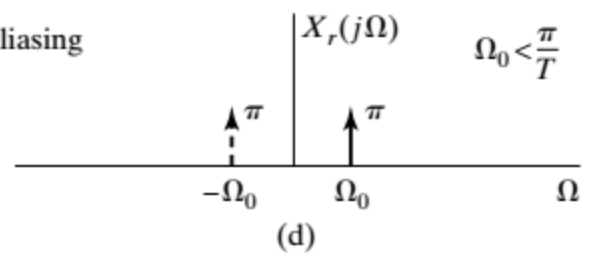
انتر سیم رعایت شرط نایلوئیست:



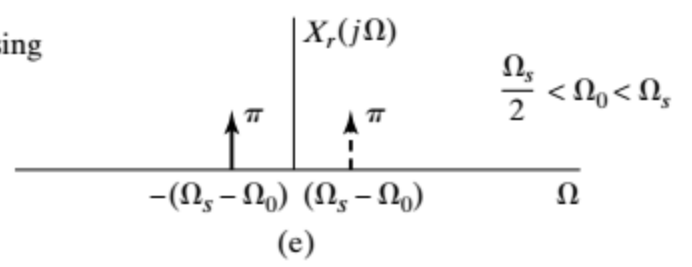
$x_c(t) = \cos(\Omega_0 t)$
 $X_c(j\Omega) = \pi\delta(\Omega - \Omega_0) + \pi\delta(\Omega + \Omega_0)$



بدون ایالیسینگ → No aliasing



الیالیسینگ → Aliasing



$X_r(j\Omega) = \pi\delta(\Omega - (\Omega_s - \Omega_0)) + \pi\delta(\Omega + (\Omega_s - \Omega_0))$
 $\rightarrow x_r(t) = \cos((\Omega_s - \Omega_0)t)$
 فرکانس دیگری بازسازی شده است.

Figure 5 The effect of aliasing in the sampling of a cosine signal.

Nyquist - Shannon

* قفسه نمونه برداری

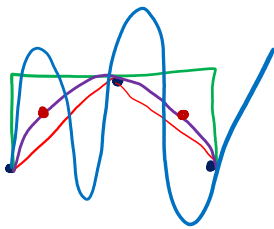
فرض کنید $x_c(t)$ سیگنال باند محدود با $x_c(j\Omega) = 0$; for $|\Omega| > \Omega_N$
 ← پهنای باند سیگنال

در این صورت $x_c(t)$ به صورت دیسکرت با نمونه های آن قابل بیان است اگر
 $x[n] = x_c(nT)$
 $n = 0, \pm 1, \pm 2, \dots$

$\Omega_s = \frac{2\pi}{T} \geq 2\Omega_N$
 ← فرکانس نمونه برداری
 ← فرکانس ناگیوشت
 Ω_N

$2\Omega_N$: نرخ ناگیوشت

اگر این شرط برقرار نباشد پدیده الیاژینگ رخ می دهد.
 aliasing



$$x[n] \xleftrightarrow{F} X(e^{j\omega})$$

ω : فرکانس زمان گسسته

بین تبدیل فوریه زمان گسسته DTFT دنباله $x[n]$:

$$x_s(t) = \sum_{n=-\infty}^{+\infty} x_c(nT) \delta(t-nT) \xrightarrow{F_t}$$

$$\rightarrow X_s(j\Omega) = \sum_{n=-\infty}^{+\infty} \underbrace{x_c(nT)}_{x[n]} e^{-j\Omega nT}$$

$$\text{DTFT} \begin{cases} x[n] = x_c(nT) \\ X(e^{j\omega}) = \sum_{n=-\infty}^{+\infty} x[n] e^{-j\omega n} \end{cases} \rightarrow X_s(j\Omega) = X(e^{j\omega}) \Big|_{\omega = \Omega T} = X(e^{j\Omega T})$$

$$** \quad X_s(j\Omega) = \frac{1}{T} \sum_{k=-\infty}^{+\infty} X_c(j(\Omega - k\Omega_s))$$

$$**, * \Rightarrow X(e^{j\Omega T}) = \frac{1}{T} \sum_{k=-\infty}^{+\infty} X_c(j(\Omega - k\Omega_s))$$

نوعه تکامله $\frac{c}{D}$ (تبدیل سیگنال به سیگنال) در حوزه فرکانس:

① پروردگی سازی طیف پیوسته با Ω_s و جمع

② ضرب در دامنه $\frac{1}{T}$

③ scale فرکانس با $\omega = \Omega T$ پیوسته

$$X(e^{j\omega}) = \frac{1}{T} \sum_{k=-\infty}^{+\infty} X_c \left[j \left(\frac{\omega}{T} - \frac{2\pi k}{T} \right) \right]$$

$$\Omega_s = \frac{2\pi}{T}$$

$$\begin{cases} \Omega T = \omega \\ \Omega = \frac{\omega}{T} \end{cases}$$

در صورت هم پوشانی

مثال: نمونه برداری و بازسازی سیگنال سینوسی: $x_c(j\Omega) = \pi[\delta(\Omega - \Omega_0) + \delta(\Omega + \Omega_0)]$

$x_c(t) = \cos(2000\pi t)$

$T = \frac{1}{6000}$

$\Omega_s = \frac{2\pi}{T} = 12000\pi$

شکل ضربی $\geq 2\Omega_0$ را در نظر بگیرید

$\Omega_s \gg 2\Omega_0 \gg 10000\pi$

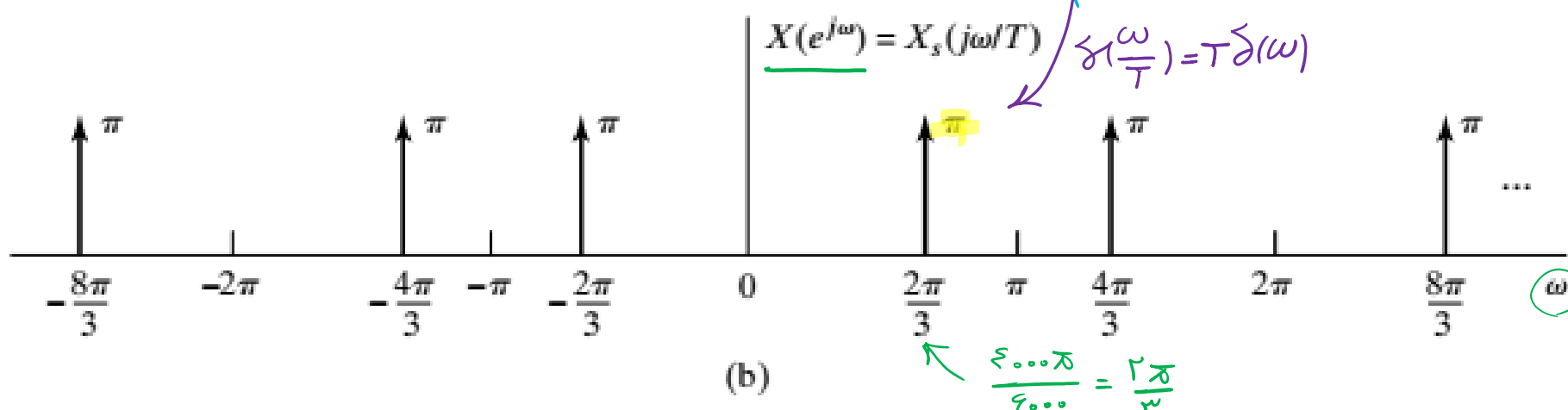
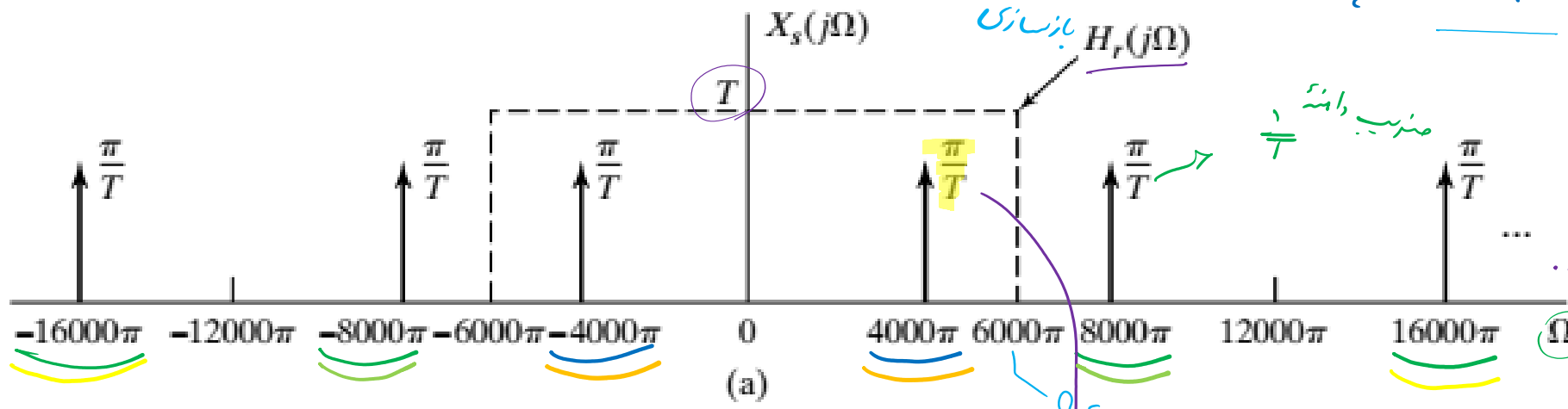


Figure 6 (a) Continuous-time and (b) discrete-time Fourier transforms for sampled cosine signal with frequency $\Omega_0 = 4000\pi$ and sampling period $T = 1/6000$.

مثال ۲:
الینید در نمونه برداری از
سیگنال سینوسی:

$x_c(t) = \cos(12000\pi t)$

$T = \frac{1}{6000}$ xx

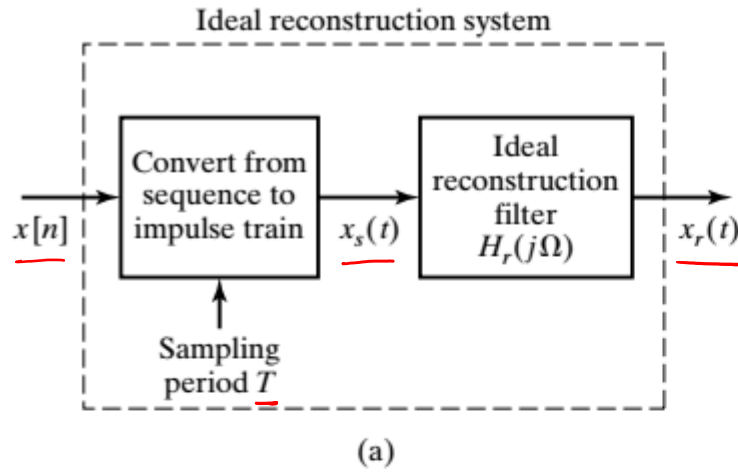
$\Omega_s = 12000\pi$

به دلیل رعایت شرط نایبیر
سیگنال بازسازی شده متفاوت
از سیگنال اصلی

$\Omega_s \geq 2\Omega_0 = 24000\pi$

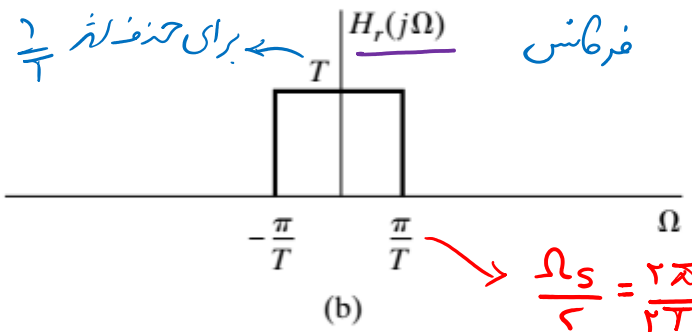
$T \neq \frac{2\pi}{\Omega_s} = \frac{2\pi}{24000\pi} = \frac{1}{12000}$

- بازسازی سیگنال باند محدود از روی نمونه ها :



زمان $x_r(t) = x_s(t) * h_r(t)$

فرکانس $x_r(j\Omega) = X_s(j\Omega) H_r(j\Omega)$
 $x_r(j\Omega) = H_r(j\Omega) X(e^{j\Omega T})$



- 1) آها: scale فرکانسی با رابطه $\Omega = \frac{\omega}{T}$
- 2) ضرب دامنه T
- 3) اعمال فیلتر پایین گذر با فرکانس قطع $\Omega_c = \frac{\pi}{T}$

$\frac{\Omega_s}{2} = \frac{2\pi}{2T} = \frac{\pi}{T}$

$h_r(t) = \frac{\sin(\frac{\pi t}{T})}{\frac{\pi t}{T}}$

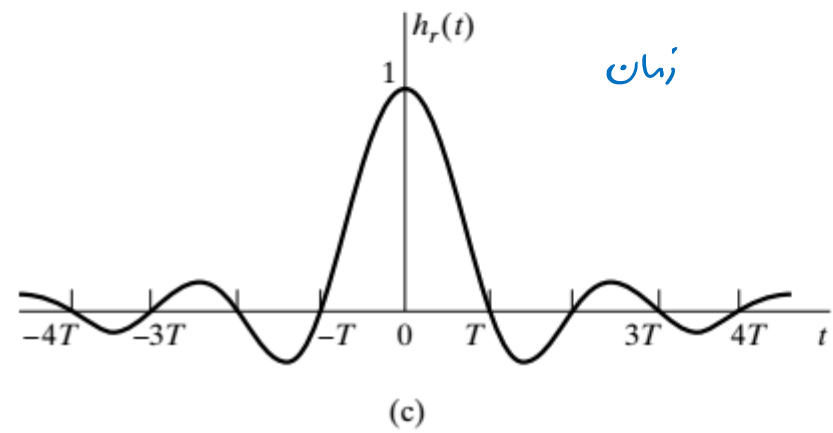
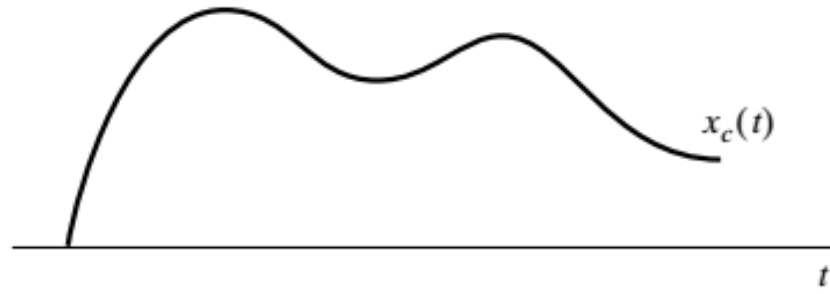
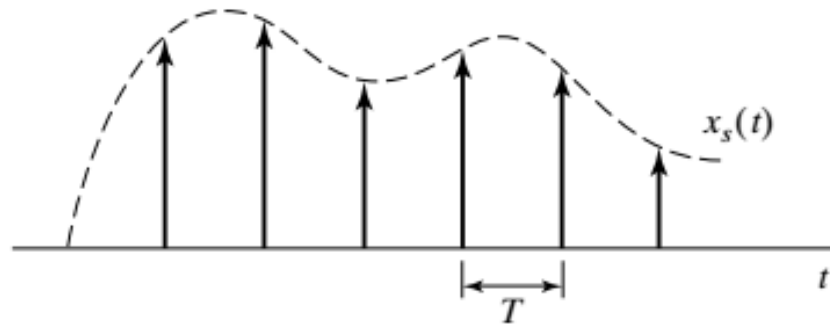


Figure 7 (a) Block diagram of an ideal bandlimited signal reconstruction system. (b) Frequency response of an ideal reconstruction filter. (c) Impulse response of an ideal reconstruction filter.

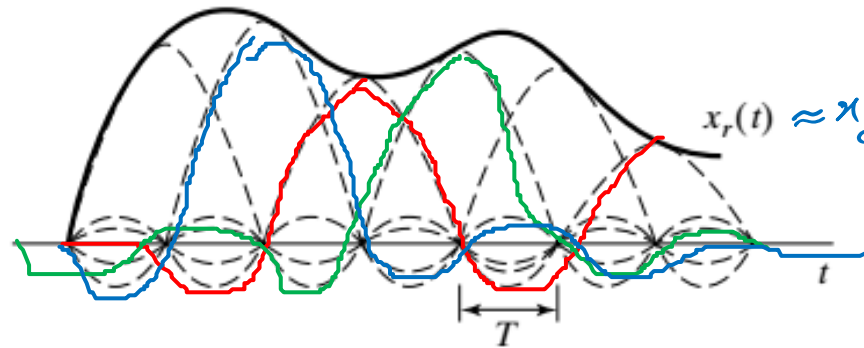


(a)

Interpolation
درونیابی



(b)



(c)

(25) انگیزه

$$\Rightarrow x_r(t) = \sum_{n=-\infty}^{+\infty} x[n] \frac{\sin[\pi(t-nT)/T]}{\pi(t-nT)/T}$$

Figure 8 Ideal bandlimited interpolation.

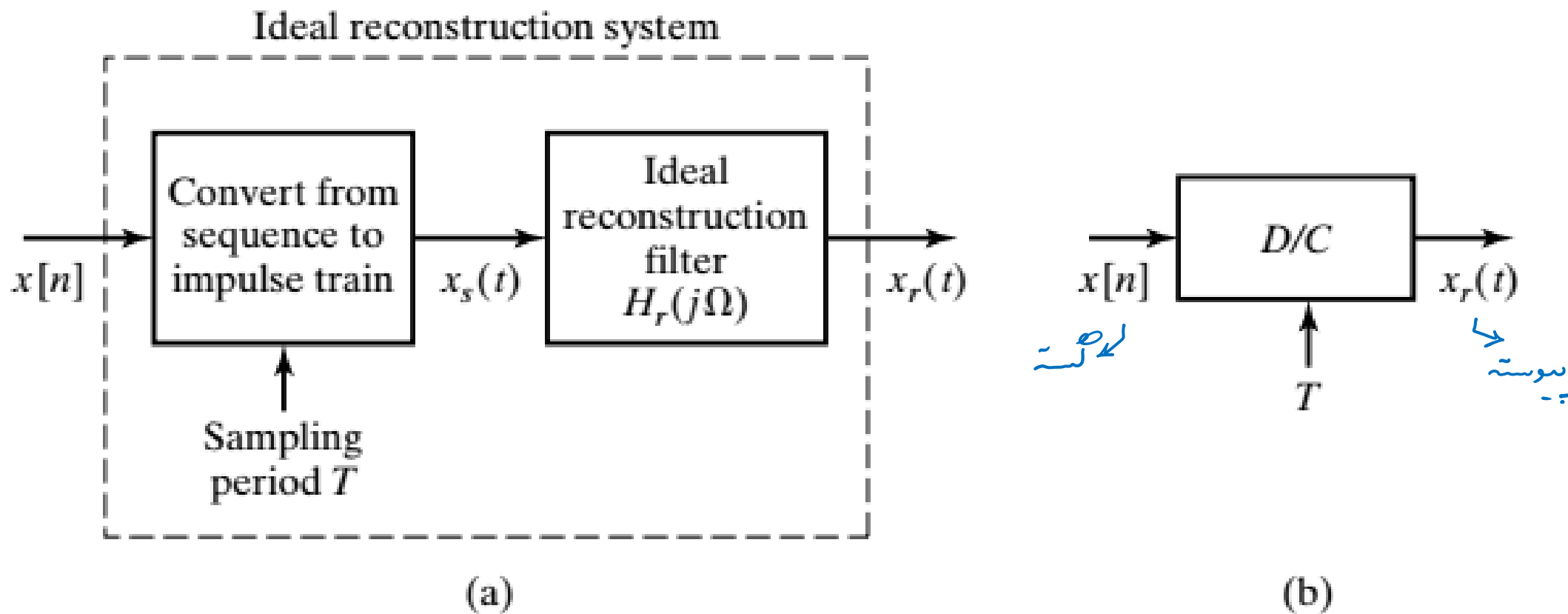


Figure 9 (a) Ideal bandlimited signal reconstruction. (b) Equivalent representation as an ideal D/C converter.

$$x_s(t) = \sum_{n=-\infty}^{+\infty} x[n] \delta(t - nT) * h_r(t)$$

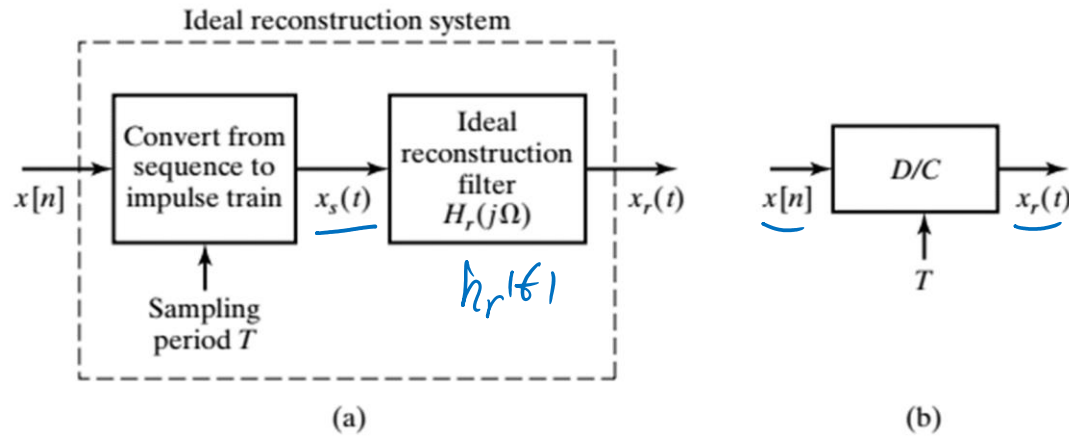


Figure 9 (a) Ideal bandlimited signal reconstruction. (b) Equivalent representation as an ideal D/C converter.

(23)

$$x_r(t) = \sum_{n=-\infty}^{+\infty} x[n] h_r(t - nT)$$



$$X_r(j\Omega) = \sum_{n=-\infty}^{+\infty} x[n] H_r(j\Omega) e^{-j\Omega T n}$$

The summation term $\sum_{n=-\infty}^{+\infty} x[n] e^{-j\Omega T n}$ is circled in yellow and labeled $X(e^{j\Omega T})$.

$$\Rightarrow X_r(j\Omega) = H_r(j\Omega) X(e^{j\Omega T})$$

رابطه تبدیل فرکانس D/C ایده‌آل

$x[n] = x_c(nT)$ زمان
 $x(e^{j\omega}) = \frac{1}{T} \sum_{k=-\infty}^{+\infty} X_c \left[j \left(\frac{\omega}{T} - \frac{2\pi k}{T} \right) \right]$ فرکانس
 C/D

۴ - پردازش زمان سیگنالهای زمان پیوسته:
 $y_r(t) = \sum_{n=-\infty}^{+\infty} y[n] \frac{\delta(\pi(\tau - nT)/T)}{\pi(\tau - nT)/T}$ زمان
 $Y_r(j\Omega) = H_r(j\Omega) Y_1 e^{j\Omega T}$ فرکانس
 D/C

$\left\{ \begin{array}{l} T Y_1(e^{j\Omega T}); |\Omega| < \frac{\pi}{T} \\ \cdot \\ \cdot \\ \cdot \\ 0; \text{o.w.} \end{array} \right.$

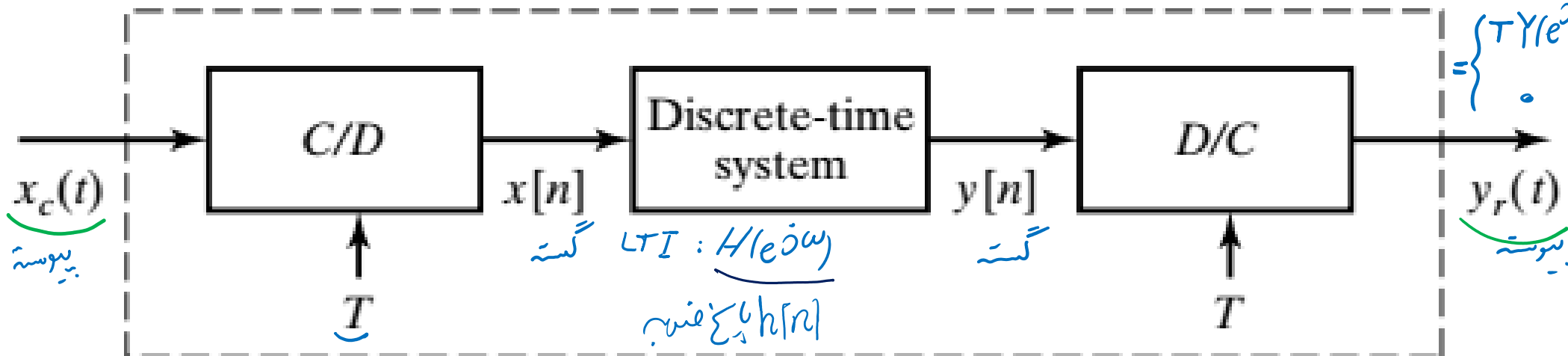


Figure 10 Discrete-time processing of continuous-time signals.

مثالها: $y[n] = x[n]$ سیگنالی

\rightarrow LTI \rightarrow کانولوشن $y[n] = x[n] * h[n]$

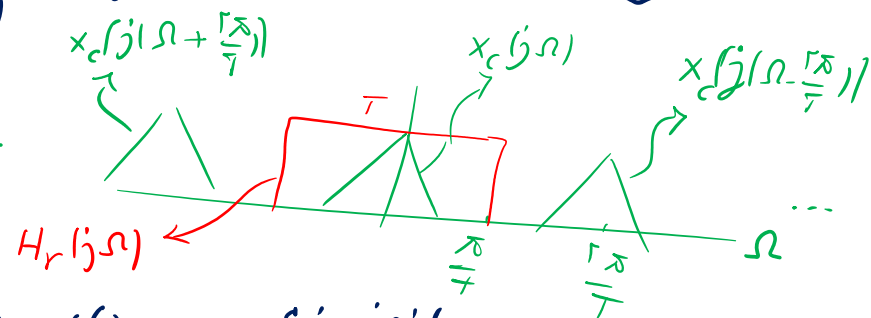
\rightarrow فرکانس $Y(e^{j\omega}) = H(e^{j\omega}) X(e^{j\omega})$

$$D/c \rightarrow Y_r(j\Omega) = H_r(j\Omega) Y(e^{j\Omega T}) \xrightarrow{Y(e^{j\omega}) = H(e^{j\omega}) X(e^{j\omega})} Y_r(j\Omega) = H_r(j\Omega) H(e^{j\Omega T}) X(e^{j\Omega T})$$

$$\omega = \Omega T$$

$$\rightarrow Y_r(j\Omega) = H_r(j\Omega) H(e^{j\Omega T}) \frac{1}{T} \sum_{k=-\infty}^{+\infty} X_c \left[j \left(\Omega - \frac{2\pi k}{T} \right) \right]$$

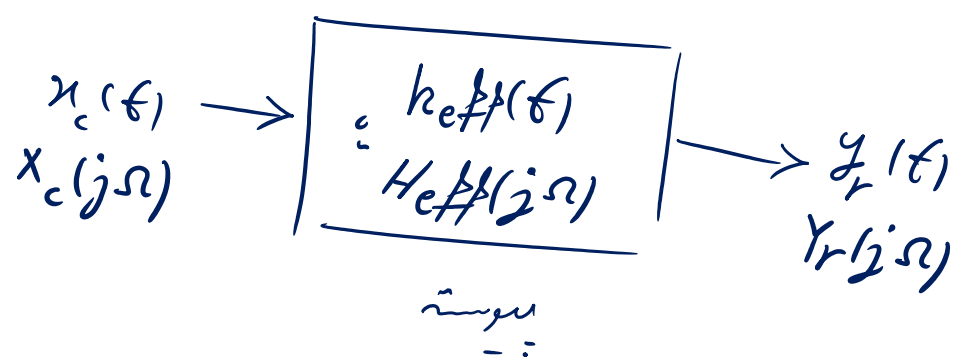
$$= \begin{cases} T & ; |\Omega| < \frac{\pi}{T} \\ 0 & ; \text{o.w.} \end{cases}$$



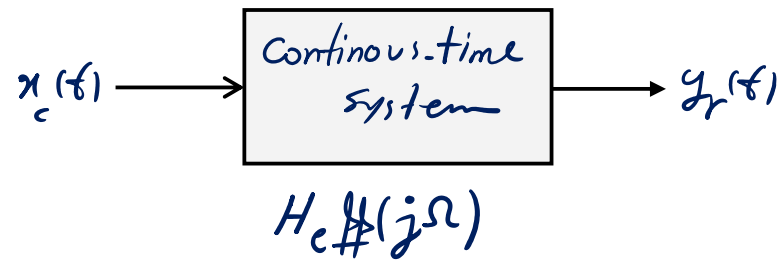
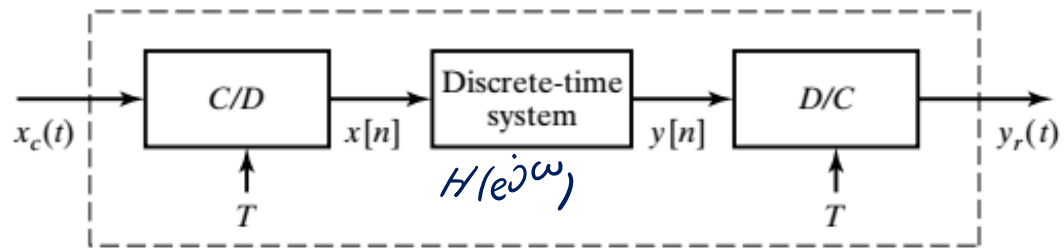
بفرض باند محدود بودن $x_c(t)$ (۱) $X_c(j\Omega) = 0 ; |\Omega| \geq \frac{\pi}{T}$

$$\rightarrow Y_r(j\Omega) = \begin{cases} H(e^{j\Omega T}) X_c(j\Omega) & ; |\Omega| < \frac{\pi}{T} \\ 0 & ; |\Omega| \geq \frac{\pi}{T} \end{cases}$$

$$\Rightarrow Y_r(j\Omega) = H_{eff}(j\Omega) X_c(j\Omega)$$



$$\Rightarrow H_{eff}(j\Omega) = \begin{cases} H(e^{j\Omega T}) & ; |\Omega| < \frac{\pi}{T} \\ 0 & ; |\Omega| \geq \frac{\pi}{T} \end{cases}$$



مثال ۱

Figure 10 Discrete-time processing of continuous-time signals.

فیلتر پائین انداز

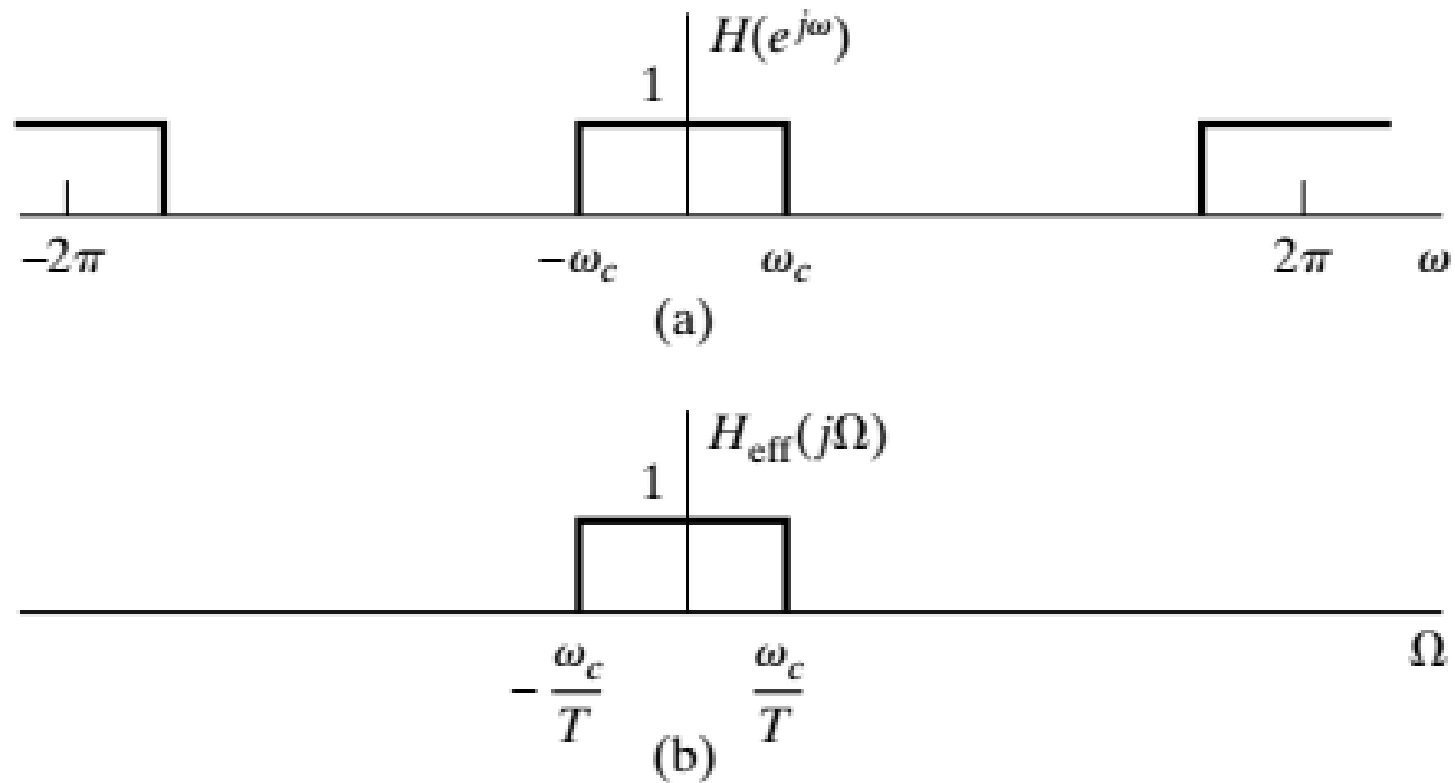
$$H(e^{j\omega}) = \begin{cases} 1 & ; \quad |\omega| < \omega_c \\ 0 & ; \quad \omega_c < |\omega| < \pi \end{cases}$$

$$\omega = \Omega T$$

$$H_{eff}(j\Omega) = \begin{cases} H(e^{j\Omega T}) & ; \quad |\Omega| < \frac{\pi}{T} \\ \dots & ; \quad |\Omega| > \frac{\pi}{T} \end{cases}$$

$$\rightarrow H_{eff}(j\Omega) = \begin{cases} 1 & ; \quad |\Omega T| < \omega_c \text{ و } |\Omega| < \frac{\omega_c}{T} \\ 0 & ; \quad |\Omega T| \geq \omega_c \text{ و } |\Omega| \geq \frac{\omega_c}{T} \end{cases}$$

فیلتر پائین انداز با فرکانس قطع $\frac{\omega_c}{T}$



سه گانه

سه گانه

Figure 11 (a) Frequency response of discrete-time system in Figure 10. (b) Corresponding effective continuous-time frequency response for bandlimited inputs.

شرط نینویست $(2\pi - \Omega_N T) \geq \Omega_N T$

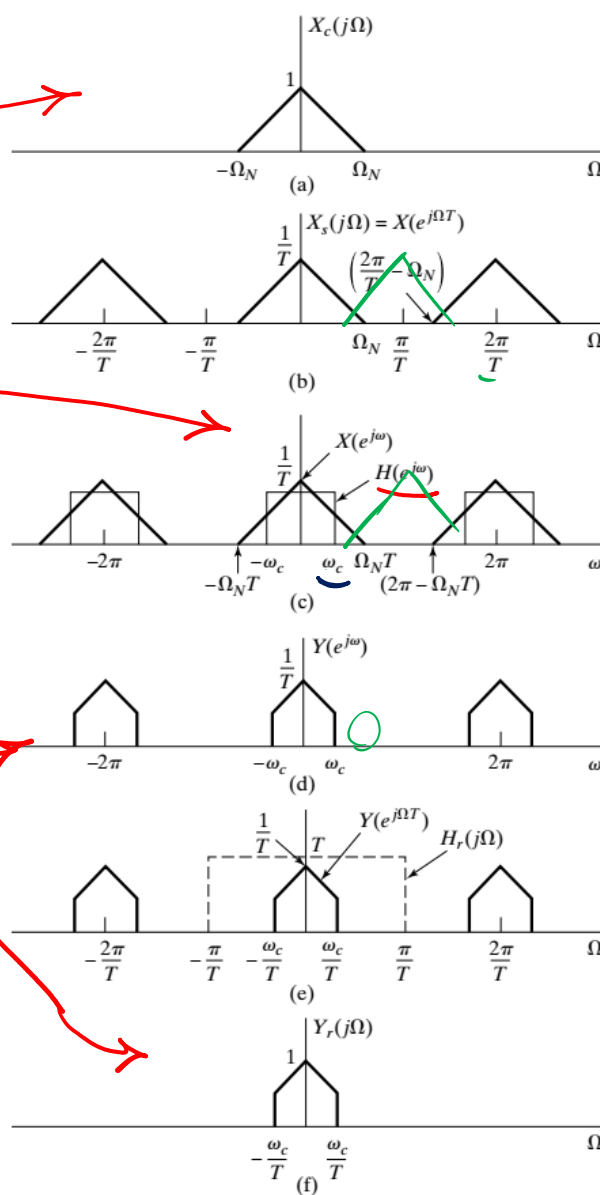
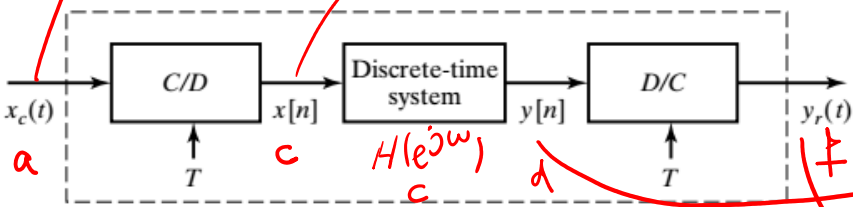
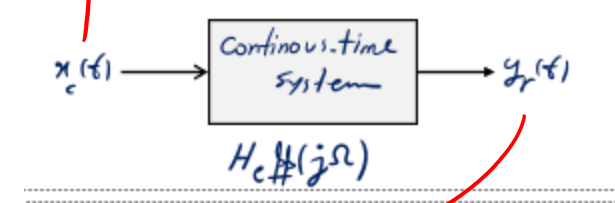
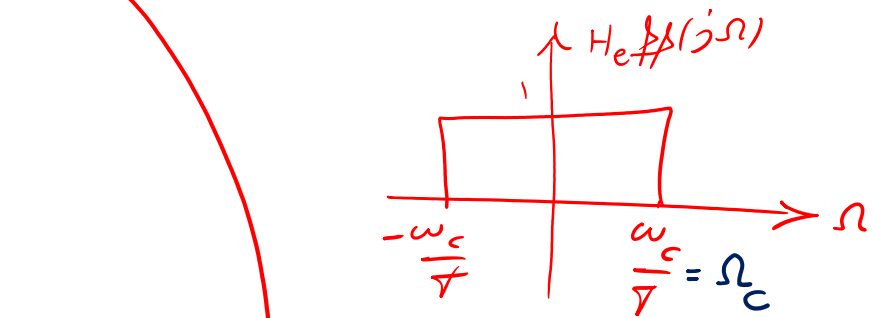


Figure 12 (a) Fourier transform of a bandlimited input signal. (b) Fourier transform of sampled input plotted as a function of continuous-time frequency Ω . (c) Fourier transform $X(e^{j\omega})$ of sequence of samples and frequency response $H(e^{j\omega})$ of discrete-time system plotted versus ω . (d) Fourier transform of output of discrete-time system. (e) Fourier transform of output of discrete-time system and frequency response of ideal reconstruction filter plotted versus Ω . (f) Fourier transform of output.



نکات: $\omega_c = \Omega_c T$ یا $\Omega_c = \frac{\omega_c}{T}$
 فرکانس قطع زمان گسسته ← فرکانس قطع زمان پیوسته

Figure 10 Discrete-time processing of continuous-time signals.

(۲) نکته جبرایی $y_r(t) = x_c(t)$ خواهد شد و
 $\Omega_N T < \omega_c$
 (۳) اثر مقادیر aliasing در شکل های b و c وجود داشته باشد به دلیل اینکه $H(e^{j\omega})$ تاثیر در خروجی نخواهد داشت به عبارت دیگر: شرط عدم وجود aliasing را در این مثال: $(2\pi - \Omega_N T) \geq \omega_c$ ✓

مشق تیر ایدیه آل:

$$y_c(t) = \frac{d}{dt} [x_c(t)]$$

F

$$H_c(j\Omega) = j\Omega$$

آر سی ال بلند کند و باشد:

$$* H_{eff}(j\Omega) = \begin{cases} j\Omega & ; |\Omega| < \frac{\pi}{T} \\ 0 & ; |\Omega| \geq \frac{\pi}{T} \end{cases}$$

آر سی ال اصم این سیستم ایدیه سیستم پردازش زمان است

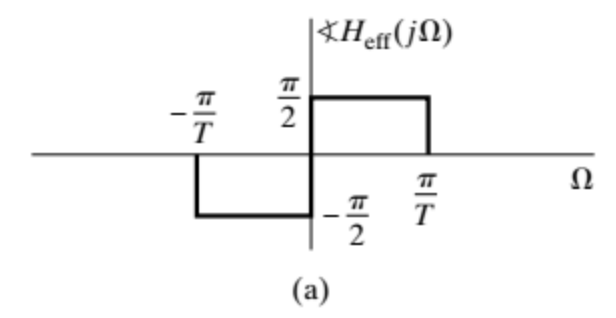
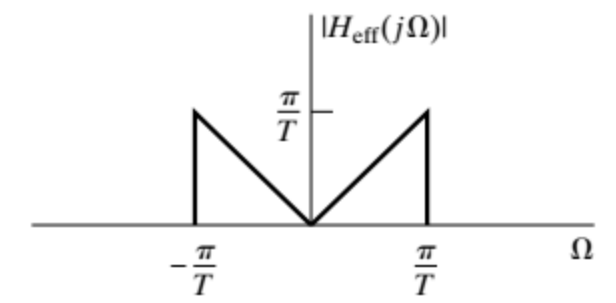
پیاره سازگ کنیم. $H(e^{j\omega})$ اصل را به دست آوریم.

$$H(e^{j\Omega T}) = j\Omega \xrightarrow{\Omega = \frac{\omega}{T}}$$

$$| H(e^{j\omega}) = j\frac{\omega}{T} ; |\omega| < \pi |$$

ایده خود زمان در کتاب Eq. (47)

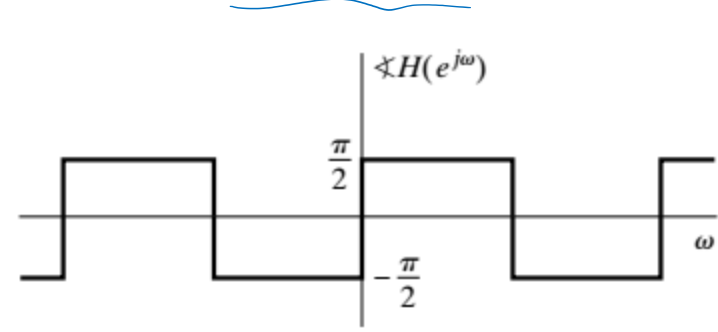
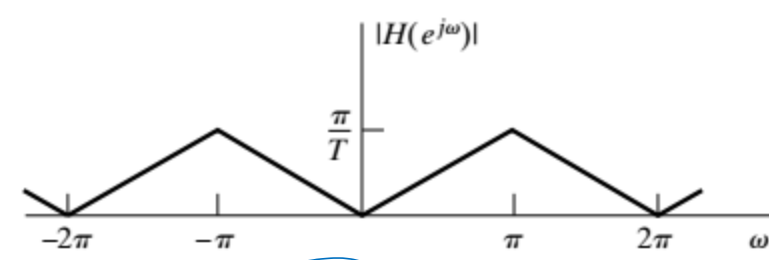
$H_{eff}(j\Omega)$



(a)

$H(e^{j\omega})$

$$\omega = \Omega T$$



(b)

$$* H_{eff}(j\Omega) = \begin{cases} H(e^{j\Omega T}) ; & |\Omega| < \frac{\pi}{T} \\ 0 & ; |\Omega| \geq \frac{\pi}{T} \end{cases}$$

Figure 13 (a) Frequency response of a continuous-time ideal bandlimited differentiator $H_c(j\Omega) = j\Omega$, $|\Omega| < \pi/T$. (b) Frequency response of a discrete-time filter to implement a continuous-time bandlimited differentiator.

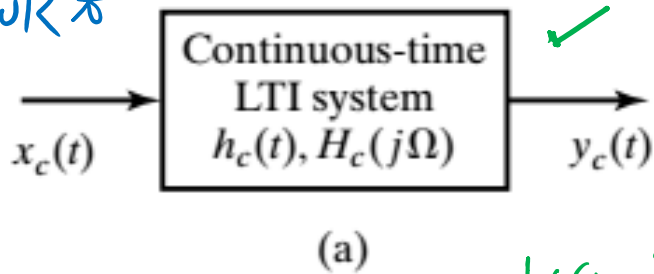
Impulse Invariance
بدون تغییر پاسخ فشریه

شکل پاسخ فشریه در حالت زمان پیوسته و زمان گسسته یکسان است.

$$h[n] = T h_c(nT)$$

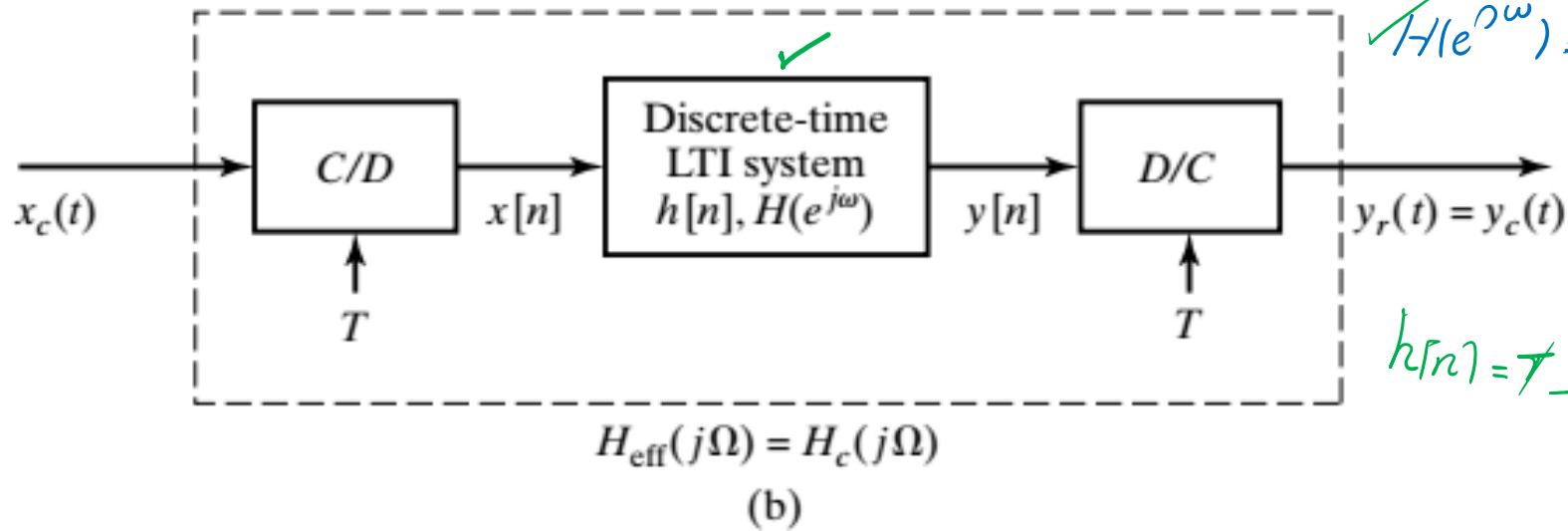
پاسخ فشریه سیستم زمان گسسته نمونه برداری شده با مقیاس (منه) T از $h_c(t)$ است.

فرکانس: $H(e^{j\omega}) = H_c(j\frac{\omega}{T})$; $|\omega| < \pi$
 پروبلیم با پرسه ۲



مثال: فیلتر پاس ندر اول
 $H_c(j\Omega) = \begin{cases} 1 & ; |\Omega| < \Omega_c \\ 0 & ; |\Omega| > \Omega_c \end{cases}$

$$h_c(t) = \frac{\sin(\Omega_c t)}{\pi t}$$



$$H(e^{j\omega}) = \begin{cases} 1 & ; |\omega| < \omega_c \\ 0 & ; \omega_c \leq |\omega| < \pi \end{cases}$$

$$\omega_c = \Omega_c T$$

$$h[n] = T \frac{\sin(\frac{\omega_c}{T} nT)}{\pi nT} = \frac{\sin(\omega_c n)}{\pi n}$$

Figure 14 (a) Continuous-time LTI system. (b) Equivalent system for bandlimited inputs.

سیستم زمان پیوسته با تابع سیستم گویا :

پیوسته

$$h_c(t) = A e^{s_0 t} u(t)$$

$$\mathcal{L} \rightarrow H_c(s) = \frac{A}{s - s_0} ; \text{Re}\{s\} > \text{Re}\{s_0\}$$

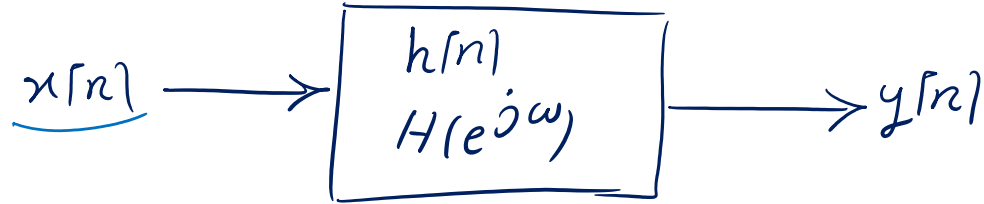
هدف : مدل زمان گسسته بالا را بدست آوریم :

$$h[n] = T h_c(nT) = AT e^{s_0 nT} u[n]$$

$$\mathcal{Z} \rightarrow H(z) = \frac{AT}{1 - e^{s_0 T} z^{-1}} ; |z| > |e^{s_0 T}|$$

شرطاً جمع
بسیل قطبیه
 $\text{Re}\{s_0\} < 0$
 $z = e^{j\omega}$

$$\rightarrow H(e^{j\omega}) = \frac{AT}{1 - e^{s_0 T} e^{-j\omega}}$$



$$\begin{cases} H(e^{j\omega}) = H_c(j\frac{\omega}{T}) ; |\omega| < \pi \\ H_c(j\Omega) = H(e^{j\Omega T}) ; |\Omega| < \frac{\pi}{T} \end{cases}$$

$h[n], H(e^{j\omega})$

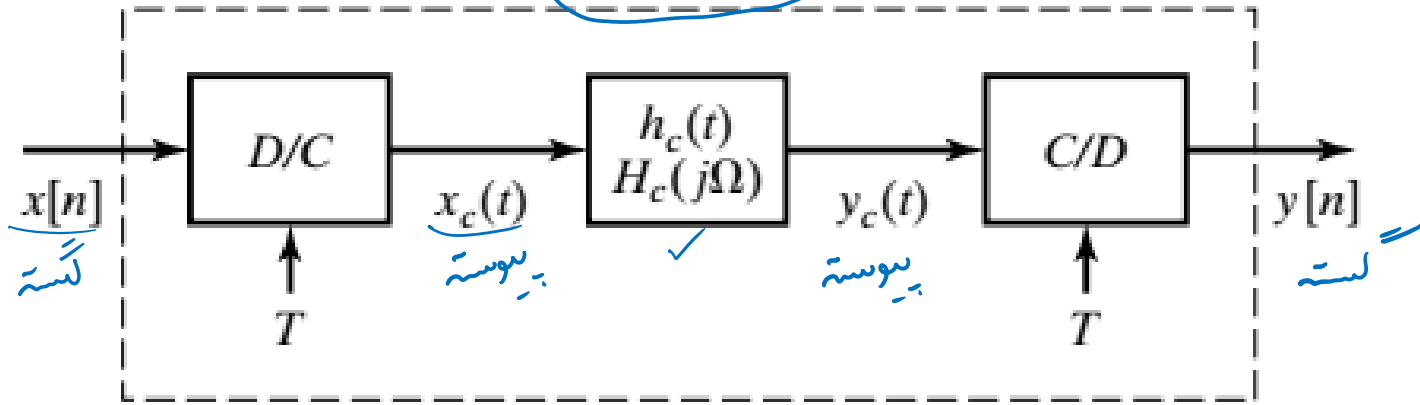
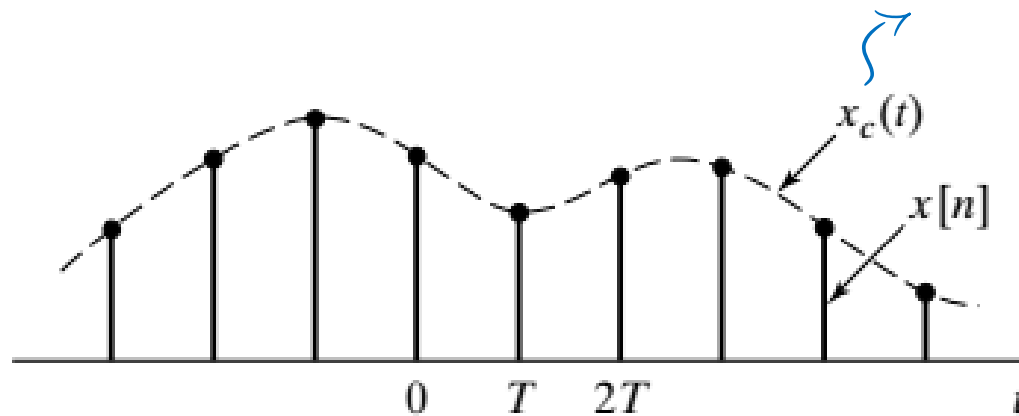


Figure 15 Continuous-time processing of discrete-time signals.

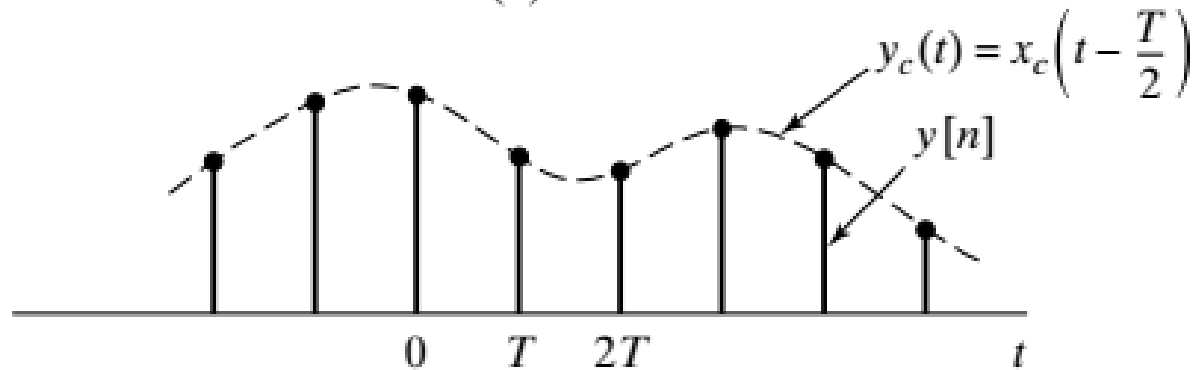
$$F^{-1} \begin{cases} H(e^{j\omega}) = e^{-j\omega\Delta} ; |\omega| < \pi \\ y[n] = x[n-\Delta] \end{cases} \quad \text{مثال: } \Delta \text{ کسری باشد}$$

$$F^{-1} \begin{cases} H_c(j\Omega) = H(e^{j\Omega T}) = e^{-j\Omega T\Delta} \\ y_c(t) = x_c(t - T\Delta) \end{cases}$$

دوینمایی نمونه های $x[n]$



(a)



(b)

اندر Δ غیر صحیح باشد:
مثلاً $\Delta = \frac{1}{2}$

Figure 16 (a) Continuous-time processing of the discrete-time sequence (b) can produce a new sequence with a “half-sample” delay.

مثال: سیستم میانگین متحرک:

رابطه (66)

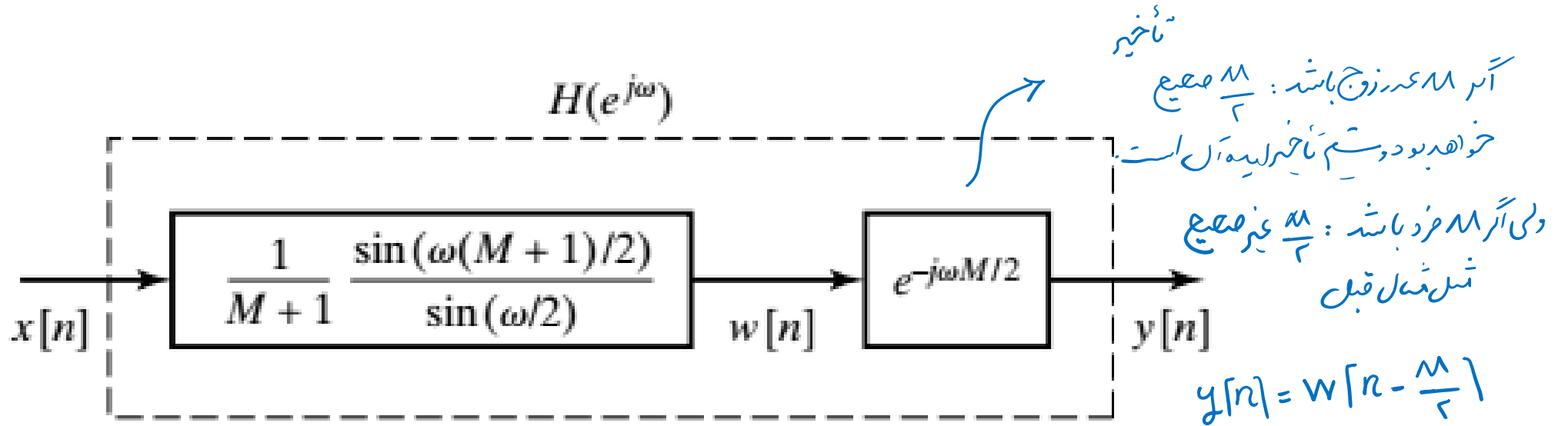
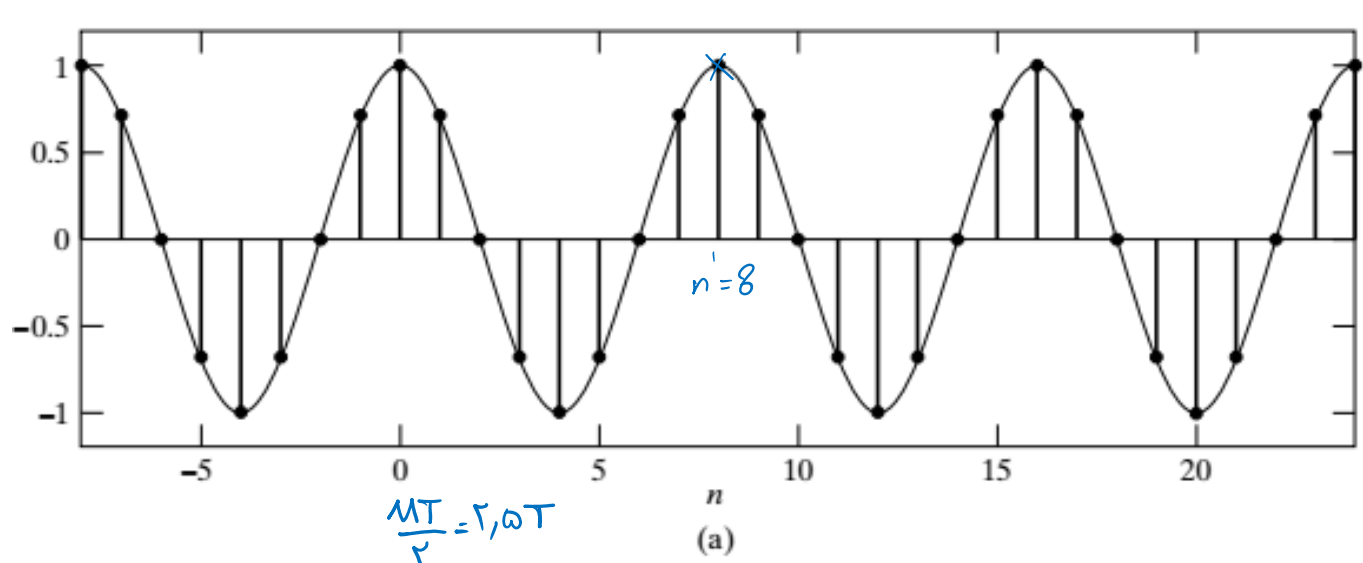


Figure 17 The moving-average system represented as a cascade of two systems.

$$M = 5 \rightarrow y[n] = 0.308 \cos[0.25\pi(n - 2.5)]$$

در زمان پیوسته $\frac{MT}{2}$



$$x[n] = \cos(0.25\pi n)$$

$n=8$

$$\frac{MT}{T} = 2, \omega T$$

$$M = \omega$$

$$y[n] = 0.707 \cos(0.25\pi(n-2))$$

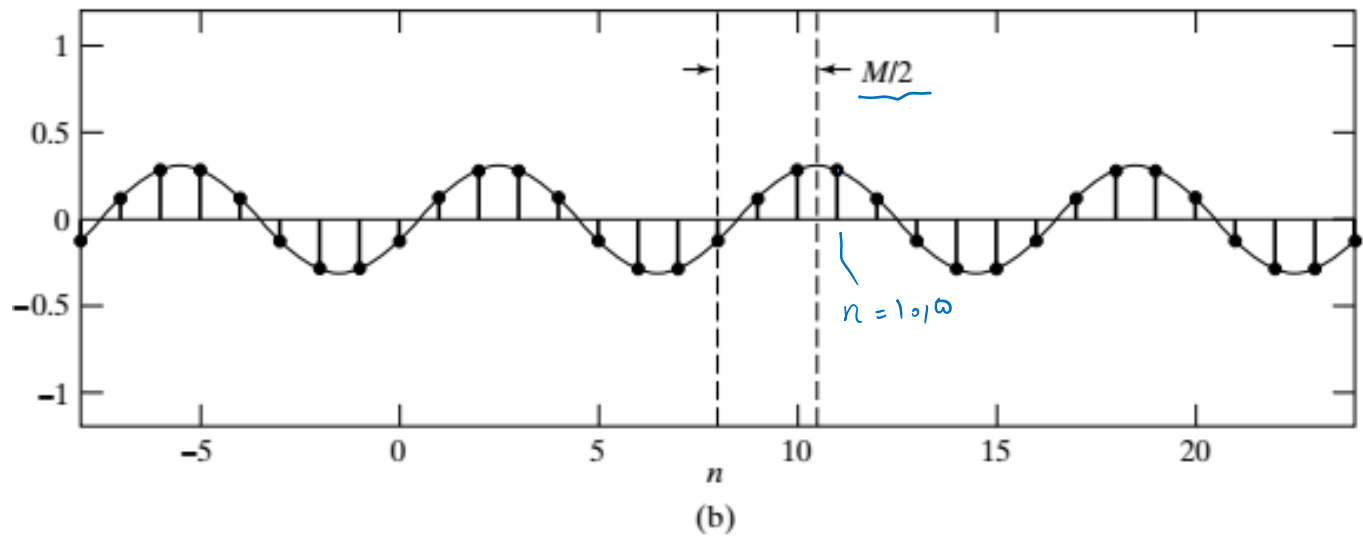


Figure 18 Illustration of moving-average filtering. (a) Input signal $x[n] = \cos(0.25\pi n)$. (b) Corresponding output of six-point moving-average filter.

6: تغییر نرخ نمونه برداری با برداشتن زمان گسسته:
Sampling Rate

نمونه برداری $x[n] = x_c(nT)$
نرخ نمونه برداری $\frac{1}{T}$

نرخ کمتر $T' > T$; $T' \neq T$; نرخ نمونه برداری $\frac{1}{T'}$
نرخ بیشتر $T' < T$
 $x'[n] = x_c(nT')$

4.6.1: کاهش نرخ نمونه برداری بیک ضریب صحیح:

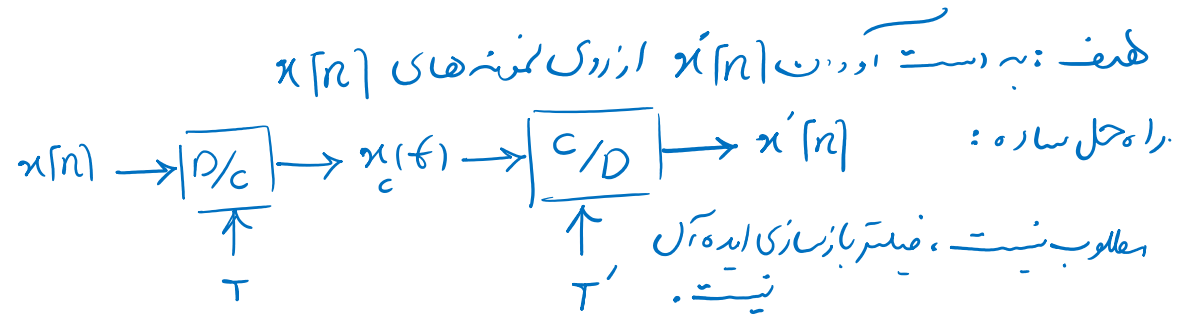
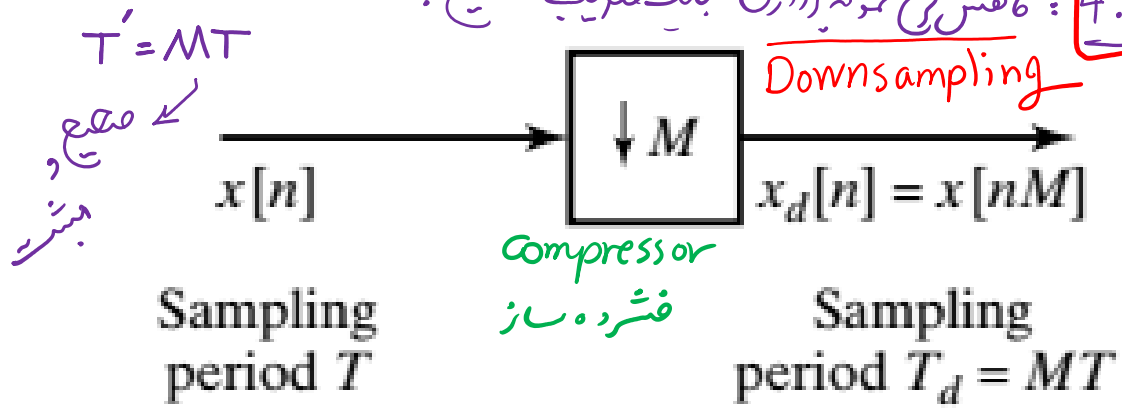
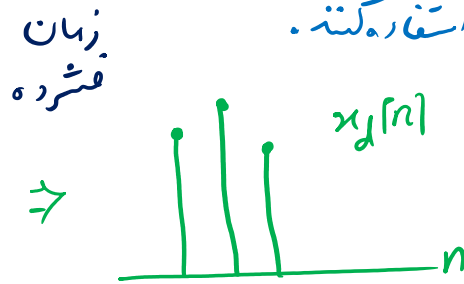
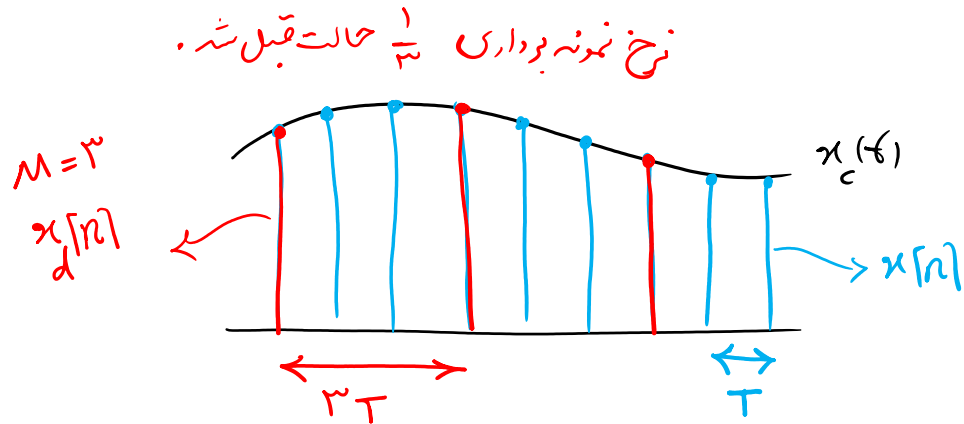
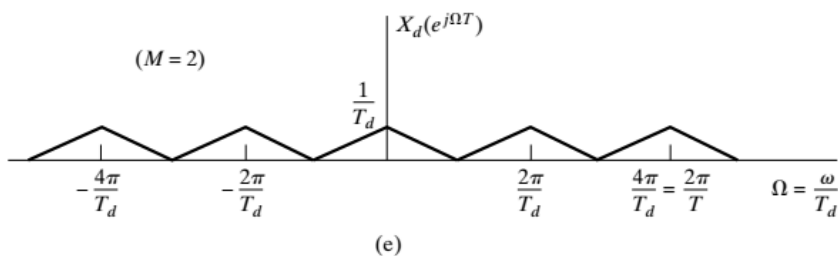
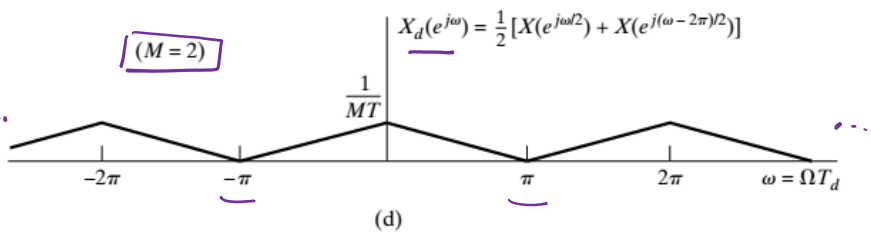
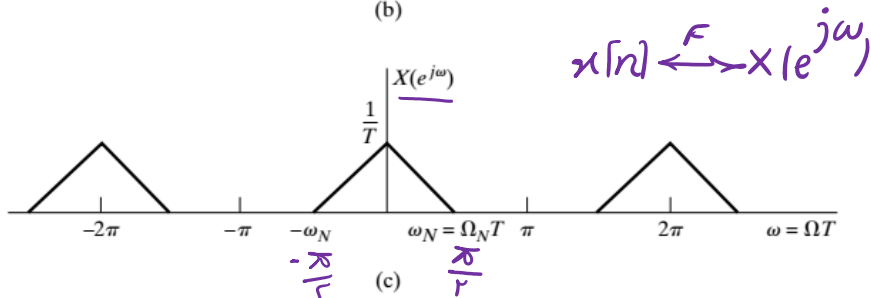
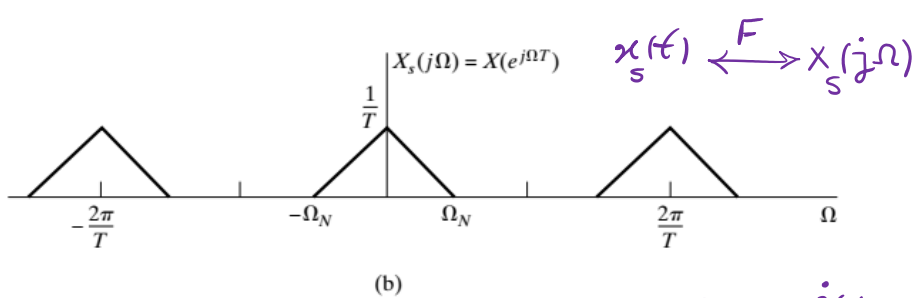
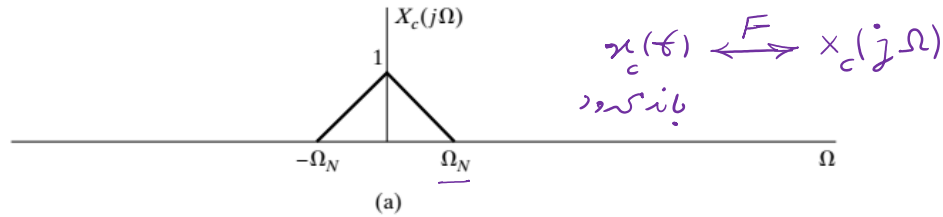


Figure 19 Representation of a compressor or discrete-time sampler.

به دنبال روش هایی هستیم که آنها از پردازش زمان گسسته استفاده کنند.



مثال:



تخمین سیم فشرده ساز:

حوزه زمان: $x_d[n] = x[Mn]$

حوزه فرکانس: $X_d(e^{j\omega}) = \sum_{i=0}^{M-1} X(e^{j(\frac{\omega}{M} - \frac{2\pi i}{M})})$

اثبات بردار 77 ~ 71 کتاب

توابعی به دست آمدن $X_d(e^{j\omega})$: فشرده ساز در حوزه فرکانس:

- ۱- گسترش محدوده فرکانس $\omega \leq \pi$ با ضریب M
- ۲- پیروی سازی با 2π و جمع
- ۳- ضریب دامنه $\frac{1}{M}$

فرکانس گسترش

$M=2$

فشرده شدن در حوزه زمان



گسترده شدن در حوزه فرکانس

Figure 20 Frequency-domain illustration of downsampling.

مثال قبل برای $M=3$

$$2\pi - \frac{3\pi}{3} = \frac{\pi}{3}$$

$$-2\pi + \frac{3\pi}{3} = -\frac{\pi}{3}$$

مشکل فشرده ساز:

احتمال از دست رفتن اطلاعات aliasing
مانند آنچه در $\frac{c}{D}$ داشتیم.

راه حل مشکل aliasing در فشرده ساز: decimation
بصورت

فیلتر پایین نذر با کم و کورت بازه فرکانسی $X(e^{j\omega})$ از بروز aliasing جلوگیری می کند.

کدام بهتر است؟ حالت $(\frac{1}{M})$ با فیلتر بهتر است زیرا در این حالت همواره فرکانسی بیشتری دست نگردد بهمان مابده است.

در هر دو حالت از دست رفتن اطلاعات را داریم.

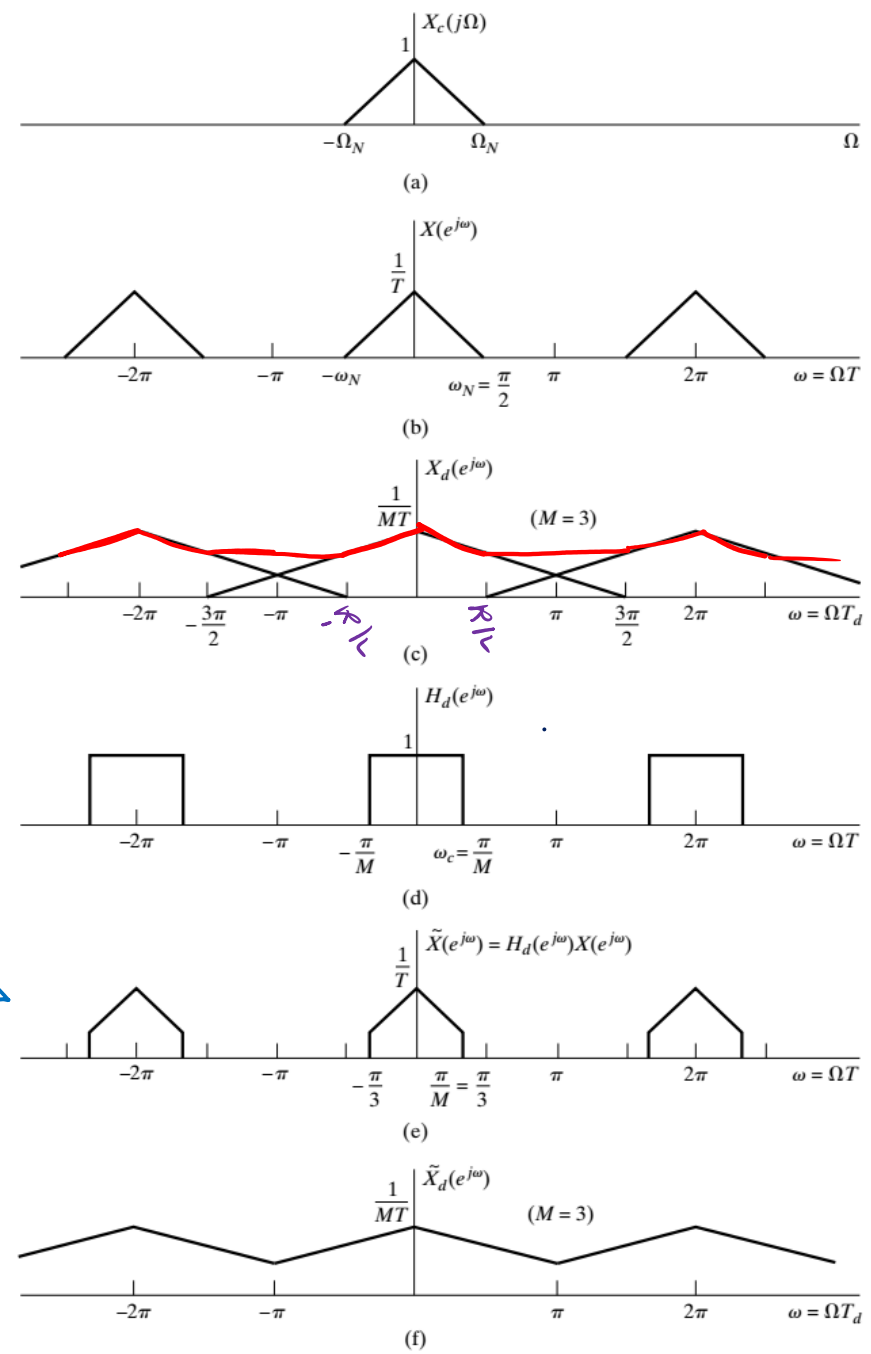


Figure 21 (a)–(c) Downsampling with aliasing. (d)–(f) Downsampling with prefiltering to avoid aliasing.

فیلتر مینتر LPF
decimation

فشرده ساز

از دست رفتن اطلاعات:

در حالت اول: از aliasing

... : از فیلتر کردن ✓ بهتر

Decimation:

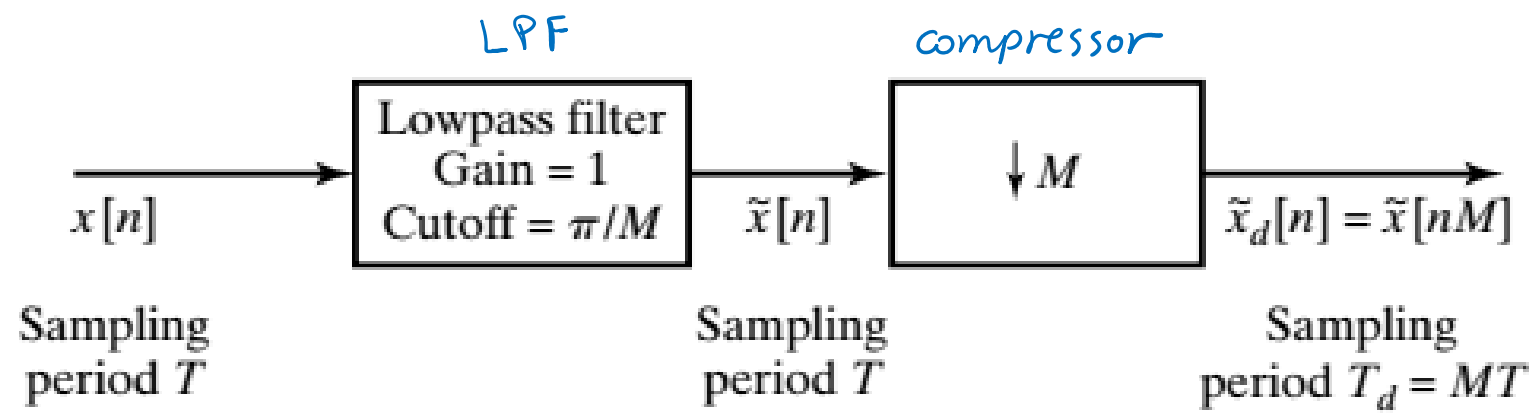


Figure 22 General system for sampling rate reduction by M .

افزایش نرخ نمونه برداری با یک ضریب صحیح: Upsampling

$$T' = \frac{T}{L}$$

نیازمند عملیات درونیابی
شبیه D/C بازیابی سین

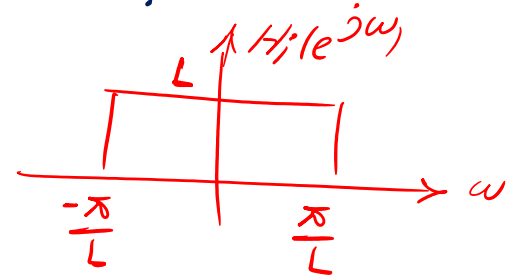
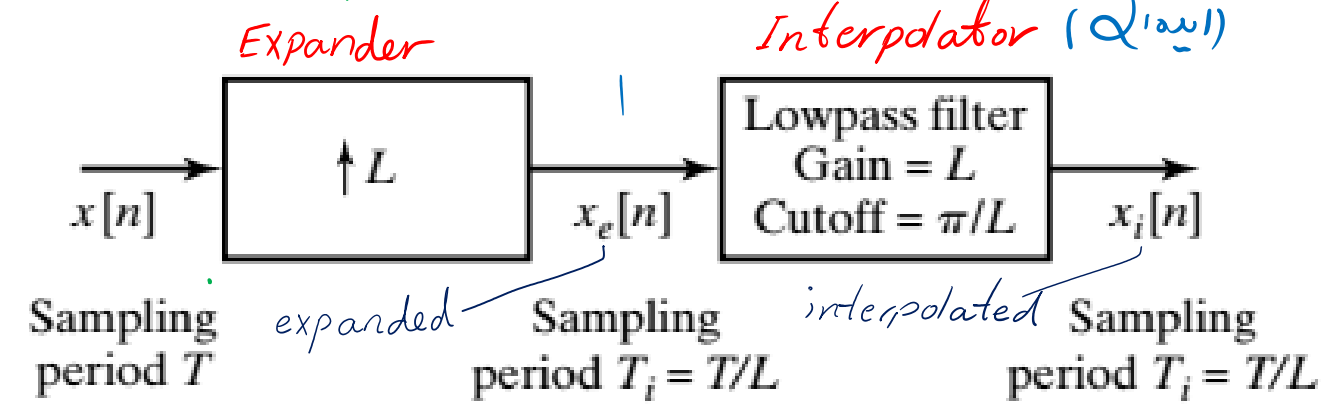
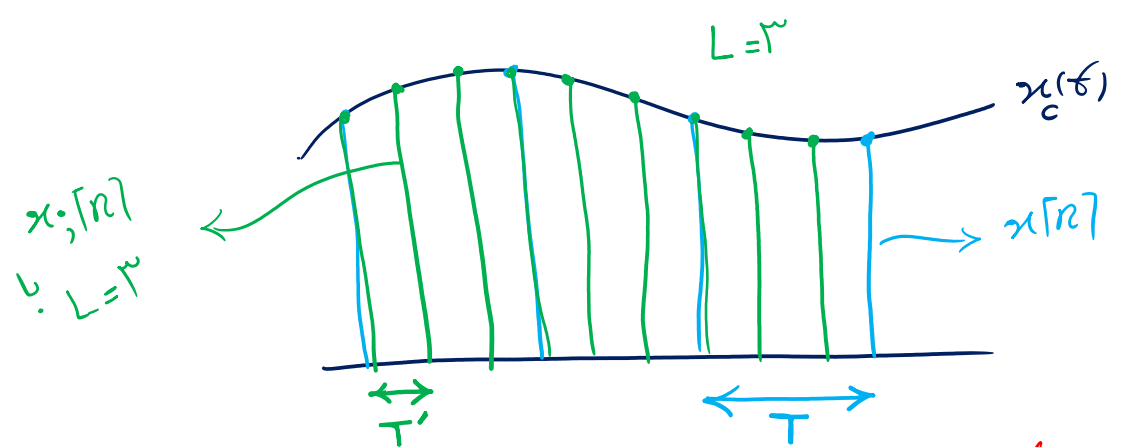


Figure 23 General system for sampling rate increase by L.

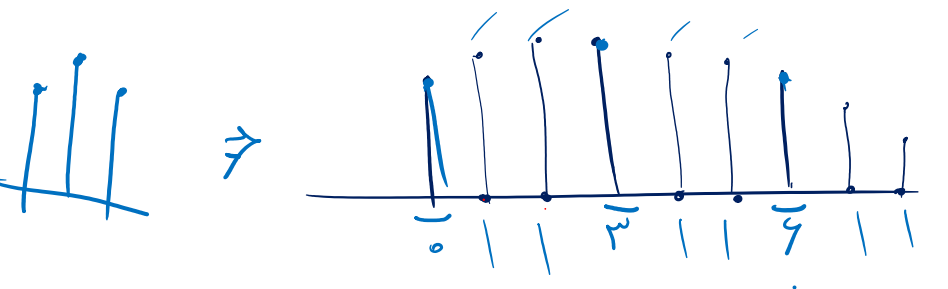


تکثیر سیگنال با ضریب صحیح: Expander

$$x_e[n] = \begin{cases} x[\frac{n}{L}], & n=0, \pm L, \pm 2L, \dots \\ 0, & \text{o.w} \end{cases}$$

$$x_e[n] = \sum_{k=-\infty}^{+\infty} x[k] \delta[n-kL]$$

$$X_e(e^{j\omega}) = \sum_{n=-\infty}^{+\infty} \left(\sum_{k=-\infty}^{+\infty} x[k] \delta[n-kL] \right) e^{-j\omega n} = \sum_{k=-\infty}^{+\infty} x[k] e^{-j\omega kL} = X(e^{j\omega L})$$

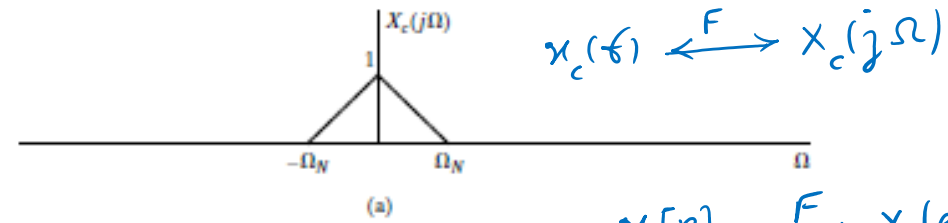


حوزه فرکانس: فشردگی که منجر به ω با ضریب L

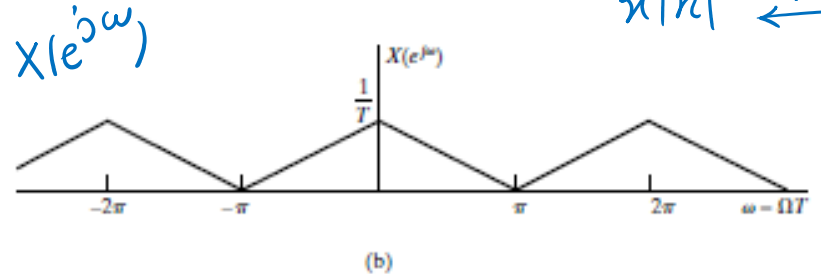
گسترده شدن در حوزه زمان

فشرده شدن در حوزه فرکانس

فشرده کردن با فیلتر

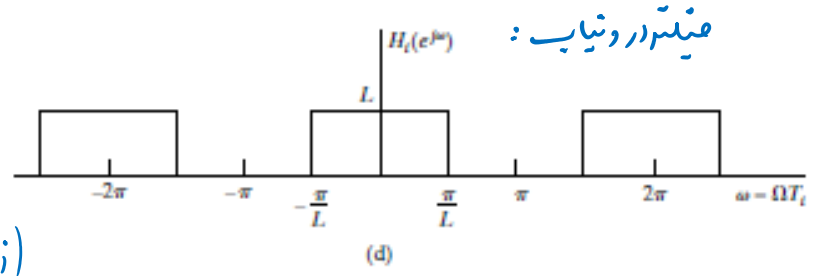
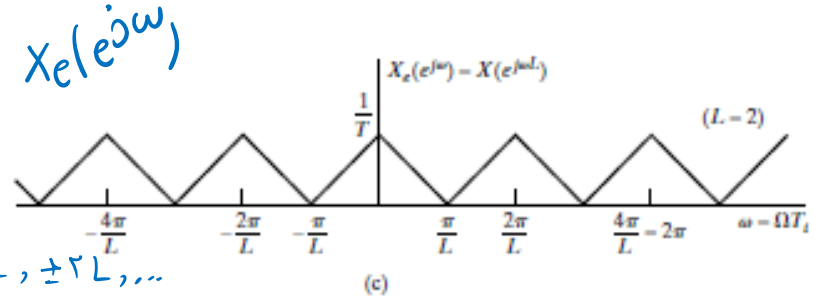


$$x_c(t) \xleftrightarrow{F} X_c(j\Omega)$$

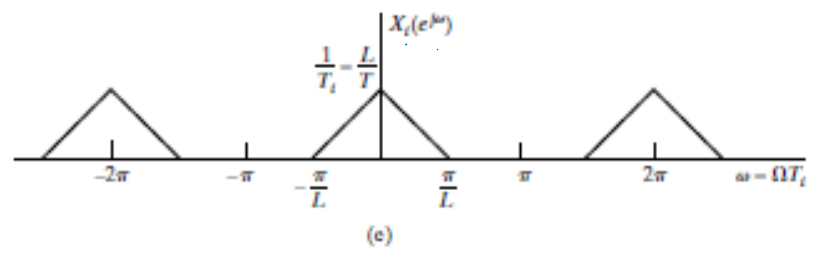


$$x[n] \xleftrightarrow{F} X(e^{j\omega})$$

آیا از دست رفتن اطلاعات ممکن است رخ دهد؟



فیلتر درونیاب:



$$h_i[n] = \frac{\sin(n\pi/L)}{n\pi/L} = \begin{cases} 0 & ; n = \pm L, \pm 2L, \dots \\ 1 & ; n = 0 \end{cases}$$

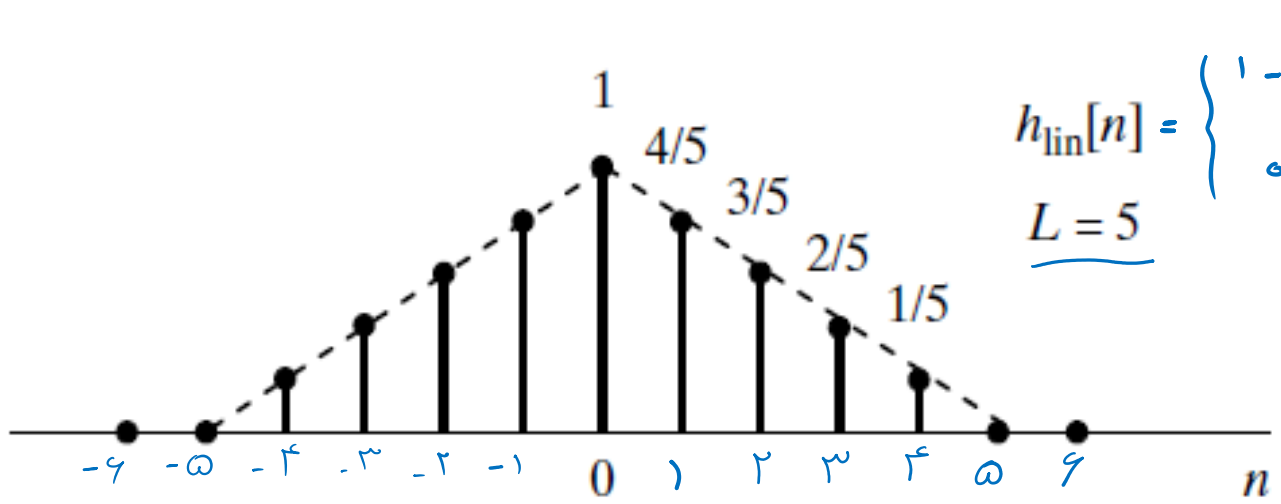
$$x_i[n] = x[n] * h_i[n] = x[\frac{n}{L}] = x_c(\frac{nT}{L}) = x_c(nT_i)$$

Figure 24 Frequency-domain illustration of interpolation.

4.6.3 : فیلترهای درونیاب ساده و عملی :

جایگزین فیلتر ایده آل با این نذر

فیلتر درونیاب خطی



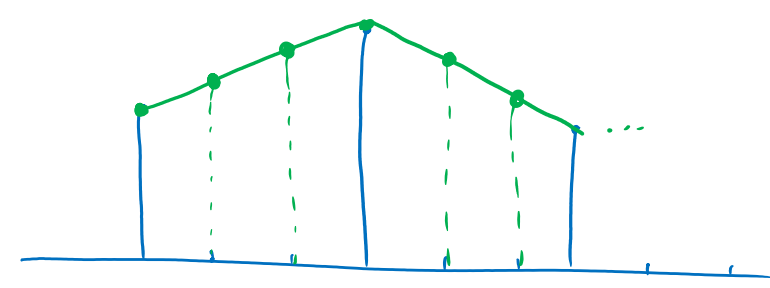
$$h_{lin}[n] = \begin{cases} 1 - \frac{|n|}{L} & ; |n| \leq L \\ 0 & ; \text{o.w.} \end{cases}$$

$L = 5$

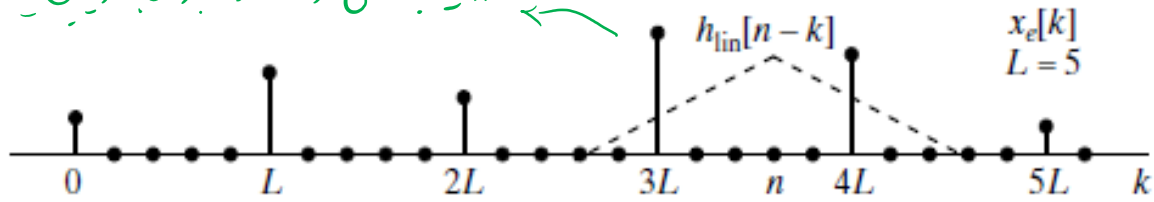
$$x_{lin}[n] = x_e[n] * h_{lin}[n]$$

Figure 25 Impulse response for linear interpolation.

$$= \sum_{k=n-L+1}^{n+L-1} x_e[k] h_{lin}[n-k]$$



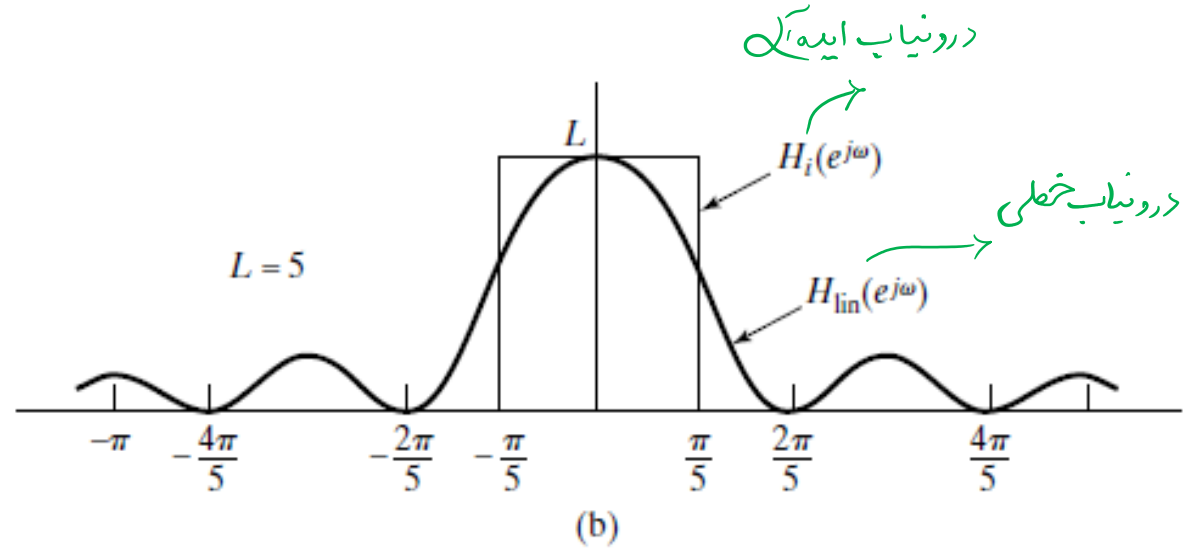
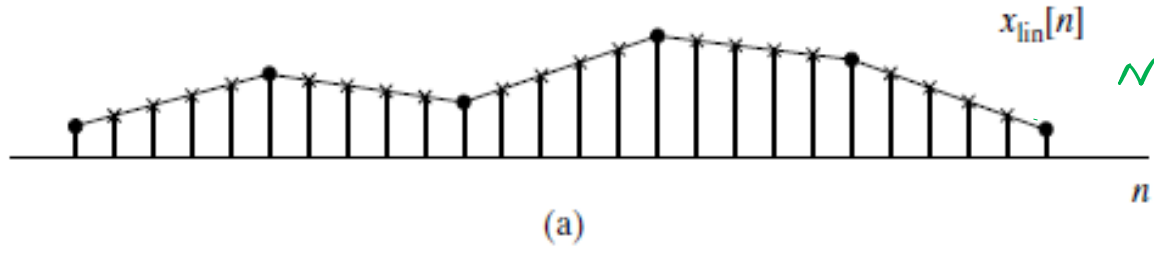
در نیاب خطی از دو نمونه برای بازیابی استفاده می‌کند



حموده زمان :

برای حالت‌های بیش از دو نمونه برداری اولیه از نرخ Nyquist بیشتر است.

در حالی که در نیاب ایده آل به همه نمونه‌ها نیاز دارد و عمل "عزیمکن" است.



حموده فرکانس :

$$H_{lin}(e^{j\omega}) = \frac{1}{L} \left[\frac{\sin(\frac{\omega L}{2})}{\sin(\frac{\omega}{2})} \right]^2$$

Figure 26 (a) Illustration of linear interpolation by filtering. (b) Frequency response of linear interpolator compared with ideal lowpass interpolation filter.

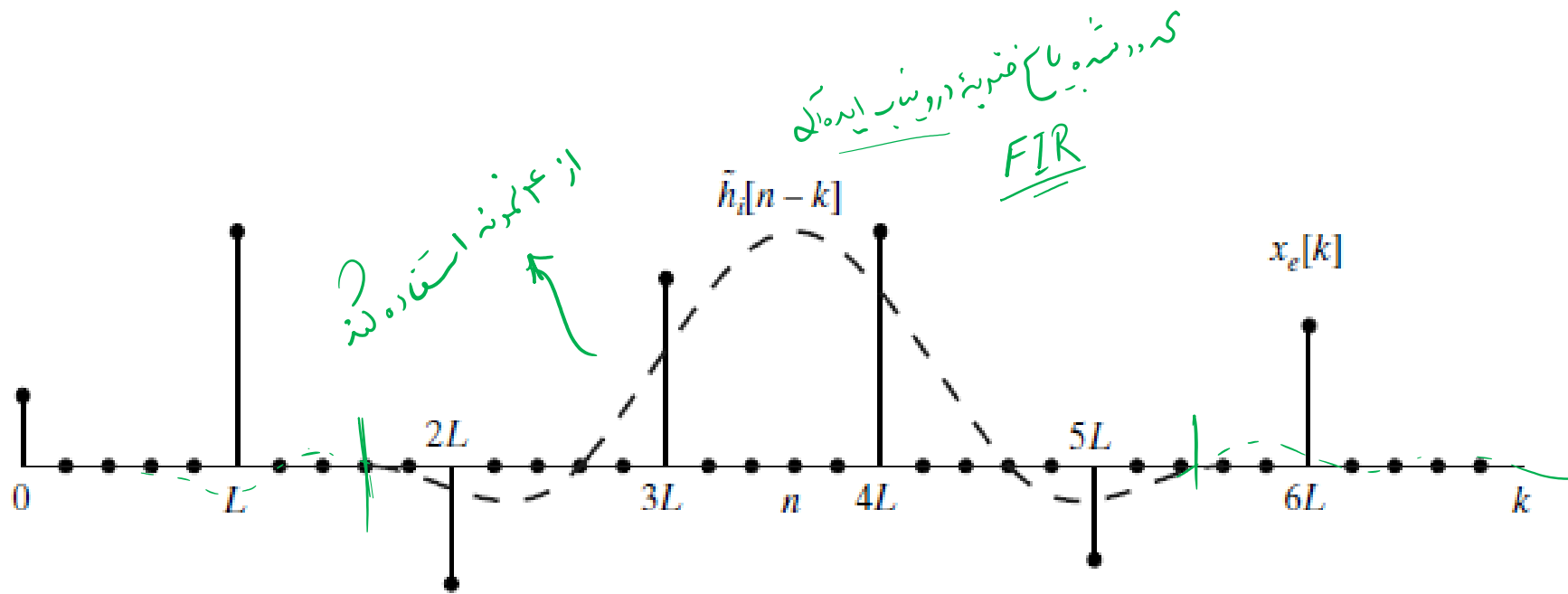
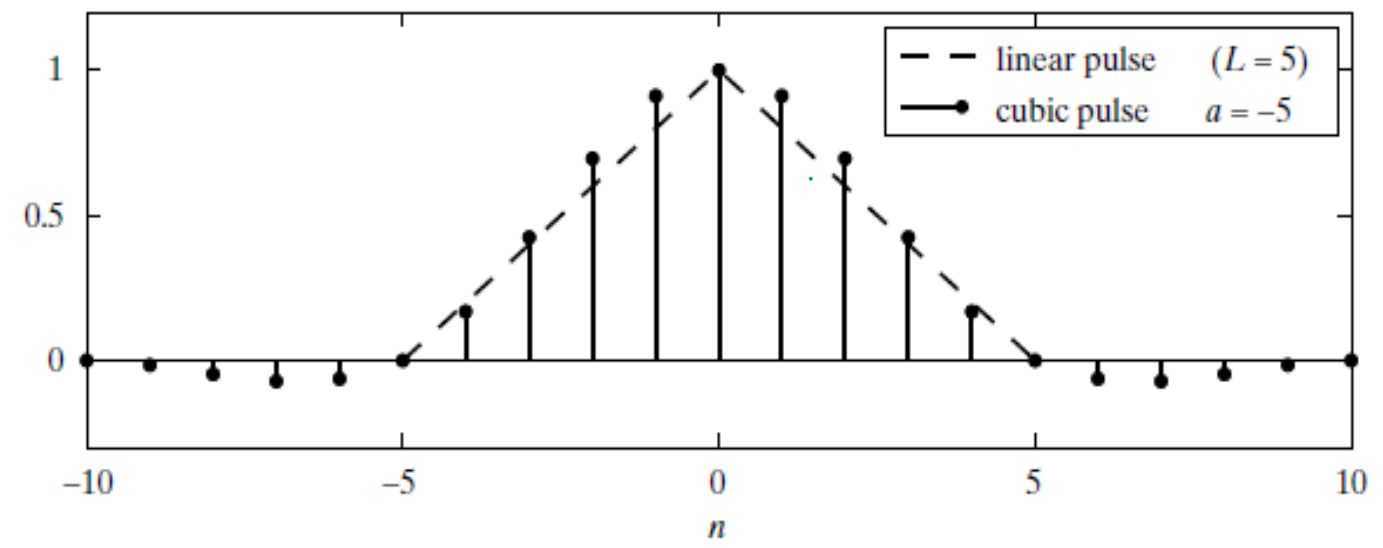


Figure 27 Illustration of interpolation involving $2K = 4$ samples when $L = 5$.

بیاض صغریه



دردیناب cubic ←
رابطه (۶۷)

بیاض عطاسی

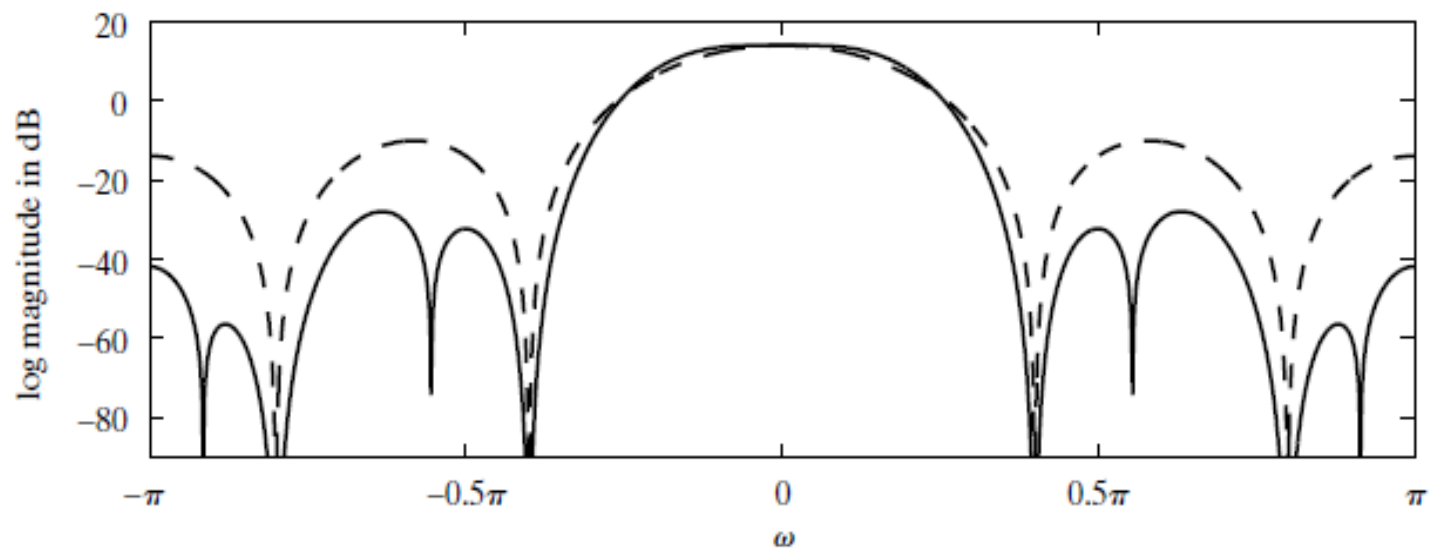


Figure 28 Impulse responses and frequency responses for linear and cubic interpolation.

تغییر نرخ نمونه برداری با ضرب غیر صحیح:

ضرب گویای $\frac{M}{L}$

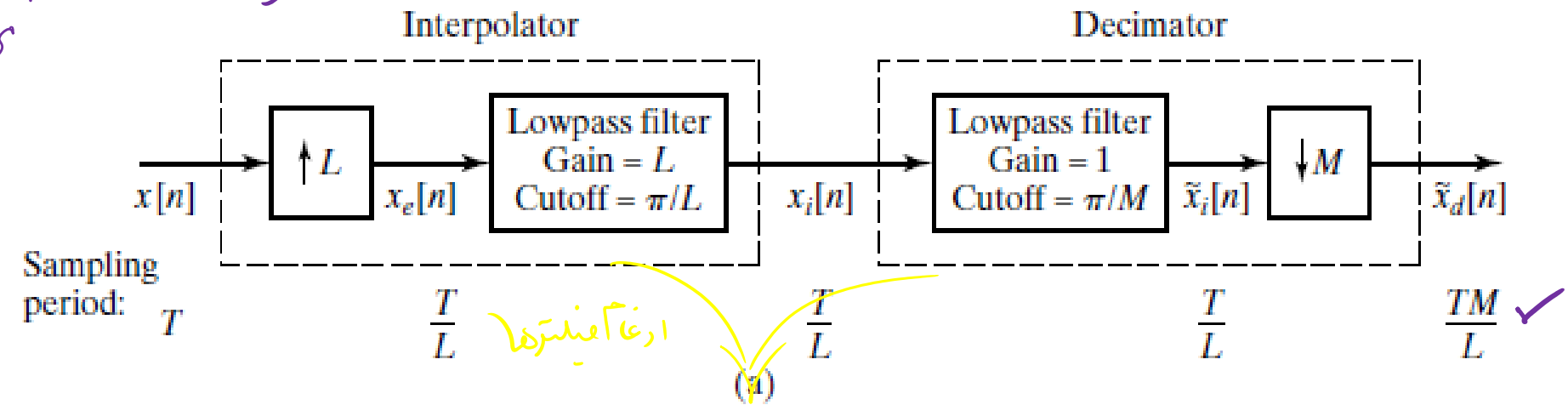
Downsampling با ضرب M

Upsampling با ضرب L

تداویم ابتدای اعمال می شود.

ابتدا L را اعمال می کنیم پس M

زیر (Downsampling) باعث از دست رفتن اطلاعات می شود.



اگر $M=1$ باشد: درونیاب

اگر $L=1$ باشد: decimator

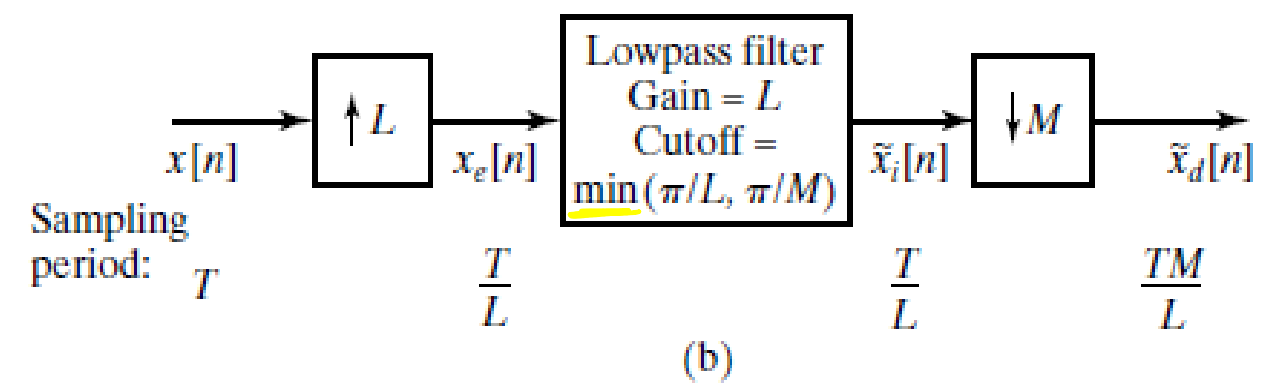
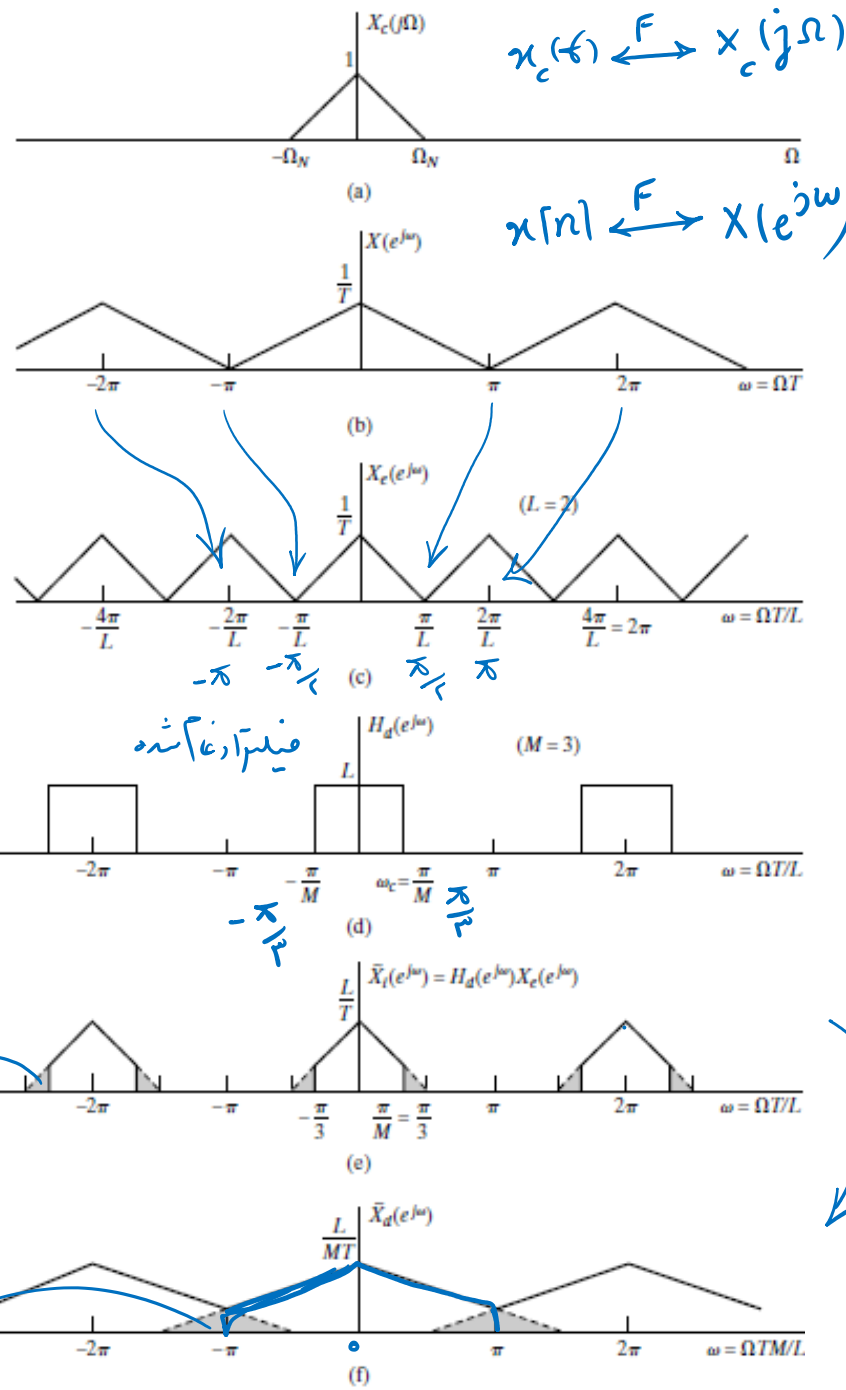


Figure 29 (a) System for changing the sampling rate by a noninteger factor. (b) Simplified system in which the decimation and interpolation filters are combined.



$\frac{M}{L} = \frac{3}{2}$ شکل:

فشرده شدن با ضریب $L=2$

$\min\left(\frac{\pi}{2}, \frac{\pi}{3}\right) = \frac{\pi}{3}$

$M=3$
 6 آلفای فشرده سازی
 $\frac{\pi}{3} \times 3 \rightarrow \pi$
 $\frac{\pi}{3} \times 2 \rightarrow -\pi$
 2- بر مبرید سازی
 $\frac{\pi}{3}$

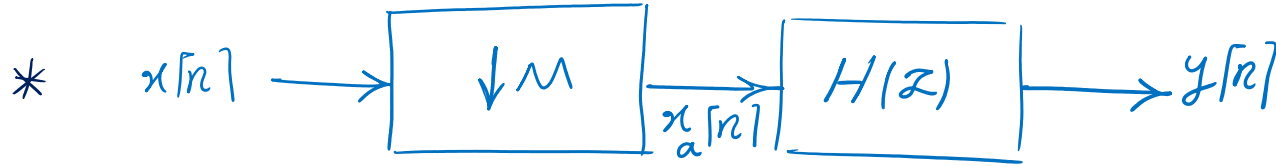
عکس‌نقش

اطلاعات از استریم با فیلتر

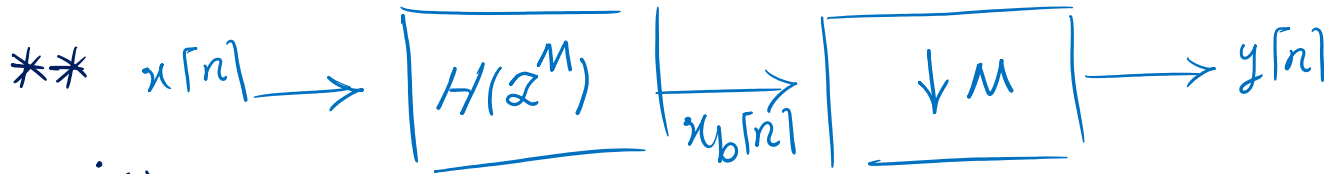
اطلاعات از دست رفتن بدون فیلتر

Figure 30 Illustration of changing the sampling rate by a noninteger factor.

4.7.1: جایابی فیلترها با بلوک‌های فشرده‌ساز و گسترده‌ساز:



این تئورم هم‌هنگام با جایابی بلوک‌ها در حالت کلی خراب می‌شود زیرا $\downarrow M$ فشرده‌ساز غیر LTI است.



(**) $x_b(e^{j\omega}) = H(e^{j\omega M}) x_a(e^{j\omega})$
 $y(e^{j\omega}) = \frac{1}{M} \sum_{i=0}^{M-1} x_b(e^{j(\frac{\omega}{M} - \frac{2\pi i}{M})}) \Rightarrow Y(e^{j\omega}) = \frac{1}{M} \sum_{i=0}^{M-1} x_a(e^{j(\frac{\omega}{M} - \frac{2\pi i}{M})}) H(e^{j(\omega - 2\pi i)})$

$H(e^{j(\omega - 2\pi i)}) = H(e^{j\omega})$
 $Y(e^{j\omega}) = H(e^{j\omega}) \frac{1}{M} \sum_{i=0}^{M-1} x_a(e^{j(\frac{\omega}{M} - \frac{2\pi i}{M})})$

$\Rightarrow Y(e^{j\omega}) = H(e^{j\omega}) X_a(e^{j\omega})$ بلوک (*)

جابجایی فیلتر و فشردن ساز:

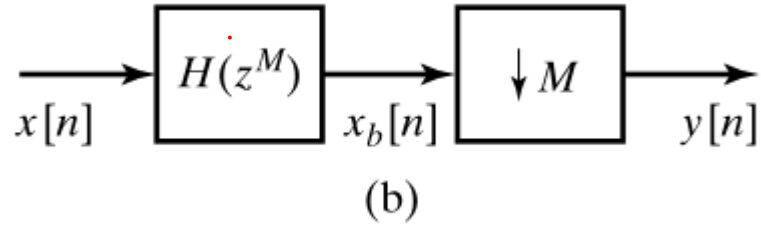
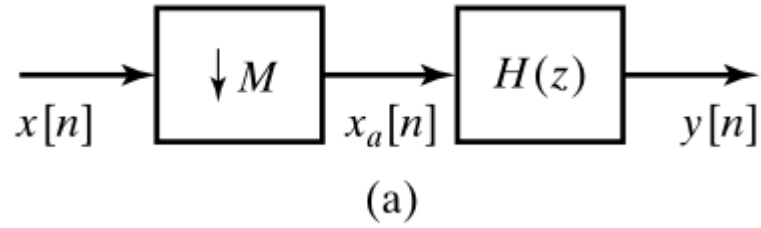


Figure 31 Two equivalent systems based on downsampling identities.

جابجایی فیلتر و گسترده ساز:

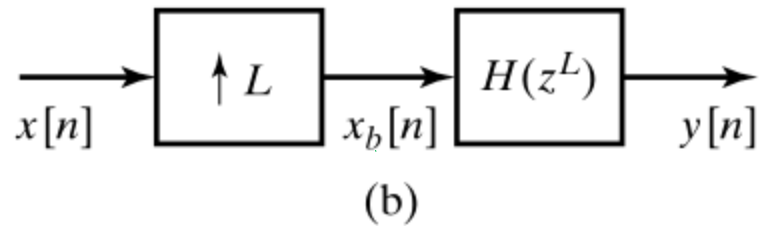
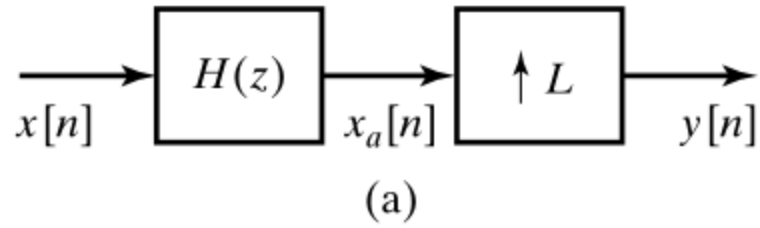


Figure 32 Two equivalent systems based on upsampling identities.

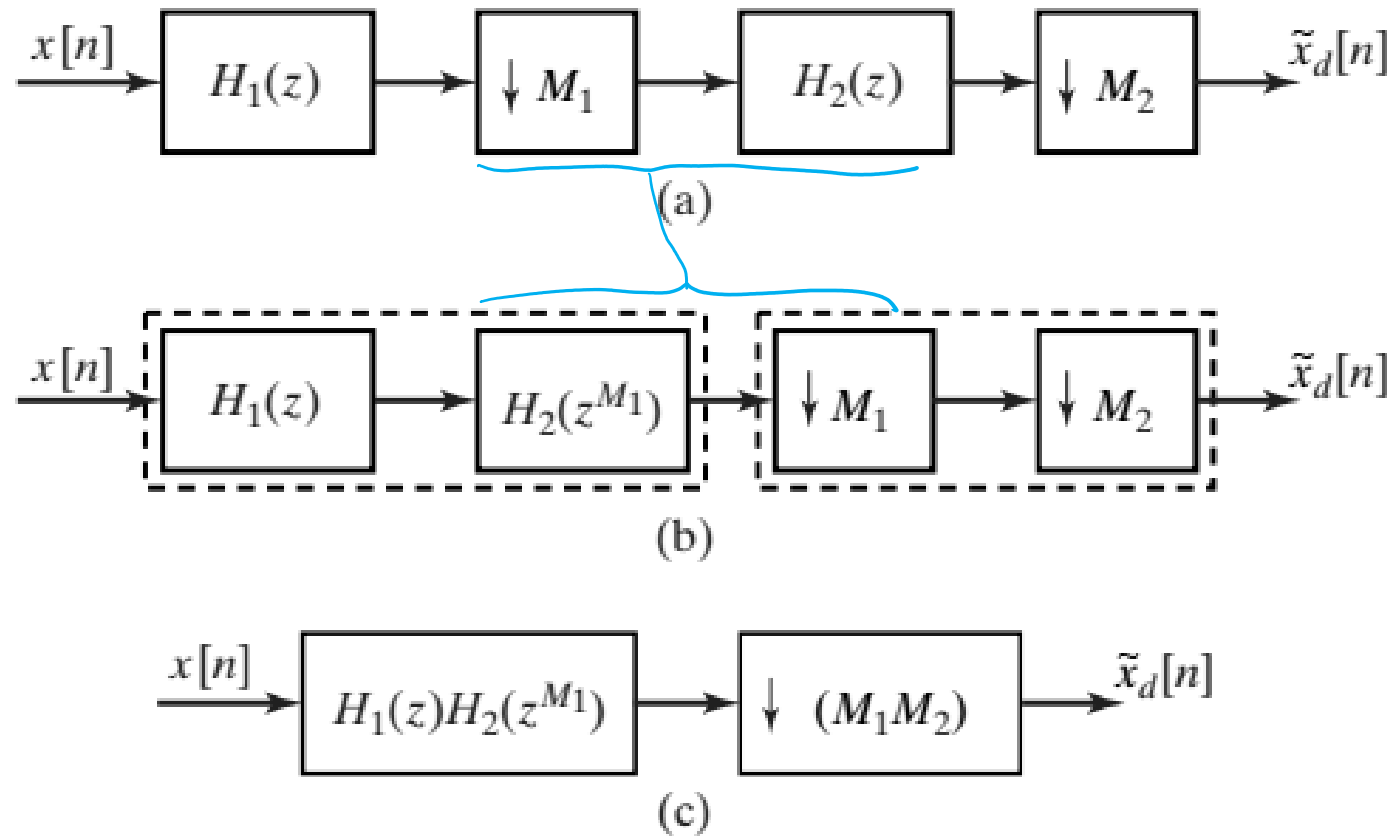


Figure 33 Multistage decimation:
 (a) Two-stage decimation system.
 (b) Modification of (a) using downsampling identity of Figure 31.
 (c) Equivalent one-stage decimation.

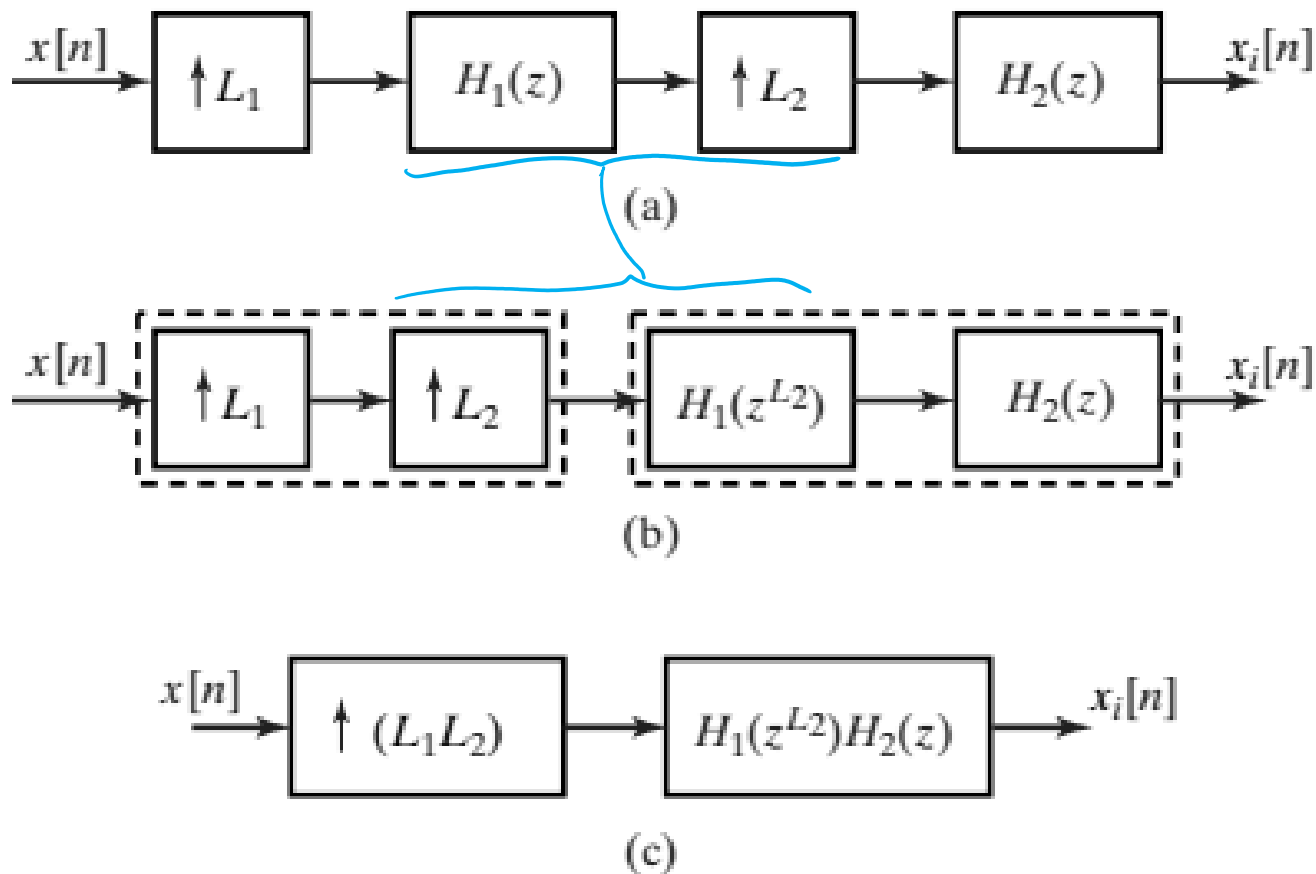


Figure 34 Multistage interpolation:
 (a) Two-stage interpolation system.
 (b) Modification of (a) using upsampling identity of Figure 32.
 (c) Equivalent one-stage interpolation.

Polyphase Decomposition

← هر $H(z)$ را می توان به شکل زیر نمایش داد:

$$H(z) = \sum_{k=0}^{M-1} E_k(z^M) z^{-k} \quad \text{Fig 37}$$

که به $E_k(z)$ ها مولفه های Polyphase گفته می شود.

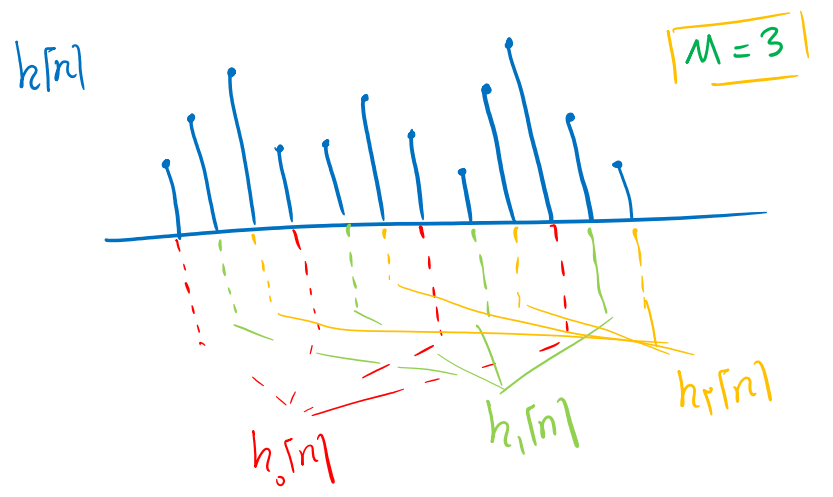
$$e_k[n] = h[nM+k] = h_k[nM] \quad k=0, 1, 2, \dots, M-1$$

می توان نشان داد:

$$\begin{aligned} e_0[n] &= h[nM] \\ e_1[n] &= h[nM+1] \\ e_2[n] &= h[nM+2] \\ &\vdots \end{aligned}$$

$$\rightarrow h[n] = \sum_{k=0}^{M-1} h_k[n-k] \quad \text{Fig 35, 36}$$

$$\rightarrow h_k[n] = \begin{cases} h[n+k] & ; \text{ فریب صغیر } M \\ 0 & ; \text{ o.w.} \end{cases}$$



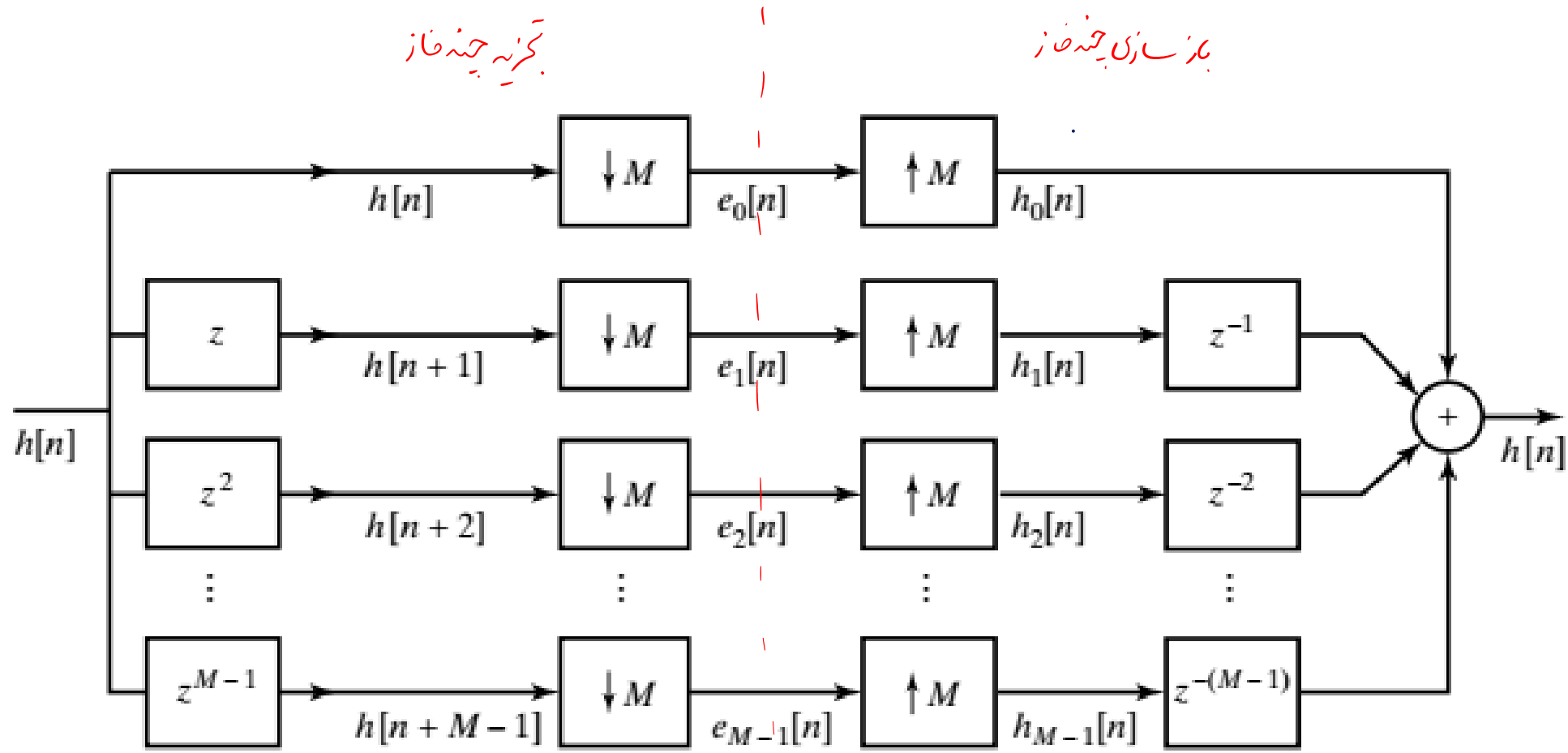


Figure 35 Polyphase decomposition of filter $h[n]$ using components $e_k[n]$.

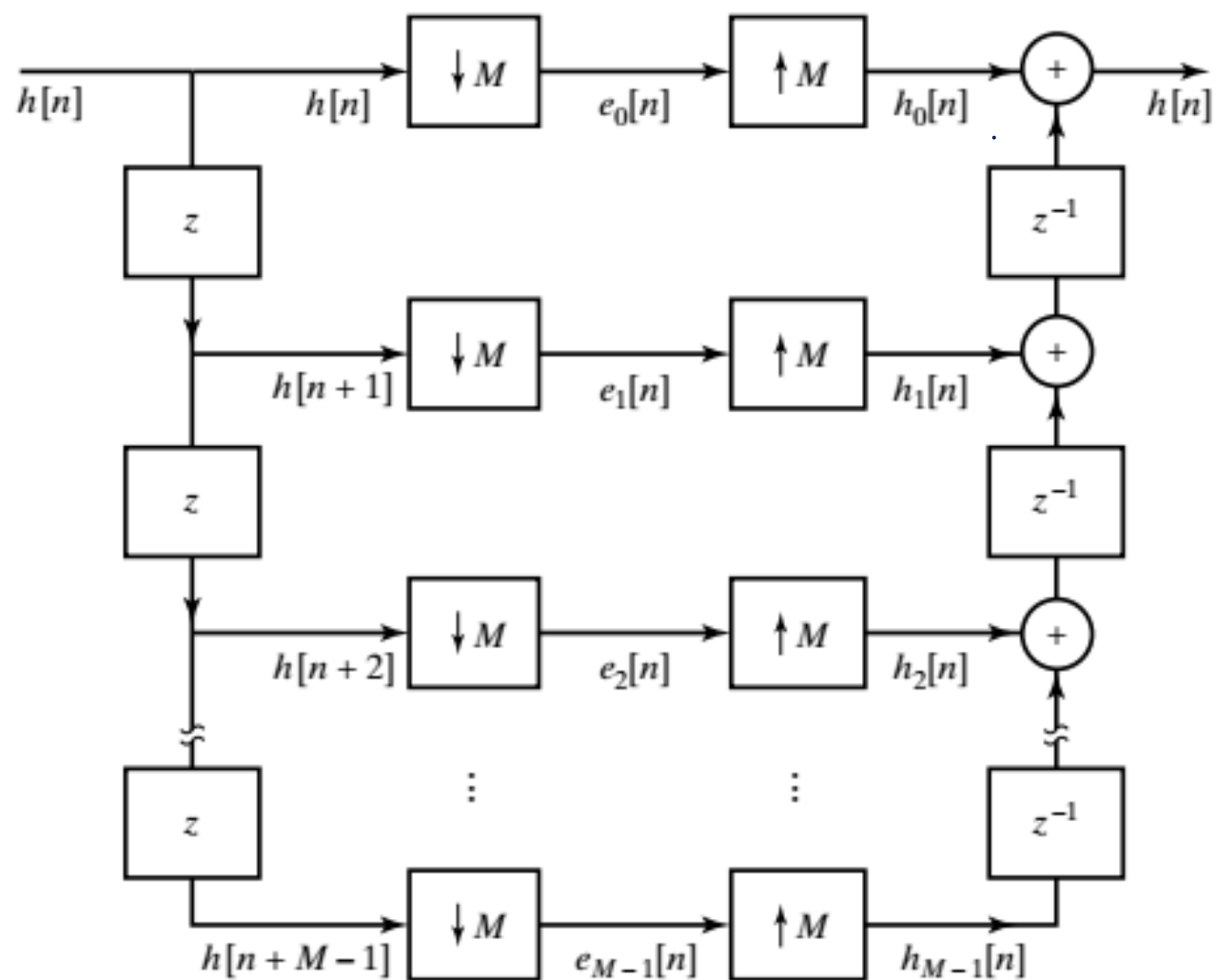
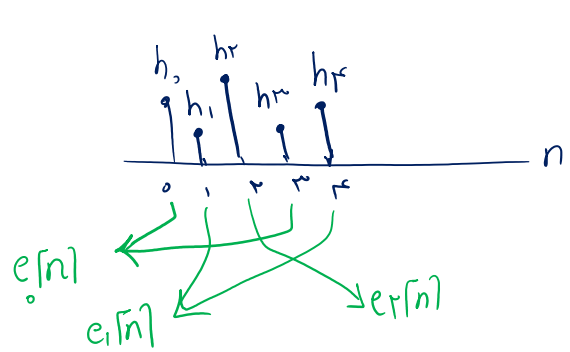


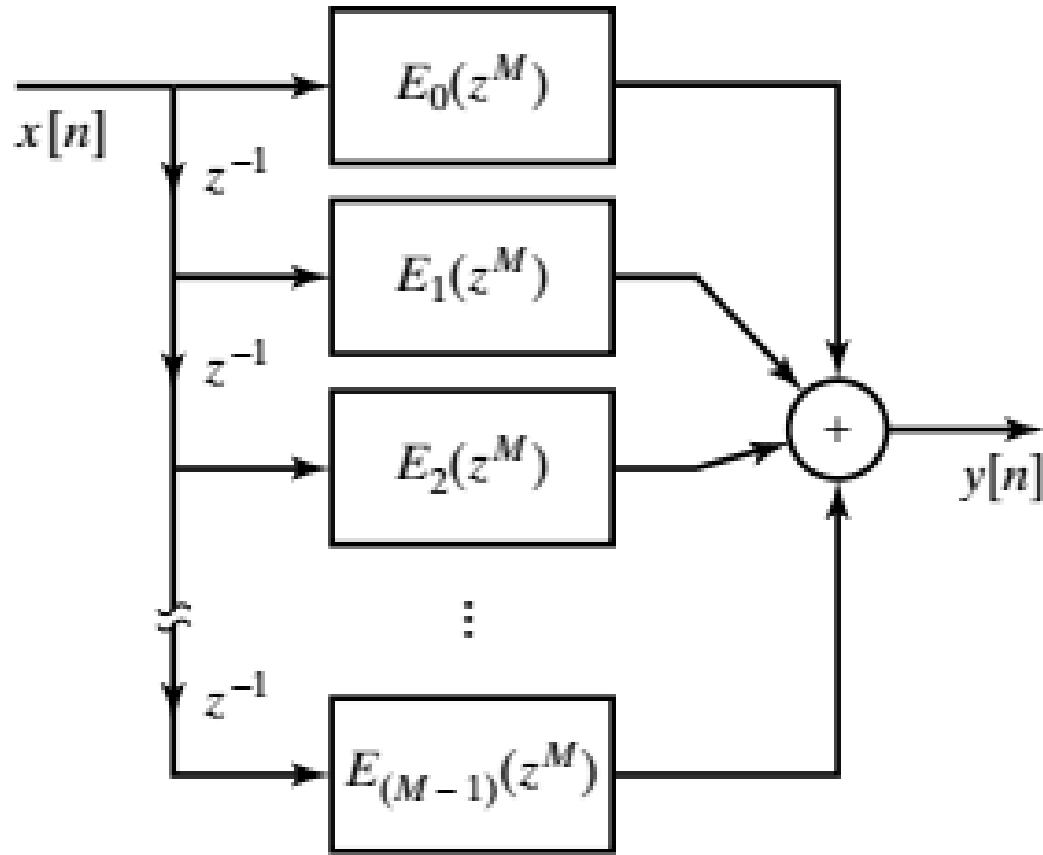
Figure 36 Polyphase decomposition of filter $h[n]$ using components $e_k[n]$ with chained delays.



$$h[n] = h_0 \delta[n] + h_1 \delta[n-1] + \dots + h_{M-1} \delta[n-(M-1)] \quad \text{: مش } \underline{M=3}$$

$$H(z) = h_0 + h_1 z^{-1} + h_2 z^{-2} + \dots + h_{M-1} z^{-(M-1)}$$

$$= \underbrace{(h_0 + h_{M-1} z^{-M})}_{E_0(z^M)} + \underbrace{(h_1 + h_{M-2} z^{-M})}_{E_1(z^M)} z^{-1} + \underbrace{h_2}_{E_2(z^M)} z^{-2}$$



$$H(z) = \sum_{k=0}^{M-1} E_k(z^M) z^{-k}$$

Figure 37 Realization structure based on polyphase decomposition of $h[n]$.

4.7.4: پیاده‌سازی حذف‌زده فیلتر Decimation:

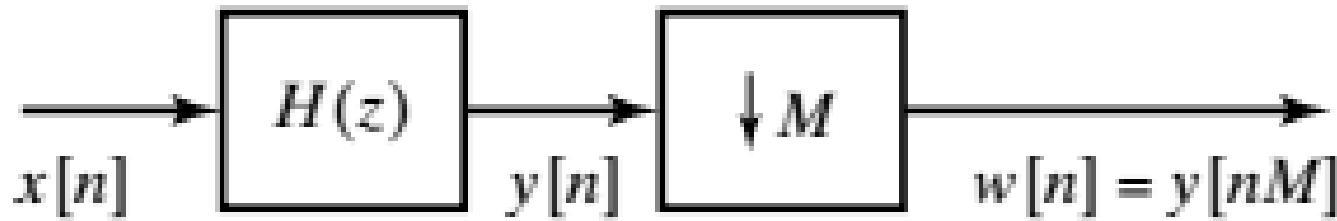


Figure 38 Decimation system.

سیستم بالا کارایی کمی دارد زیرا ابتدا همه نمونه‌ها را فیلتر می‌کند و سپس تعدادی از نمونه‌های فیلتر شده را حذف می‌کند. بهتر است فقط روی نمونه‌های مورد نیاز فیلتر را اعمال کنیم.

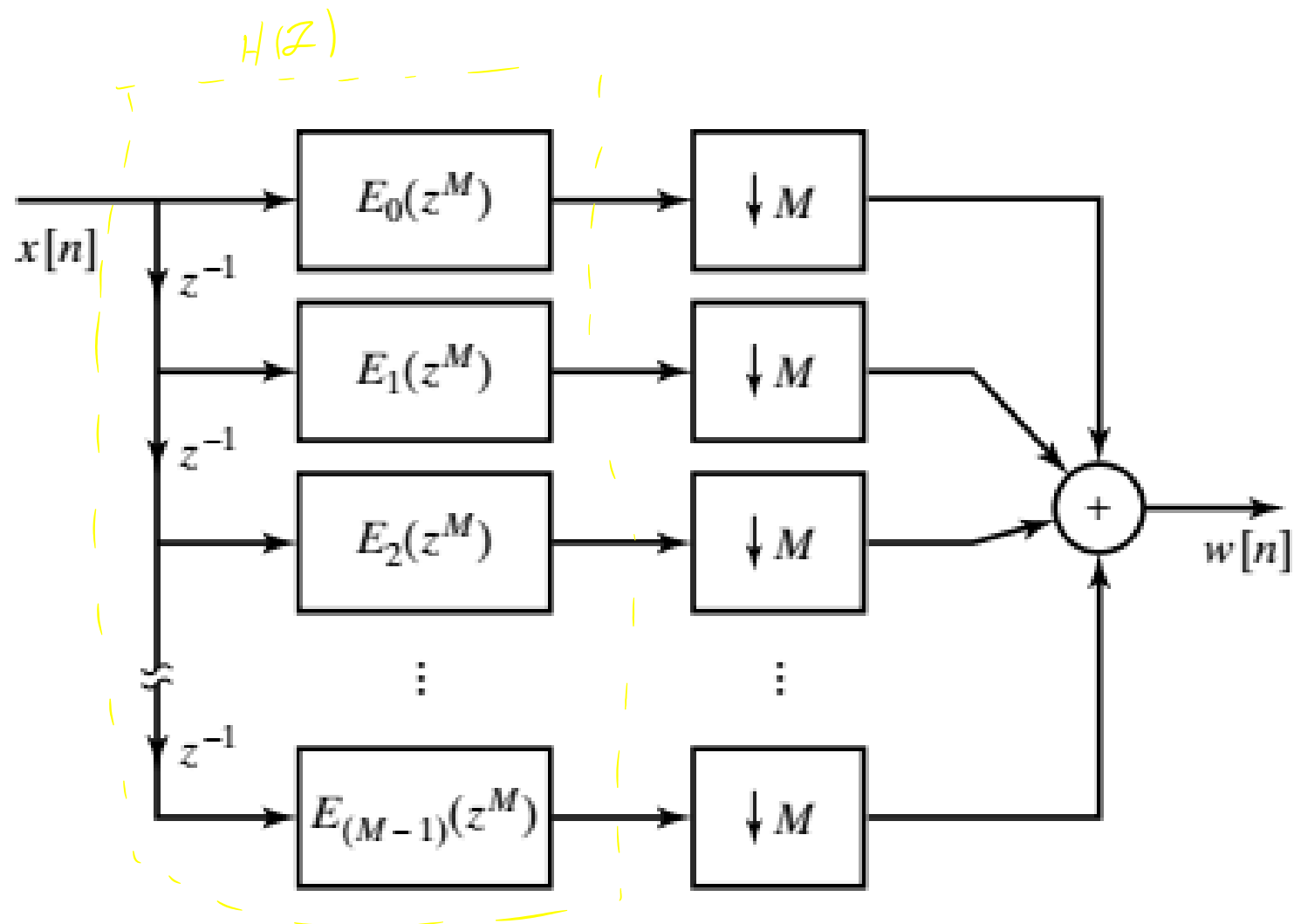
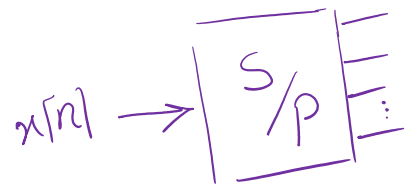
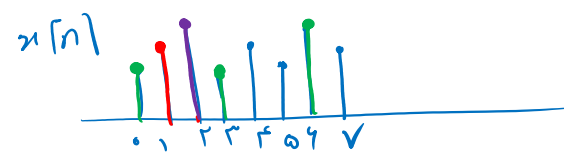
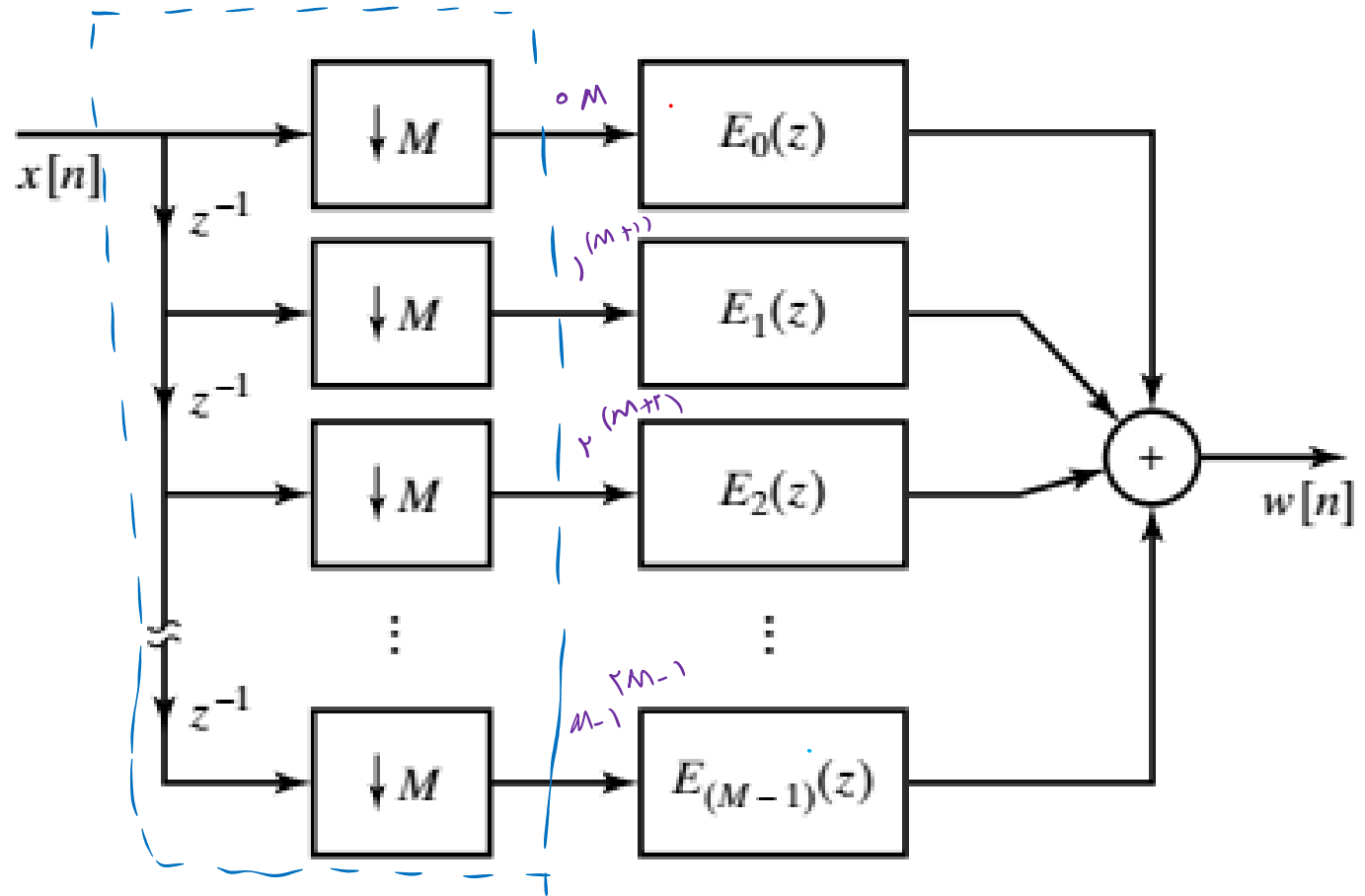


Figure 39 Implementation of decimation filter using polyphase decomposition.



از نظر حجم پردازش $\frac{1}{M}$ حالت قبل
 تعداد عملیات ضرب و جمع
 Computational complexity



M=3

Figure 40 Implementation of decimation filter after applying the downsampling identity to the polyphase decomposition.

4.7.5 : پیاده‌سازی حین‌فازه فیلترهای درونیاب :

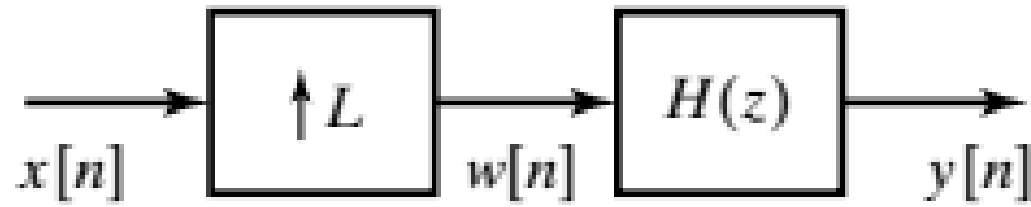


Figure 41 Interpolation system.

کارایی کم سیستم بالا : فیلتر برداشتن هاروی صفرهای اضافه شده توسط $\uparrow L$ این امر امکان نداشت.

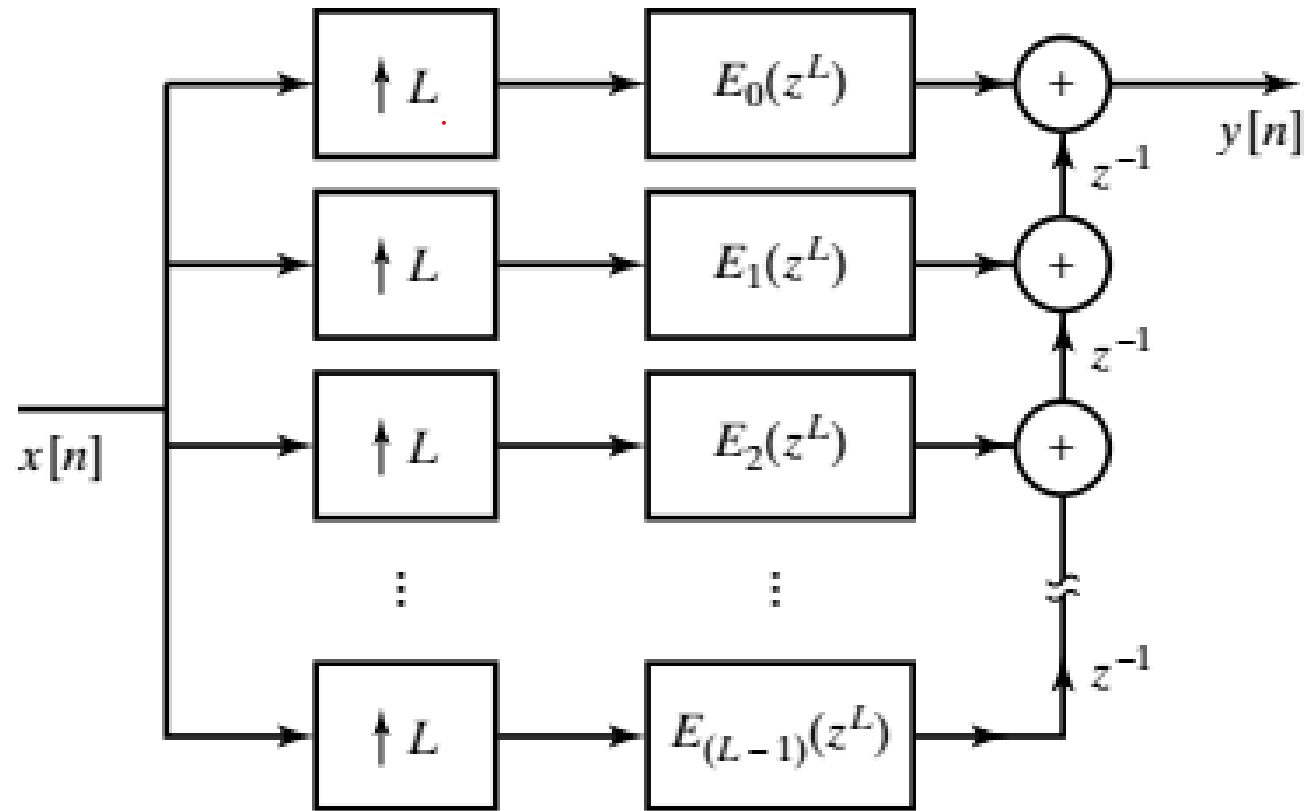


Figure 42 Implementation of interpolation filter using polyphase decomposition.

سیکسنگ میسبائی: $\frac{1}{L}$ ساختار اولیه

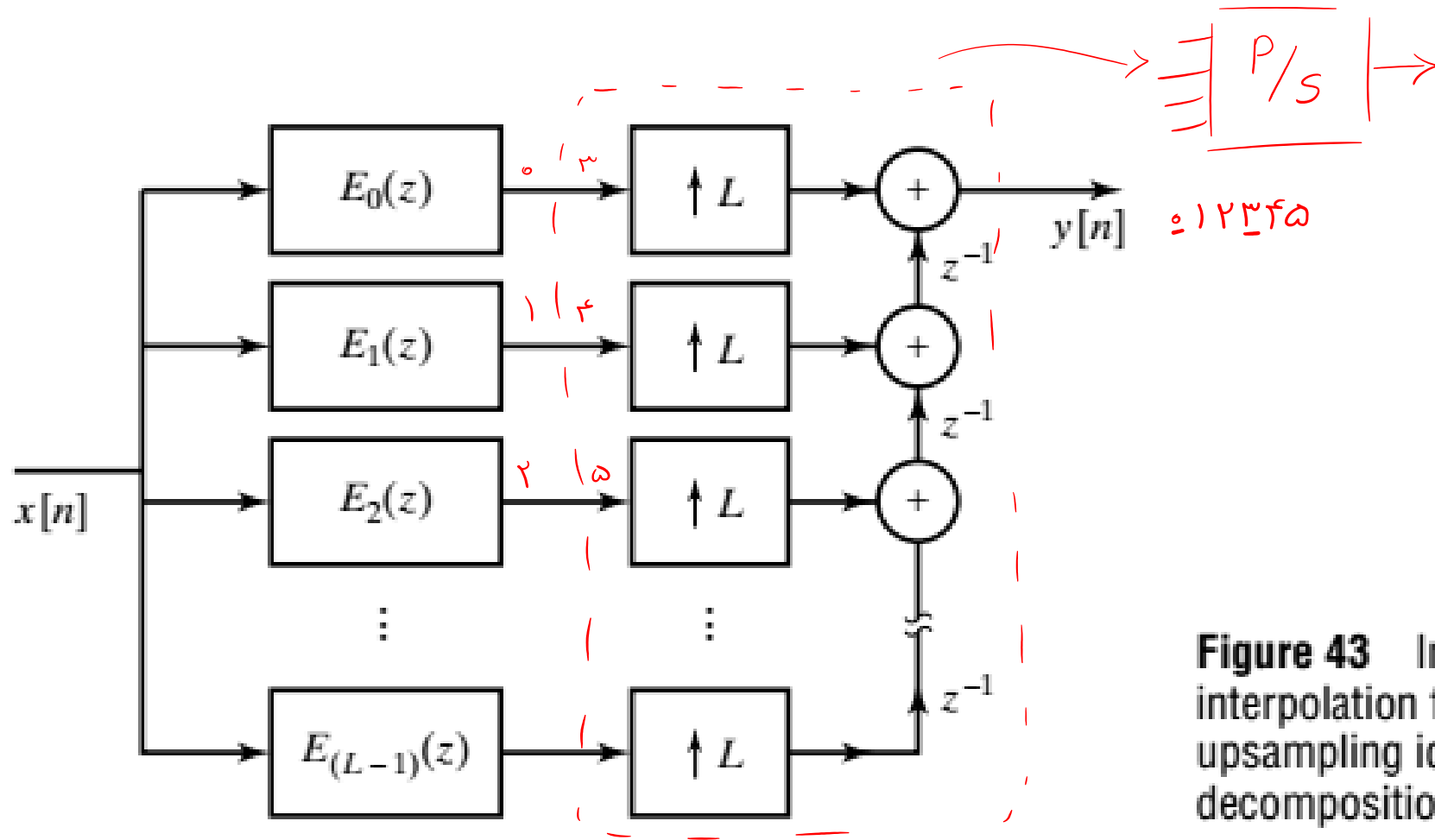
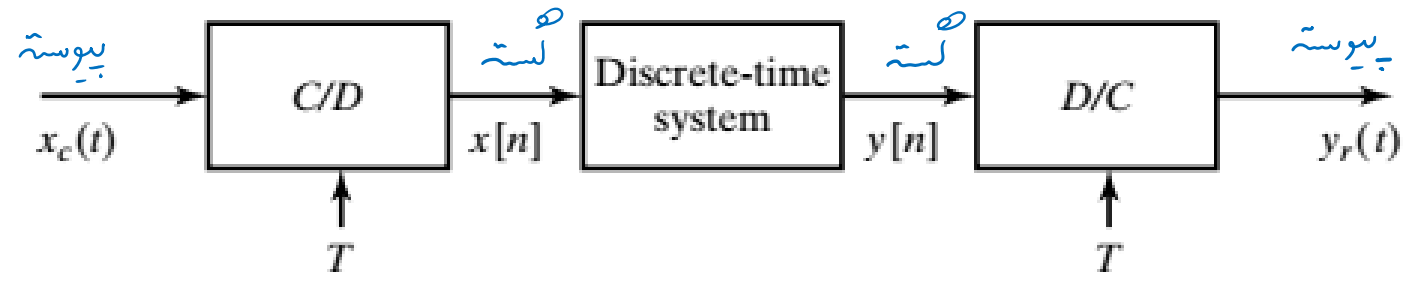


Figure 43 Implementation of interpolation filter after applying the upsampling identity to the polyphase decomposition.

پردازش زمان گسسته:

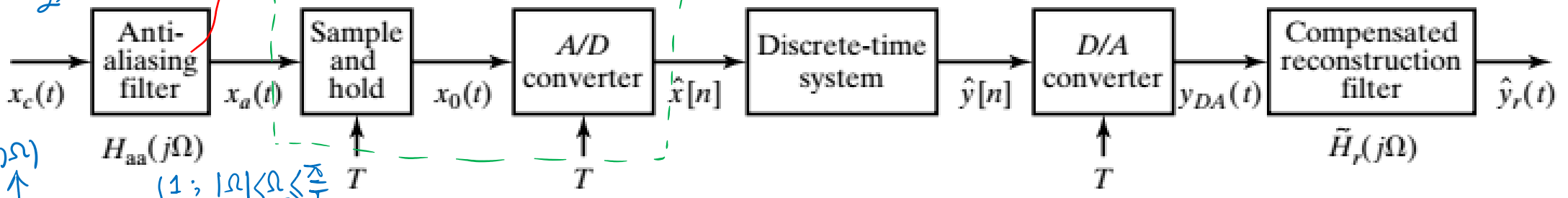


(a)

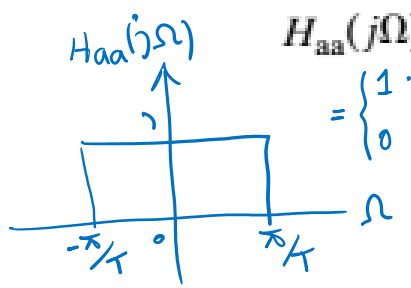
پردازش دیجیتال:

مشترک سازد C/D: aliasing

فیلتر برای کاهش اثر aliasing



$$\hat{y}_r(t) = y_a(t) + e_a(t)$$

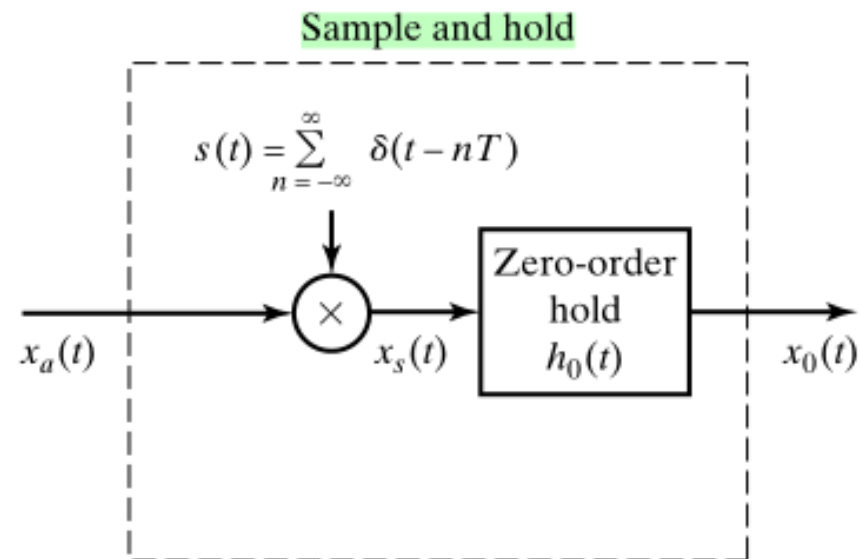


$$H_{aa}(j\Omega) = \begin{cases} 1; & |\Omega| < \Omega_c \leq \frac{\pi}{T} \\ 0; & |\Omega| > \Omega_c \end{cases}$$

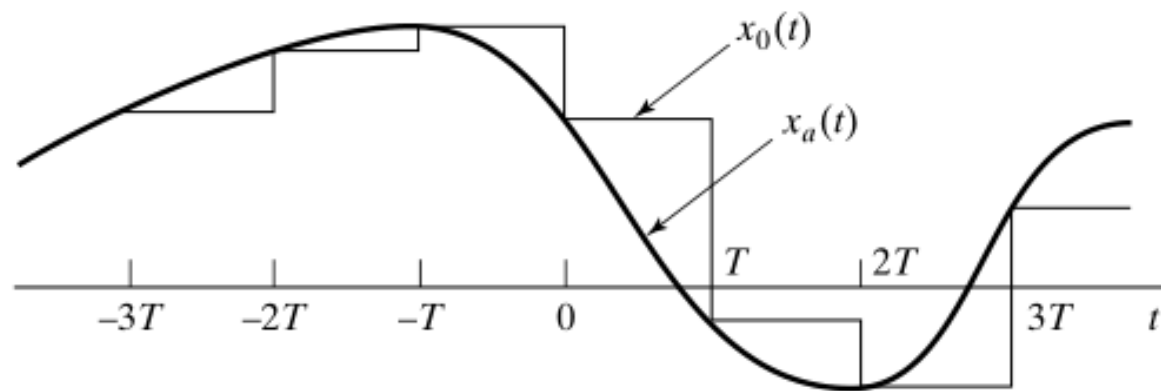
3 ~ 4 kHz محدوده
4 kHz ~ 20 kHz

(b)

Figure 47 (a) Discrete-time filtering of continuous-time signals. (b) Digital processing of analog signals.



(a)

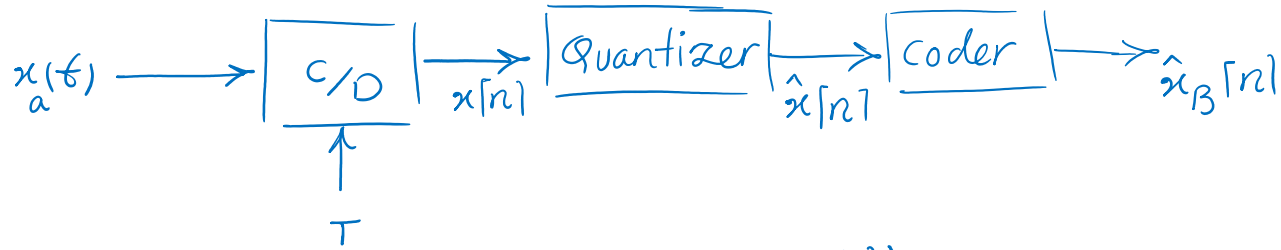


(b)

Figure 52 (a) Representation of an ideal sample-and-hold. (b) Representative input and output signals for the sample-and-hold.

Fig 53:

تبدیل A/D :



$$\hat{x}[n] = Q(x[n])$$

رابطه بین پارامترهای A/D

$$\Delta = \frac{2X_m}{2^{B+1}} = \frac{X_m}{2^B}$$

مستفاهای A/D : X_m ^{full scale} محدوده ورودی

step size : Δ

تعداد بیت : B

مشکلی که quantizer ایاری کند: خطای کوانتیزاسیون

1- از دست دادن اطلاعات Information Loss

نتیجه: وارون ناپذیر بودن quantizer

$$\text{تعداد سطوح کوانتیزاسیون} = 2^{B+1}$$

2- سیستم غیر خطی

نتیجه: قابل جابه جایی نیست.

$$\text{تعداد بیت های واقعی} = B+1$$

با این وجود با توجه به پردازنده های دیجیتال از کوانتیزاسیون استفاده می کنیم.

بیت علامت

راه حل این مشکلات: $B \uparrow$: نیاز به هزینه بیشتر، منطبق کردن پردازنده

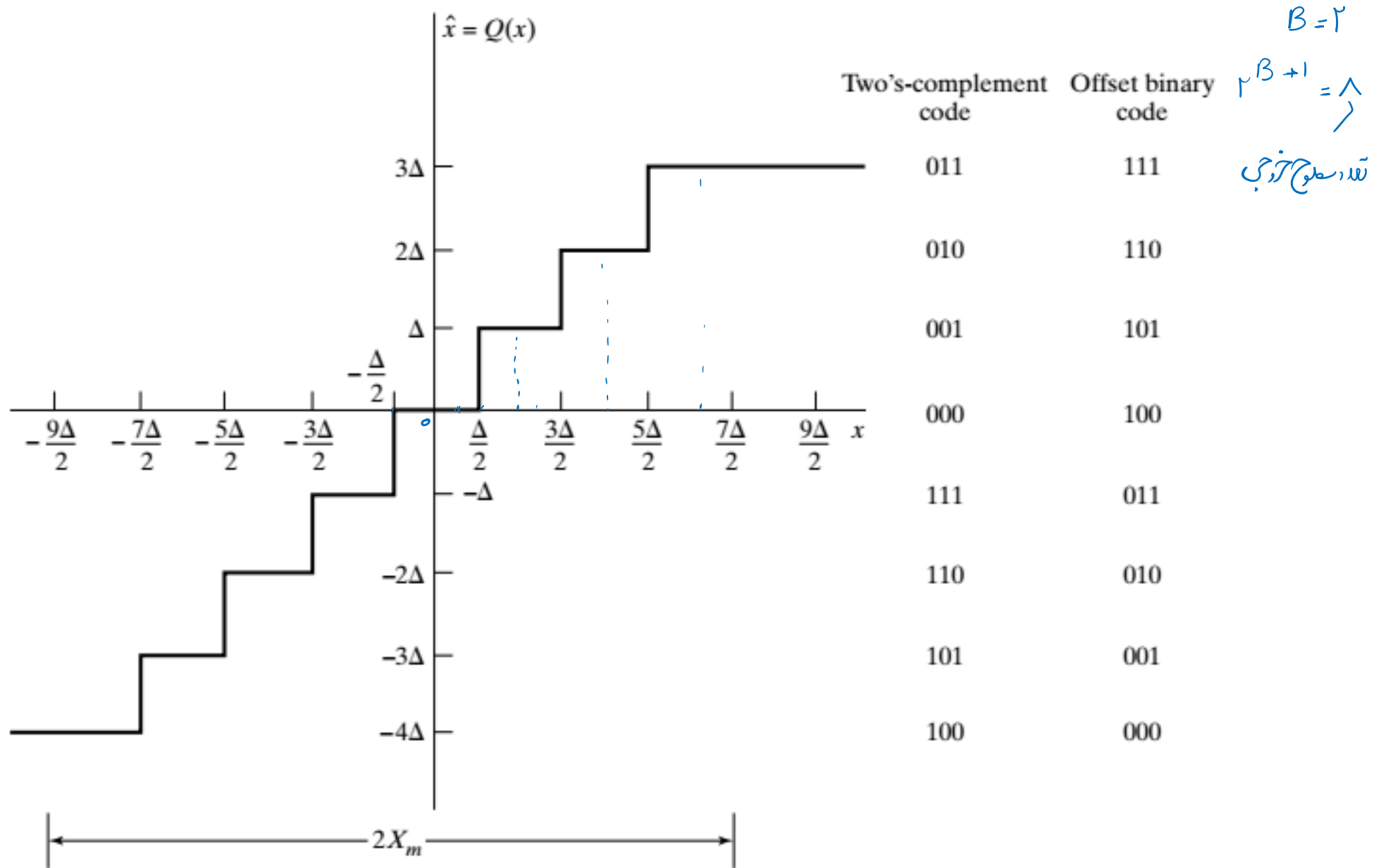


Figure 54 Typical quantizer for A/D conversion.

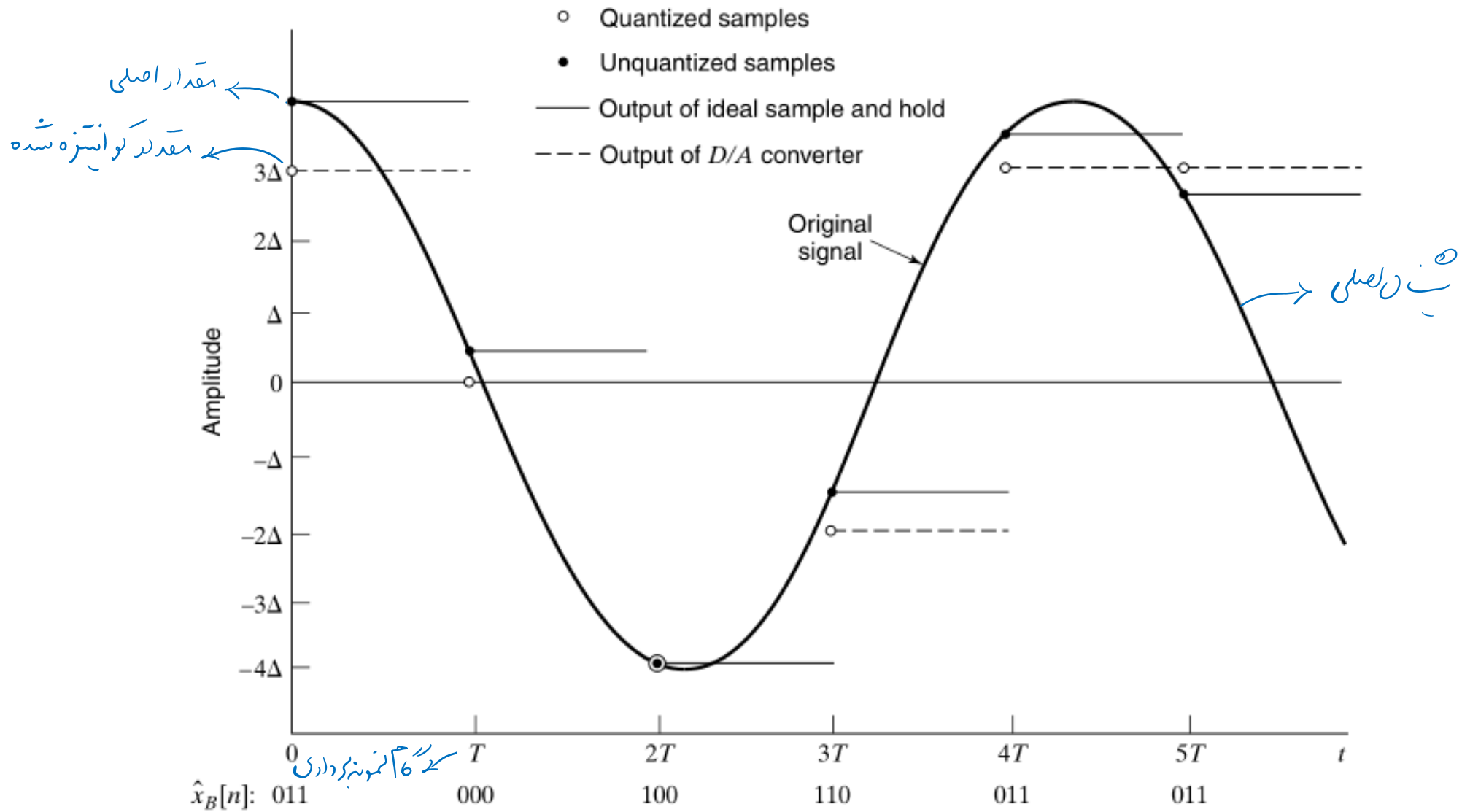


Figure 55 Sampling, quantization, coding, and D/A conversion with a 3-bit quantizer.

4.8.3 : آن نیز خطاهای توانساز است:

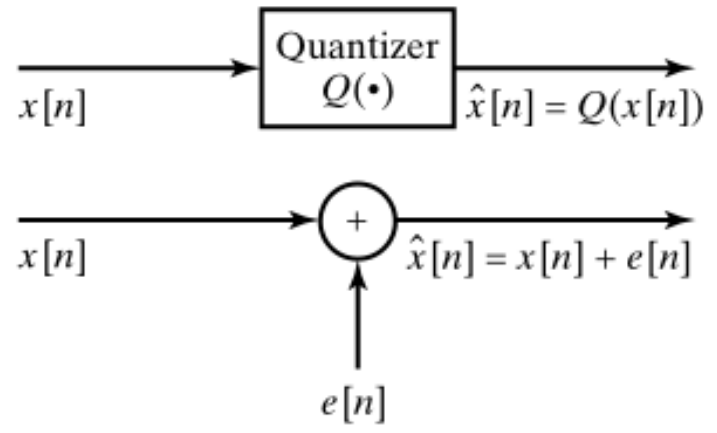
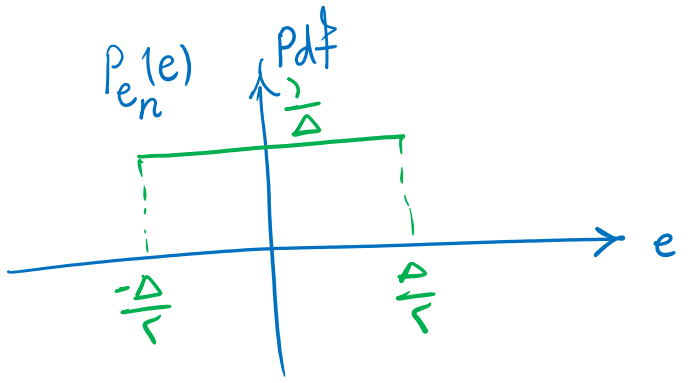
اختلاف مقادیر توانساز شده و اصلی

$$e[n] = \hat{x}[n] - x[n] \rightarrow \hat{x}[n] = x[n] + e[n]$$

$$-\frac{\Delta}{2} < x[n] \leq \frac{\Delta}{2} \rightarrow \hat{x}[n] = 0 \rightarrow \left| -\frac{\Delta}{2} \leq e[n] < \frac{\Delta}{2} \right|$$

Uncorrelated \rightarrow ارنوز سفید است

۱، $x[n]$ و $e[n]$ ناهمبسته اند: رابطه ای بین نمونه ها وجود ندارد.
 ۲، $e[n]$ در یک نمونه توانساز توفیق پذیر نیست.
 ۳، $e[n]$ در یک نمونه توانساز توفیق پذیر نیست.



غیر خطی:

خطی:

$e[n]$ نویز سفید با توفیق پذیر است و با

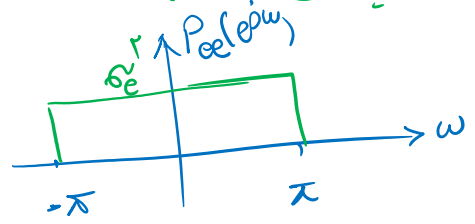
میانگین صفر و واریانس: $\sigma_e^2 = \int_{-\Delta/2}^{\Delta/2} e^2 \frac{1}{\Delta} de = \frac{\Delta^2}{12}$

Figure 56 Additive noise model for quantizer.

$$\sigma_e^2 = \frac{2^{-2B} X_m^2}{12}$$

$\Delta = \frac{X_m}{2^B}$

مدل نویز جمع شونده برای توانساز



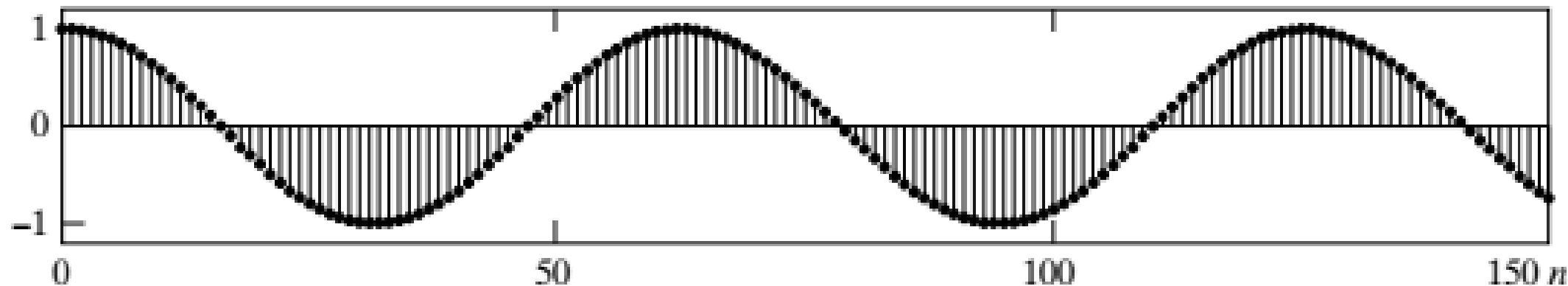
چگالی طیف توان

نسبت: بنابراین A/D به سیستم نویز اضافه می کند

واریانس خطای توانساز $(B+1)$ بیتی با X_m در درجه 2^B دارد

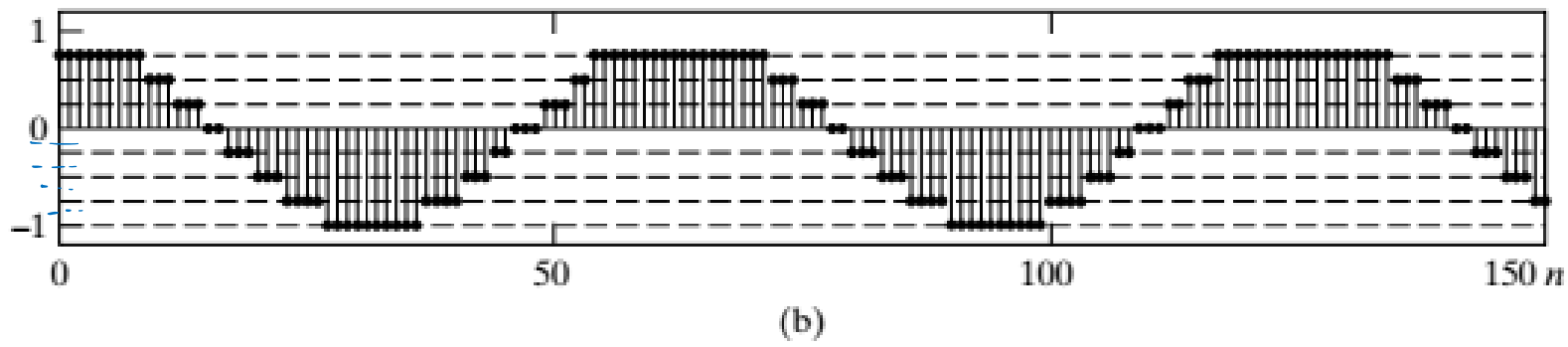
$$\phi_{ee}(\omega) = \sigma_e^2 \delta(\omega) \xrightarrow{F} P_{ee}(e^{j\omega}) = \sigma_e^2 = \frac{2^{-2B} X_m^2}{12}; |\omega| \leq \pi$$

$$x[n] = 0.99 \cos\left(\frac{n}{10}\right)$$

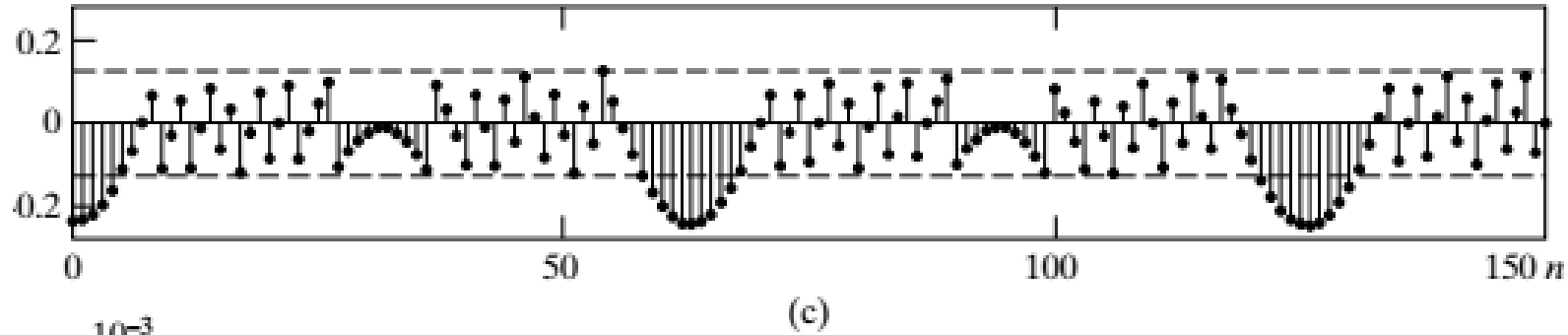


(a)

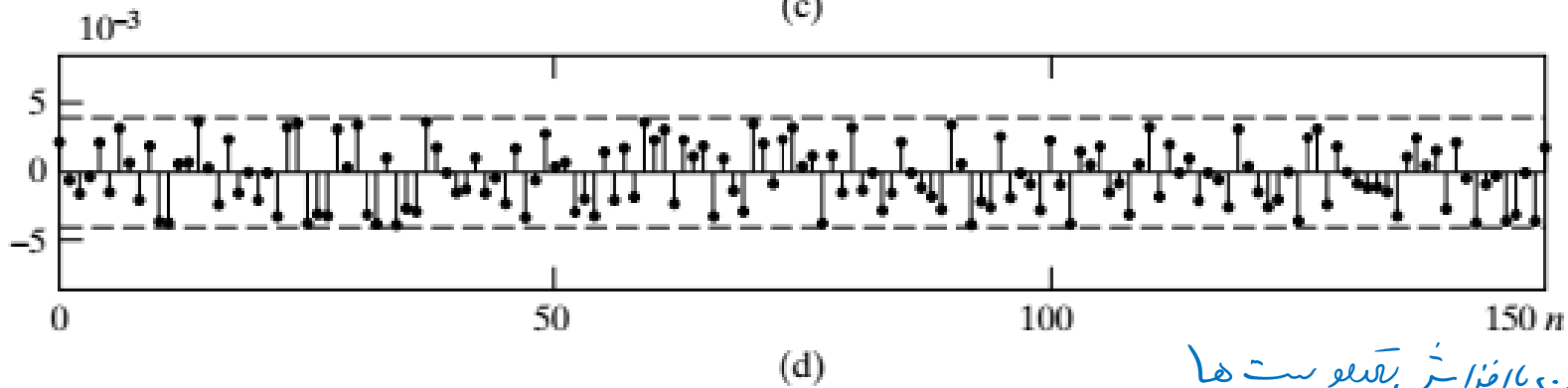
Figure 57 Example of quantization noise. (a) Unquantized samples of the signal $x[n] = 0.99 \cos(n/10)$.



3-bit
8-level



$e[n] = \hat{x}[n] - x[n]$
 $\approx -0.12 \sim 0.12$

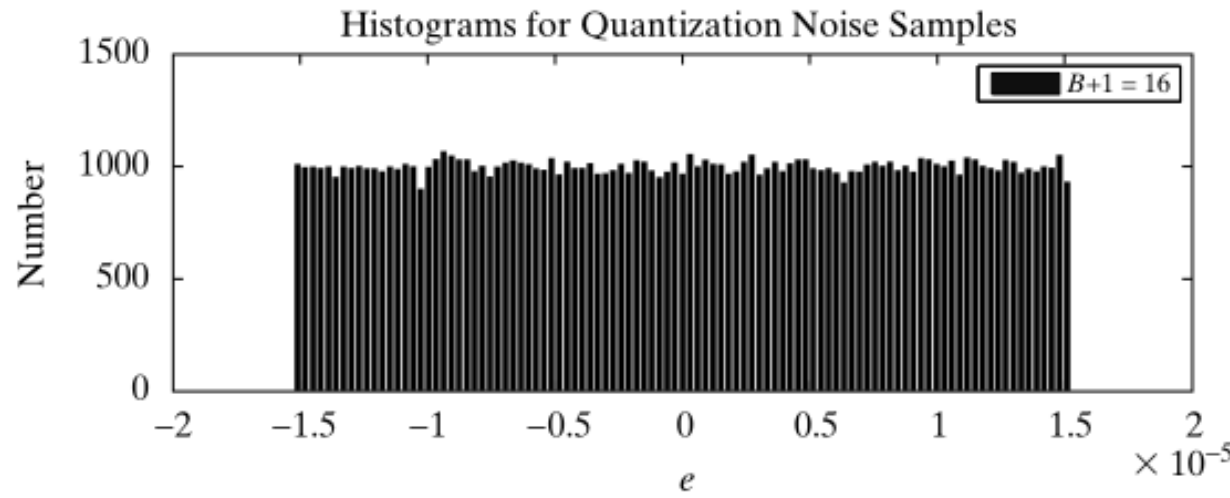


8-bit
256-level
 $e[n] = \hat{x}[n] - x[n]$
 $\approx -0.005 \sim 0.005$

۶ هشت خطی کو اسیٹرا سین با افزائش بتللو بیت ها

Figure 57 (continued) (b) Quantized samples of the cosine waveform in part (a) with a 3-bit quantizer. (c) Quantization error sequence for 3-bit quantization of the signal in (a). (d) Quantization error sequence for 8-bit quantization of the signal in (a).

نمودار هیستوگرام برای $e[n]$ برای $B+1=8$ و $B+1=16$:



$\sim = 101000$
101 bin

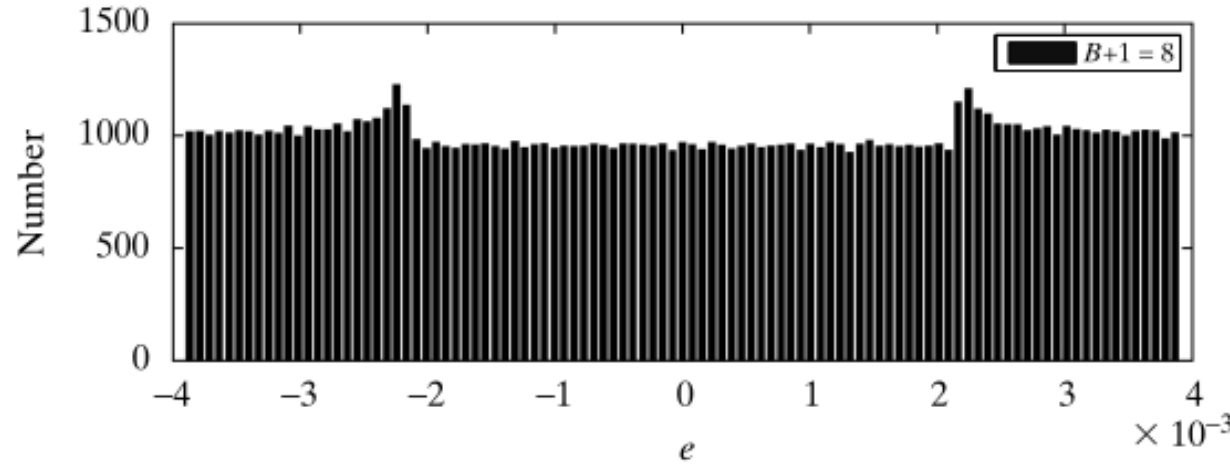
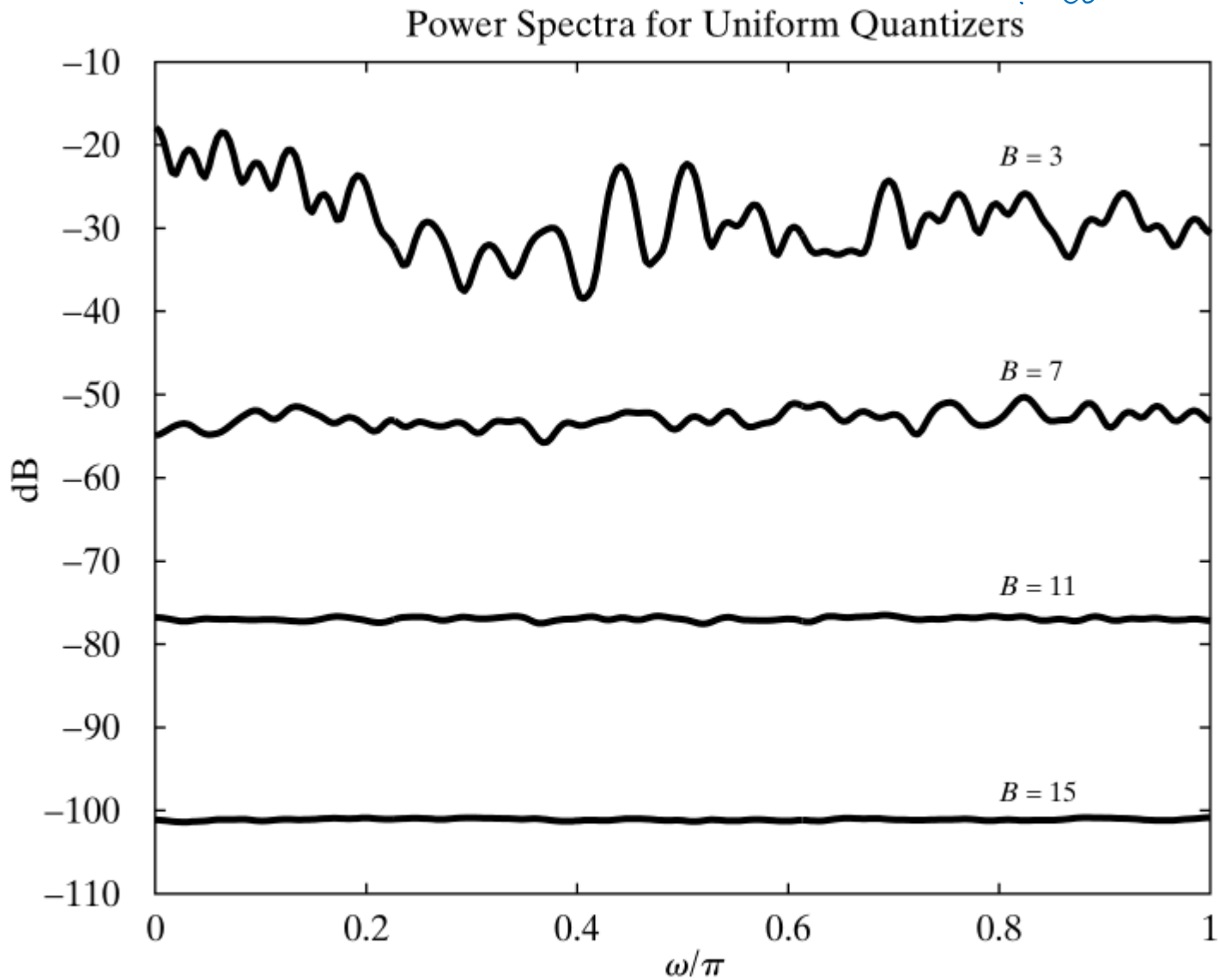


Figure 59 Histograms of quantization noise for (a) $B + 1 = 16$ and (b) $B + 1 = 8$.

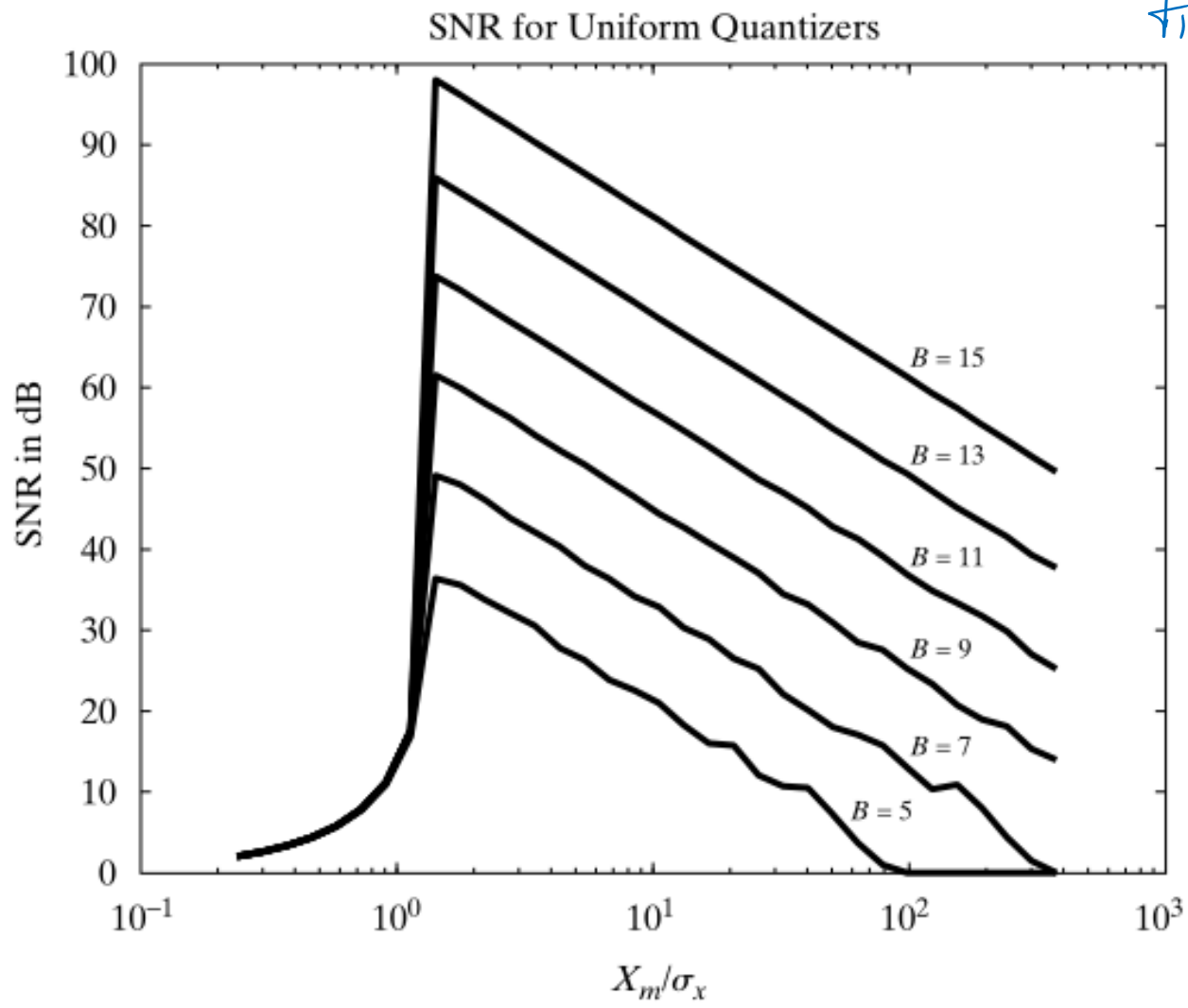
نمودار طیف توان نویز $e[n]$: $P_{ee}(e^{j\omega})$ بر حسب dB:



با افزایش B ، طیف توان نویز کاهش می یابد.

$10 \log_{10}(P_{ee}(e^{j\omega}))$

Figure 60 Spectra of quantization noise for several values of B .



$$SNR_Q = 10 \cdot \log_{10} \left(\frac{\sigma_x^2}{\sigma_e^2} \right) = 10 \cdot \log_{10} \left(\frac{12 \times 10^{2B} \sigma_x^2}{X_m^2} \right)$$

$$= 9.54B + 10.18 - 20 \cdot \log_{10} \left(\frac{X_m}{\sigma_x} \right)$$

$B \uparrow$
 $SNR \uparrow$

Figure 61 Signal-to-quantization-noise ratio as a function of X_m/σ_x for several values of B .

$$\hat{x}[n] = x[n] + e[n]$$

$$x_{DA}(t) = \sum_{n=-\infty}^{+\infty} \hat{x}[n] h_0(t-nT)$$

$$\xrightarrow{\hat{x}[n] = x[n] + e[n]} x_{DA}(t) = \underbrace{\sum_{n=-\infty}^{+\infty} x[n] h_0(t-nT)}_{x_0(t)} + \underbrace{\sum_{n=-\infty}^{+\infty} e[n] h_0(t-nT)}_{e_0(t)} = x_0(t) + e_0(t)$$

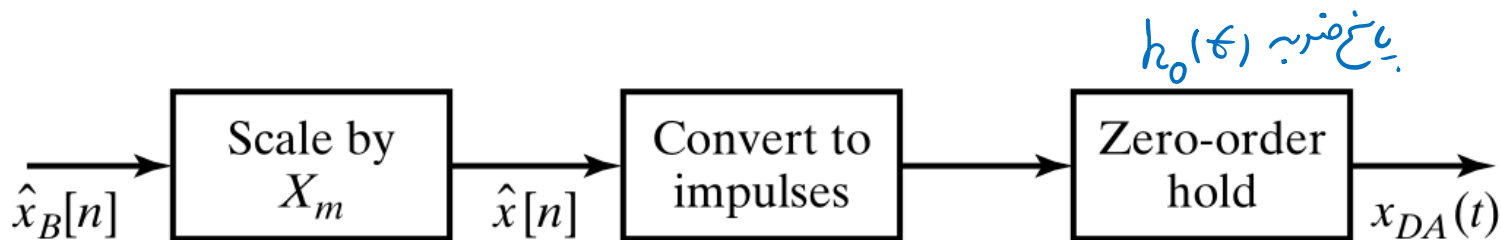


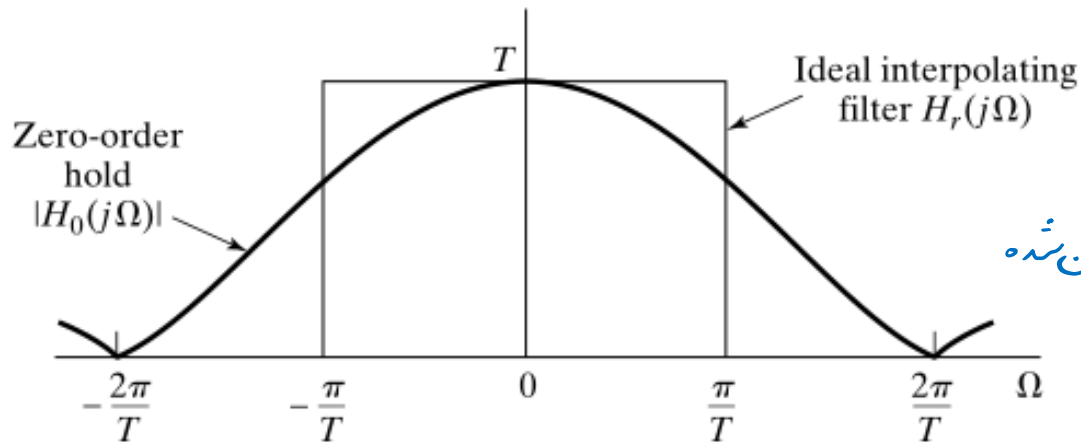
Figure 62 Block diagram of D/A converter.

$$x_0(t) = \sum_{n=-\infty}^{+\infty} x[n] h_0(t-nT) \xrightarrow{\text{فوريه}} X_0(j\Omega) = \sum_{n=-\infty}^{+\infty} x[n] H_0(j\Omega) e^{-j\Omega nT}$$

$$= \left(\sum_{n=-\infty}^{+\infty} x[n] e^{-j\Omega T n} \right) H_0(j\Omega) = X(e^{j\Omega T}) H_0(j\Omega)$$

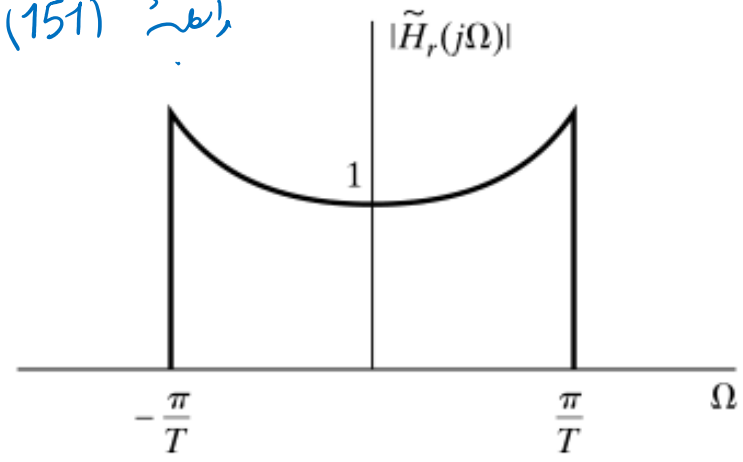
$$\frac{1}{T} \sum_{k=-\infty}^{+\infty} X_a(j\Omega - \frac{2\pi k}{T}) \rightarrow$$

$$X_0(j\Omega) = \left[\frac{1}{T} \sum_{k=-\infty}^{+\infty} X_a(j(\Omega - \frac{2\pi k}{T})) \right] H_0(j\Omega)$$



(a)

رابطه (151)



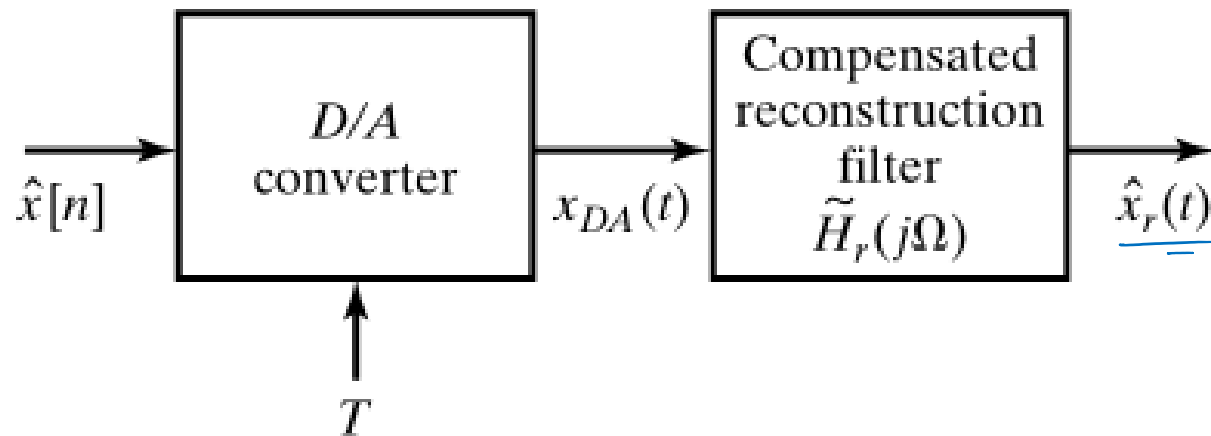
(b)

$$\tilde{H}_r(j\Omega) = \frac{H_r(j\Omega)}{H_0(j\Omega)}$$

فیلتر بازوی جبران شده

فیلتر بازوی لانه‌ای
 پاسخ همواره در نقطه صفر

Figure 63 (a) Frequency response of zero-order hold compared with ideal interpolating filter. (b) Ideal compensated reconstruction filter for use with a zero-order-hold output.



سین آنتیگ اولیه

$$\hat{x}_r(t) = x_a(t) + e_a(t)$$

نیز سفید جمع شوند با آنکه دور.

Figure 64 Physical configuration for D/A conversion.